

# **Математическое моделирование трехмерных гидродинамических процессов в самосогласованном гравитационном поле на суперЭВМ**

**По материалам диссертации на соискание ученой степени  
доктора физико-математических наук**

**Специальность 05.13.18 – Математическое моделирование,  
численные методы и комплексы программ**

**к.ф.-м.н. Куликов И.М.  
ИВМиМГ СО РАН**

**Новосибирск 2016**

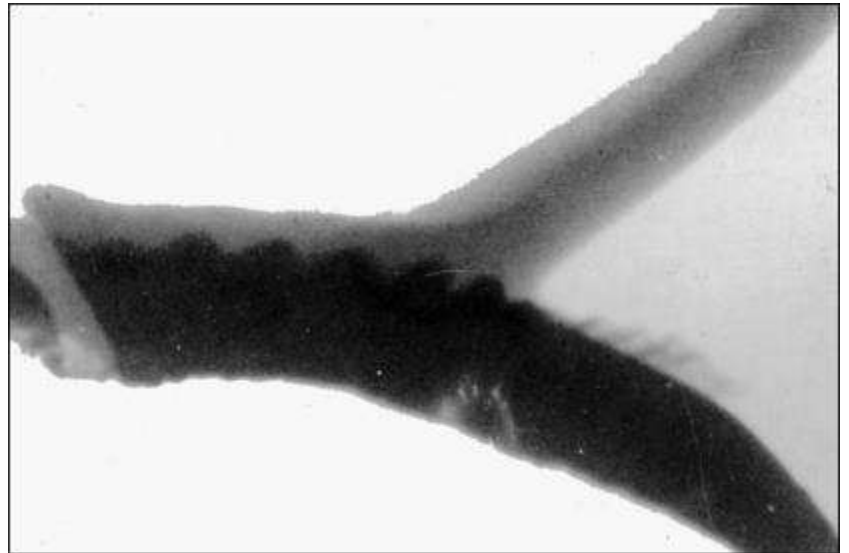
# Структура диссертации

- Введение
  - Актуальность и цель работы
  - Обзор литературы
- Моделирование упруго-пластических деформаций
  - Описание численной модели
  - Результаты вычислительных экспериментов
- Модели гидродинамических процессов в самосогласованном гравитационном поле
  - Описание газодинамической модели
  - Описание бесстолкновительной модели
- Численные схемы для моделирования процессов гравитационной гидродинамики
  - Численный метод решения уравнений гравитационной гидродинамики
  - Верификация численного метода
  - Параллельная реализация
- Моделирование гидродинамических процессов в самосогласованном гравитационном поле

# Актуальность

## □ Задача о «сварке взрывом»

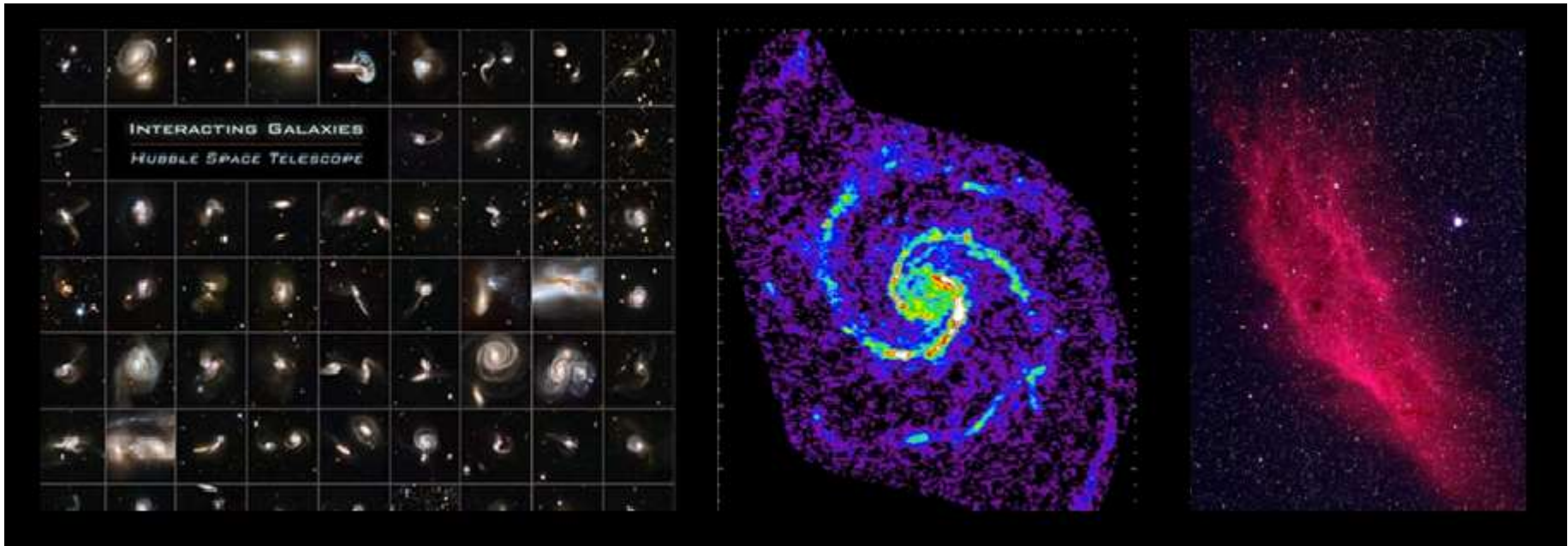
- Формулировка уравнения состояния упруго-пластической среды с учетом фазовых переходов
- Объяснение механизма волнообразования при сварке взрывом двух металлических пластин
- Образование кумулятивной струи при косом соударении двух металлических пластин



*Результаты экспериментов ИГиЛ СО РАН*

# Актуальность

- **Динамика астрофизических объектов**
  - **Задача столкновения галактик**
  - **Задача образования спиральных галактик**
  - **Образование крупно-масштабных космологических структур**
  - **Эволюция молекулярных облаков и межзвездной среды**
  - **Эволюция протопланетного диска**



*Наблюдательные данные (Hubble, NASA, ...)*

# Цель работы

- ❑ Разработка численной модели упруго-пластических деформаций с учетом фазовых переходов и определение области ее применимости при моделировании процесса «сварки взрывом» двух металлических пластин
- ❑ Разработка математической модели гидродинамических процессов на основе уравнений газовой динамики, магнитной газовой динамики и уравнений для первых моментов бесстолкновительного уравнения Больцмана с учетом самогравитации и подсеточных процессов
- ❑ Разработка, верификация и эффективная параллельная реализация единого вычислительного метода решения систем гиперболических уравнений, используемых для описания процессов гравитационной гидродинамики
- ❑ Исследование гидродинамических процессов на различных пространственных и временных масштабах: космологические структуры и галактики, молекулярные облака и межзвездная среда, протопланетные диски

# Постановка задачи

## □ Компоненты

- Упругая среда
- Жидкость
- Газодинамическая среда
- Бесстолкновительная компонента

## □ Процессы

- Фазовые переходы
- Гравитация
- Магнитное поле
- Охлаждение/нагревание
- Химические реакции
- Космологическое расширение

# Сеточные методы решения гидродинамических уравнений

- **Метод Годунова** (решение нелинейной задачи о распаде разрыва)

*Godunov, S. K. 1959, Math. Sb., 47, 271*

- **Метод Куранта-Изааксона-Риса** (линеаризация задачи о распаде разрыва)

*Courant, R., Isaacson, E., Rees, M. 1952, Comm. Pure & Ap. Math., 5, 243*

- **Метод Роу** (специальная линеаризация задачи о распаде разрыва)

*Roe, P. 1997, J. Comp. Phys., 135, 250*

- **Метод Ошера** (линеаризация на основе волн Римана)

*Engquist, B., Osher, S.J. 1981, Math. Comp., 36, 321*

- **Схема Лакса – Хартена - Ван Лира или HLL-метод** (основана на упорядочивании спектра линеаризованной задачи)

*Harten, A., Lax, P.D., Van Leer, B. 1983, Soc. Indust. & Appl. Math. Rev., 25, 35*

- **Схема Лакса – Хартена - Ван Лира - Энфилда или HLLC-метод** (основан на особом учете крайних собственных чисел линеаризованной задачи)

*Einfeld, B. 1988, Soc. Indust. & Appl. Math. J. Num. Analys., 25, 294*

- **HLLC-метод** (основан на особом учете центрального собственного значения линеаризованной задачи)

*Batten, P., et al. 1997, Soc. Indust. & Appl. Math. J. Comp., 18, 1553*

# Сеточные методы высокого порядка точности

- Монотонная противопотоковая схема или **MUSCL-метод**

*Van Leer, B. 1979, J. Comput. Phys., 32, 101*

- Схемы с ограниченной вариацией решения или **TVD-схемы**

*Jin, S., Xin, Z. 1995, Commun. Pure Appl. Math., 48, 235*

- Кусочно-параболический метод или **PPM-метод**

*Collela, P., Woodward, P.R. 1984, J. Comp. Phys., 54, 174*

- **Что такое высокий порядок в случае разрывных решений?**

*Godunov, S.K., Manuzina, Y., Nazareva, M. 2011, Comp. Math. & Math. Phys., 51, 88*

# Сеточные методы решения уравнения Пуассона

- Аналитическое задание потенциала
- Метод сопряженных градиентов
- Метод быстрого преобразования Фурье
- Многосеточный метод или метод Федоренко

*Fedorenko, R. 1961, USSR Comput. Math. & Math. Phys., 1, 1092*



# Методы поиска и суммирования частиц в бессеточных методах

- particle-particle/particle-mesh или **P<sup>3</sup>M-метод**

*Hockney, R.W., & Eastwood, J.W. 1981,  
Computer Simulation Using Particles (New York: McGraw-Hill)*

- **AP<sup>3</sup>M-метод** (использование иерархичности расчетной сетки)

*Couchman, H. M. P. 1991, ApJ, 368, L23*

- **Tree-code** (использование иерархичности сетки как дерева)

*Barnes, J., & Hut, P. 1986, Nature, 324, 446*

- **Tree-PM** (комбинация Tree-code и AP<sup>3</sup>M-метода)

*Dubinski, J., Kim, J., Park, C., & Humble, R.  
2004, New Astron., 9, 111*

# Сильные и слабые стороны методов

## Бессеточный SPH метод

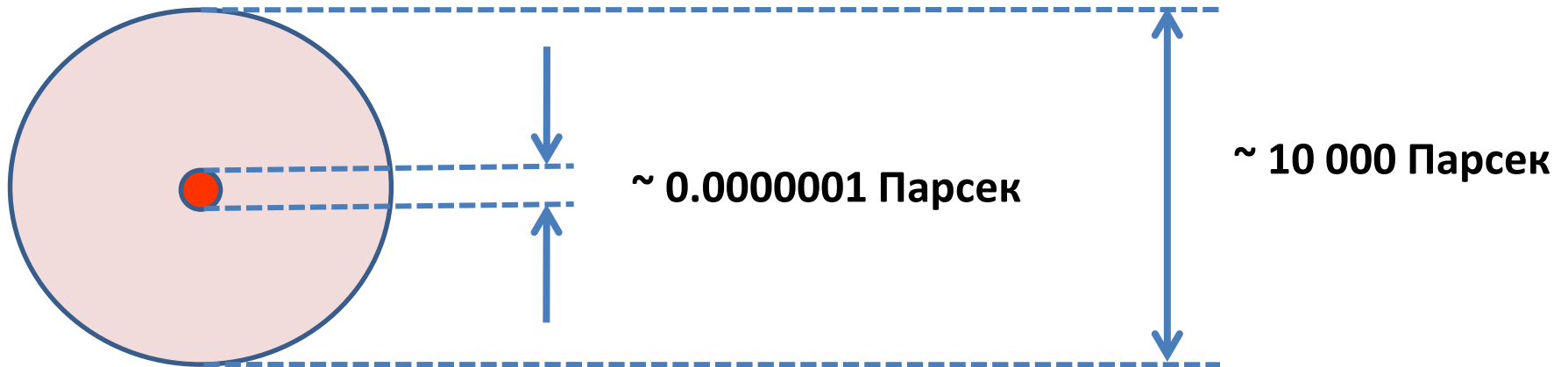
- Точное нахождение потенциала
  - Галилеева инвариантность
  - Пространственная адаптация
  - Постоянное разрешение
  - Произвольная геометрия задачи
  - Адаптация на многомерный случай
- 
- Проблема разрывов
  - Проблема радиуса сглаживания
  - Искусственная вязкость
  - Подавление неустойчивости
  - Малый градиент плотности
  - Масштабируемость

## Сеточные методы

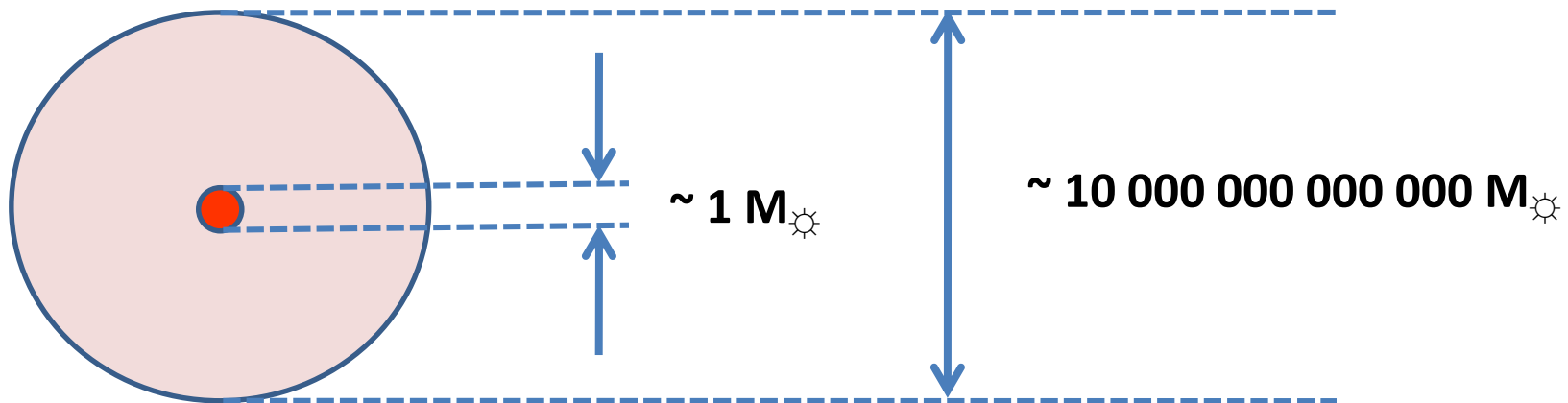
- Воспроизведение разрывов
  - Отсутствие схемных параметров
  - Произвольные градиенты плотности
  - Слабая устойчивость методов
  - Пространственная адаптация
  - Воспроизведение турбулентности
- 
- Ограничение разрешения сеткой
  - Проблема перехода между сетками
  - Сеточные эффекты
  - Проблема инвариантности
  - Ограничения по геометрии задачи
  - Масштабируемость

# Проблема разномасштабности

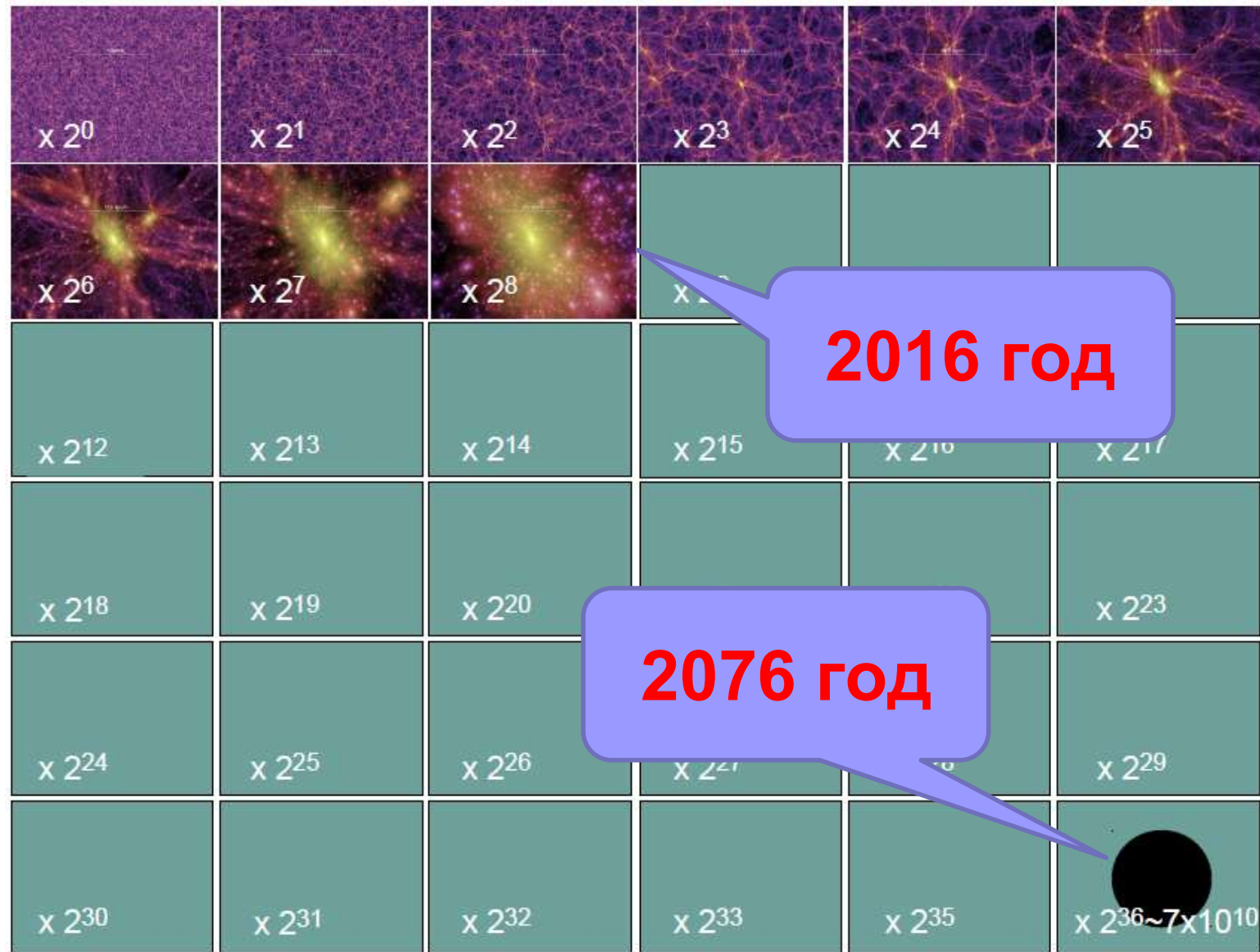
## Соотношение размеров



## Соотношение масс



# Проблема разномасштабности



# Необходимость использования суперкомпьютеров

RANK	SITE	SYSTEM	CORES	RMAX (TFLOP/S)	RPEAK (TFLOP/S)	POWER (KW)
1	National Super Computer Center in Guangzhou China	Tianhe-2 (MilkyWay-2) - TH-IVB-FEP Cluster, Intel Xeon E5-2692 12C 2.200GHz, TH Express-2, Intel Xeon Phi 3151P NUDT	3,120,000	33,862.7	54,902.4	17,808
2	DOE/SC/Dak Ridge National Laboratory United States	Titan - Cray XK7, Opteron 6274 16C 2.200GHz, Cray Gemini interconnect, NVIDIA K20x Cray Inc.	560,640	17,590.0	27,112.5	8,209
3	DOE/NNSA/LLNL United States	Sequoia - BlueGene/Q, Power BQC 16C 1.60 GHz, Custom IBM	1,572,864	17,173.2	20,132.7	7,890
4	RIKEN Advanced Institute for Computational Science Japan					
5	DOE/SC/Jargons National Laboratory United States	Mira - BlueGene/Q, Power BQC 16C 1.60GHz, Custom IBM	786,432	8,586.6	10,066.3	3,945
6	Swiss National Supercomputing Centre (CSCS) Switzerland	Piz Daint - Cray XC30, Xeon E5-2670 8C 2.600GHz, Aries interconnect, NVIDIA K20x Cray Inc.	115,984	6,271.0	7,788.9	2,325
7	Texas Advanced Computing Center/Univ. of Texas United States	Stampede - PowerEdge C8220, Xeon E5-2680 8C 2.700GHz, Infiniband FDR, Intel Xeon Phi SE10P Dell	462,462	5,168.1	8,520.1	4,510
8	Forschungszentrum Juelich (FZJ) Germany	JUQUEEN - BlueGene/Q, Power BQC 16C 1.600GHz, Custom Interconnect IBM	458,752	5,008.9	5,872.0	2,301
9	DOE/NNSA/LLNL United States	Vulcan - BlueGene/Q, Power BQC 16C 1.600GHz, Custom Interconnect IBM	393,216	4,293.3	5,033.2	1,972
10	Government United States	Cray CS-Storm, Intel Xeon E5-2660v2 10C 2.2GHz, Infiniband FDR, Nvidia K40 Cray Inc.	72,800	3,577.0	6,131.8	1,499

Гибридные суперкомпьютеры

# Уравнения для описания упруго-пластической среды

$u^i$	×	$\frac{\partial \rho_0 u_i}{\partial t} - \frac{\partial \rho_0 E_{c_i^j}}{\partial \xi^j} = 0$	$E = E(C, S, c_0, c_*, c_1)$
$E_{c_j^i}$	×	$\frac{\partial C_j^i}{\partial t} - \frac{\partial u^i}{\partial \xi^j} = 0$	
$E_S$	×	$\frac{\partial \rho_0 S}{\partial t} = \frac{\tau_0^{-1} c_0 E_{c_0} + \tau_*^{-1} c_* E_{c_*} + \tau_1^{-1} c_1 E_{c_1}}{E_S}$	
$E_{c_0}$	×	$\frac{\partial c_0}{\partial t} = -\frac{c_0}{\tau_0}$	
$E_{c_*}$	×	$\frac{\partial c_*}{\partial t} = -\frac{c_*}{\tau_*}$	
$E_{c_1}$	×	$\frac{\partial c_1}{\partial t} = -\frac{c_1}{\tau_1}$	

---


$$\frac{\partial}{\partial t} \left[ \rho_0 \frac{u^i u_j}{2} + \rho_0 E \right] - \frac{\partial}{\partial \xi^j} \left[ \rho_0 u^i E_{c_i^j} \right] = 0$$

# Уравнение состояния среды с учетом фазовых переходов

**I** Энергия упруго-пластической среды (на единицу массы)

$$\frac{u_1^2 + u_2^2 + u_3^2}{2} + \frac{c_0^2}{\gamma(\gamma-1)} \sigma(S) \left( \det \sqrt{CC^T} \right)^{-(\gamma-1)} + \frac{c_*^2}{\gamma} \det \sqrt{CC^T} + \underbrace{c_1^2 \operatorname{tr} \left[ \sqrt{CC^T} - \frac{1}{3} \operatorname{tr} \left( \sqrt{CC^T} \right) I \right]^2}_{}$$

**II** Энергия жидкой среды (на единицу массы)

$$\frac{u_1^2 + u_2^2 + u_3^2}{2} + \frac{c_0^2}{\gamma(\gamma-1)} \sigma(S) \left( \frac{1}{3} \operatorname{tr} (CC^T) \det \sqrt{CC^T} \right)^{-(\gamma-1)} + \underbrace{\frac{c_*^2}{\gamma} \frac{1}{3} \operatorname{tr} (CC^T) \det \sqrt{CC^T}}_{}$$

**III** Энергия газовой среды (на единицу массы)

$$\frac{u_1^2 + u_2^2 + u_3^2}{2} + \underbrace{\frac{c_0^2}{\gamma(\gamma-1)} \sigma(S) \left( \frac{1}{3} \operatorname{tr} (CC^T) \det \sqrt{CC^T} \right)^{-(\gamma-1)}}_{}$$

**IV** Энергия потока частиц (на единицу массы)

$$\frac{u_1^2 + u_2^2 + u_3^2}{2} + \sigma(S)$$

# Условия корректности уравнения состояния при фазовых переходах

$$C = UK\Omega = \begin{pmatrix} u_{11} & u_{12} & u_{13} \\ u_{21} & u_{22} & u_{23} \\ u_{31} & u_{32} & u_{33} \end{pmatrix} \begin{pmatrix} k_1 & 0 & 0 \\ 0 & k_2 & 0 \\ 0 & 0 & k_3 \end{pmatrix} \begin{pmatrix} \Omega_{11} & \Omega_{12} & \Omega_{13} \\ \Omega_{21} & \Omega_{22} & \Omega_{23} \\ \Omega_{31} & \Omega_{32} & \Omega_{33} \end{pmatrix} \quad UU^T = \Omega\Omega^T = I$$

$$1) \left\{ E_{k_i k_j} \right\} > 0 \quad 2) \frac{E_{k_i} - E_{k_j}}{k_i - k_j} > 0 \quad 3) \frac{E_{k_i} + E_{k_j}}{k_i + k_j} > 0$$

Корректность упруго-пластической модели

$$\max_i \left( \frac{1 - \frac{2c_1^2 \gamma}{c_0^2 k_i}}{(k_1 k_2 k_3)^{-\gamma}} \right) < \sigma(S) < \min_i \left( \frac{1 + \frac{2c_1^2 \gamma}{3c_0^2 k_i} \left( 1 - \frac{2k_i}{k_j + k_l} \right)}{(k_1 k_2 k_3)^{-\gamma}} \right)$$

Корректность газовой среды и потока частиц

Корректность жидкой среды

$$0 < \sigma(S) < \min_i \left( \left( k_1 k_2 k_3 \frac{k_1^2 + k_2^2 + k_3^2}{3} \right)^\gamma \right)$$

$$\sigma(S) > 0$$



# Метод Годунова для решения уравнений теории упругости

Выполним преобразование Лежандра над уравнениями теории упругости

$$\begin{array}{ccc}
 \frac{\partial \rho_0 u_i}{\partial t} - \frac{\partial \rho_0 E_{c_j^i}}{\partial \xi^j} = 0 & \begin{array}{c} H = \rho_0 \frac{u^i u_i}{2} + E + C_j^i E_{c_j^i} \\ H^j = \rho_0 u^j E_{c_j^i} \\ E_{c_j^i} = \pi_i^j \end{array} & \frac{\partial H_{u_i}}{\partial t} - \frac{\partial H_{u_i}^j}{\partial \xi^j} = 0 \\
 \frac{\partial C_j^i}{\partial t} - \frac{\partial u^i}{\partial \xi^j} = 0 & \xrightarrow{\text{blue arrow}} & \frac{\partial H_{\pi_i^k}}{\partial t} - \frac{\partial H_{\pi_i^k}^j}{\partial \xi^j} = 0 \\
 \frac{\partial \rho_0 S}{\partial t} = 0 & & \frac{\partial H_T}{\partial t} = 0
 \end{array}$$

Рассмотрим уравнения в одномерной постановке

$$\begin{pmatrix} \rho_0 \mathbf{I} & 0 \\ 0 & [E_{c_i^k c_j^k}]^{-1} \end{pmatrix} \frac{\partial}{\partial t} \begin{pmatrix} \mathbf{u} \\ \pi^{[k]} \end{pmatrix} - \begin{pmatrix} 0 & \mathbf{I} \\ \mathbf{I} & 0 \end{pmatrix} \frac{\partial}{\partial \xi^j} \begin{pmatrix} \mathbf{u} \\ \pi^{[k]} \end{pmatrix} = 0$$

# Метод Годунова для решения уравнений теории упругости

Рассмотрим уравнения в одномерной постановке

$$\begin{pmatrix} \rho_0 \mathbf{I} & 0 \\ 0 & [E_{C_i^k C_j^k}]^{-1} \end{pmatrix} \frac{\partial}{\partial t} \begin{pmatrix} \mathbf{u} \\ \pi^{[k]} \end{pmatrix} - \begin{pmatrix} 0 & \mathbf{I} \\ \mathbf{I} & 0 \end{pmatrix} \frac{\partial}{\partial \xi^j} \begin{pmatrix} \mathbf{u} \\ \pi^{[k]} \end{pmatrix} = 0$$

Используем сингулярное разложение

$$[E_{C_i^k C_j^k}]^{-1} = \mathbf{Z} \begin{pmatrix} \lambda_1^2 & 0 & 0 \\ 0 & \lambda_2^2 & 0 \\ 0 & 0 & \lambda_3^2 \end{pmatrix} \mathbf{Z}^T = \Lambda^2$$

Уравнения для инвариантов имеют вид:

$$\Lambda \frac{\partial}{\partial t} (\Lambda \pi^{[k]} + \mathbf{u}) - \frac{\partial}{\partial \xi^j} (\Lambda \pi^{[k]} + \mathbf{u}) = 0$$

$$\Lambda \frac{\partial}{\partial t} (\Lambda \pi^{[k]} - \mathbf{u}) + \frac{\partial}{\partial \xi^j} (\Lambda \pi^{[k]} - \mathbf{u}) = 0$$

# Постановка задачи о сварке взрывом

$$\tau_0 = 5 \times 10^{-6} \quad \text{sec}$$

$$\tau_* = 3 \times 10^{-6} \quad \text{sec}$$

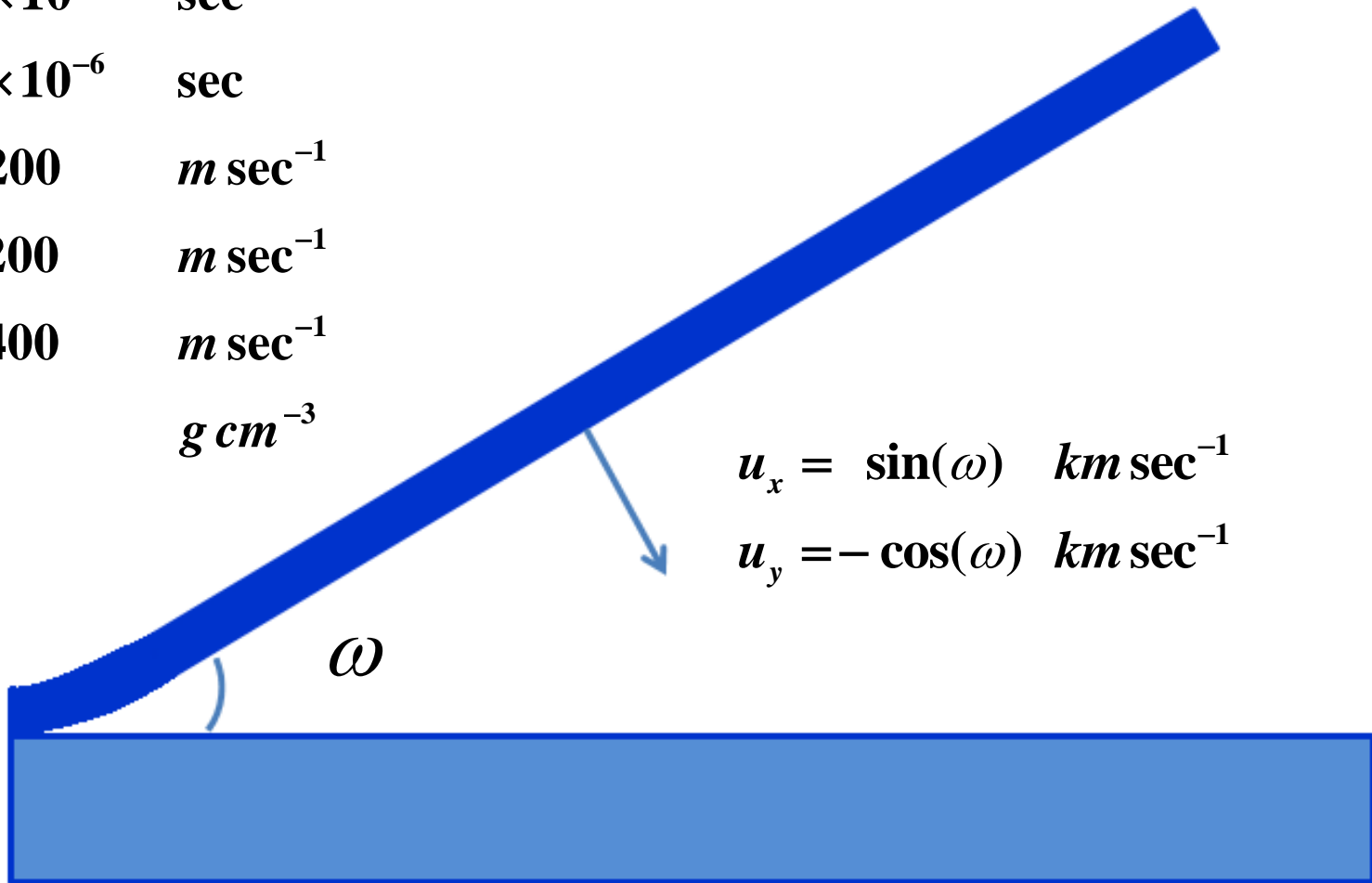
$$\tau_1 = 2 \times 10^{-6} \quad \text{sec}$$

$$c_0 = 5200 \quad m \text{ sec}^{-1}$$

$$c_* = 5200 \quad m \text{ sec}^{-1}$$

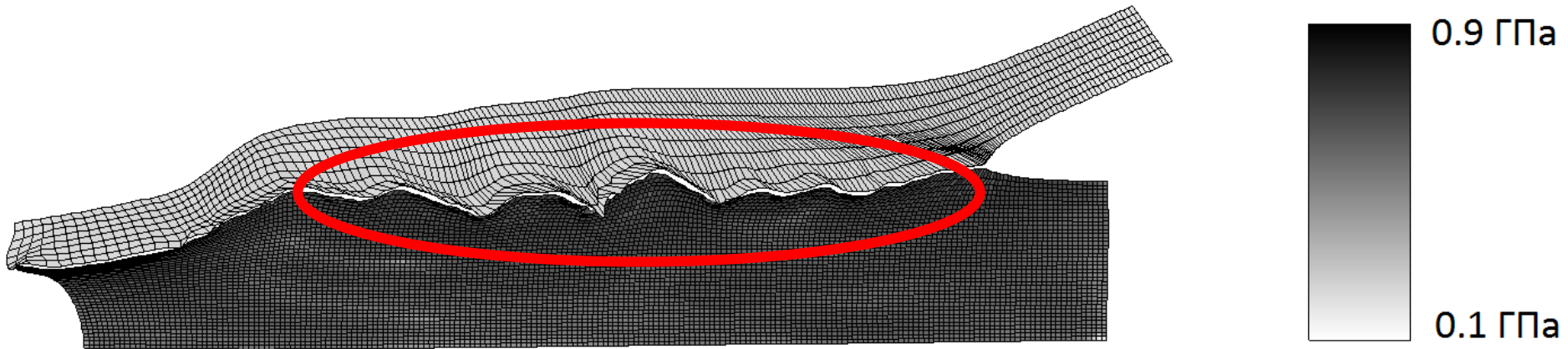
$$c_1 = 3400 \quad m \text{ sec}^{-1}$$

$$\rho_0 = 3 \quad g \text{ cm}^{-3}$$



# Моделирование процесса волнообразования при сварке взрывом двух металлических пластин

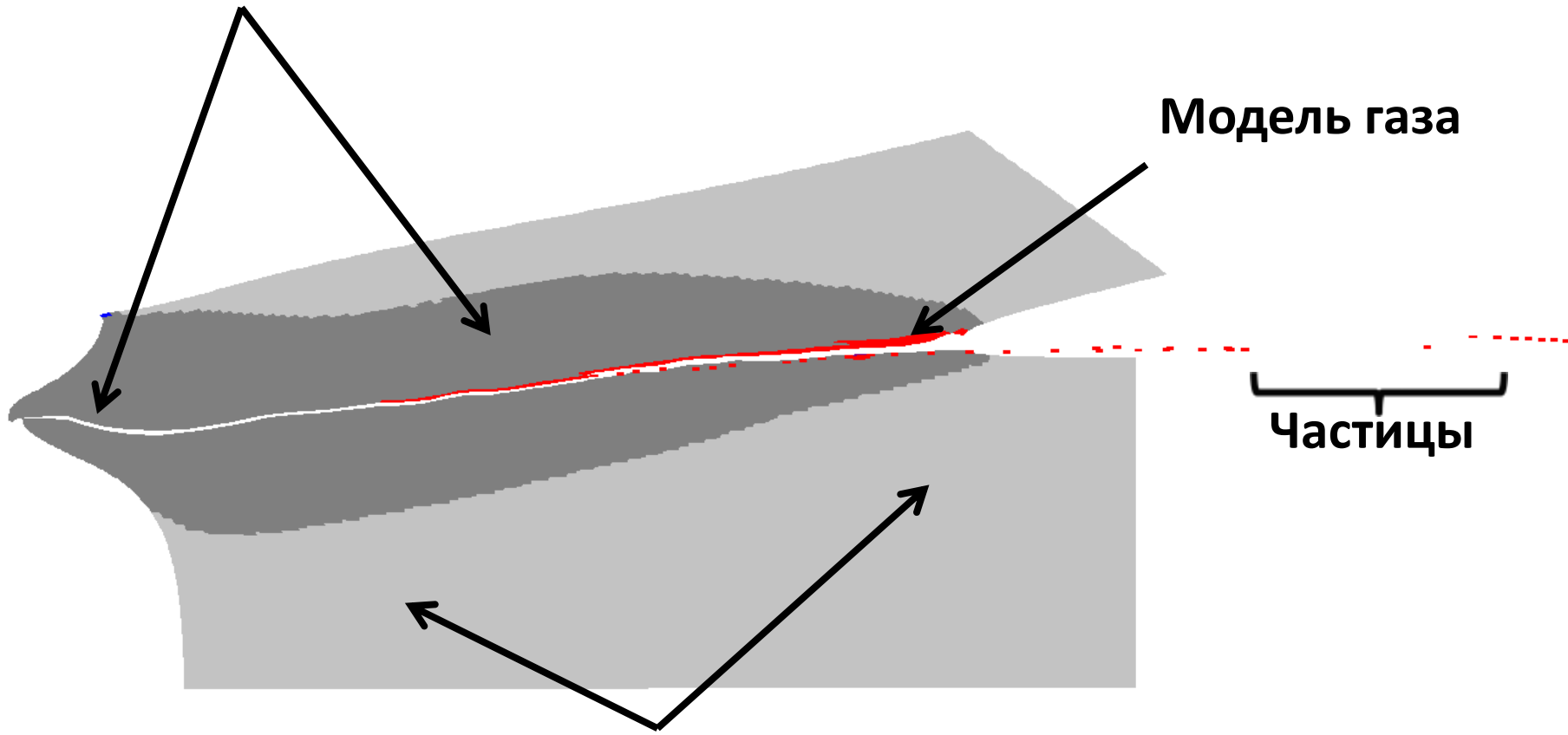
**Передняя часть границ «проскальзывают» друг по другу**



**Границы «склеиваются», после 10 мксек с точки контакта**

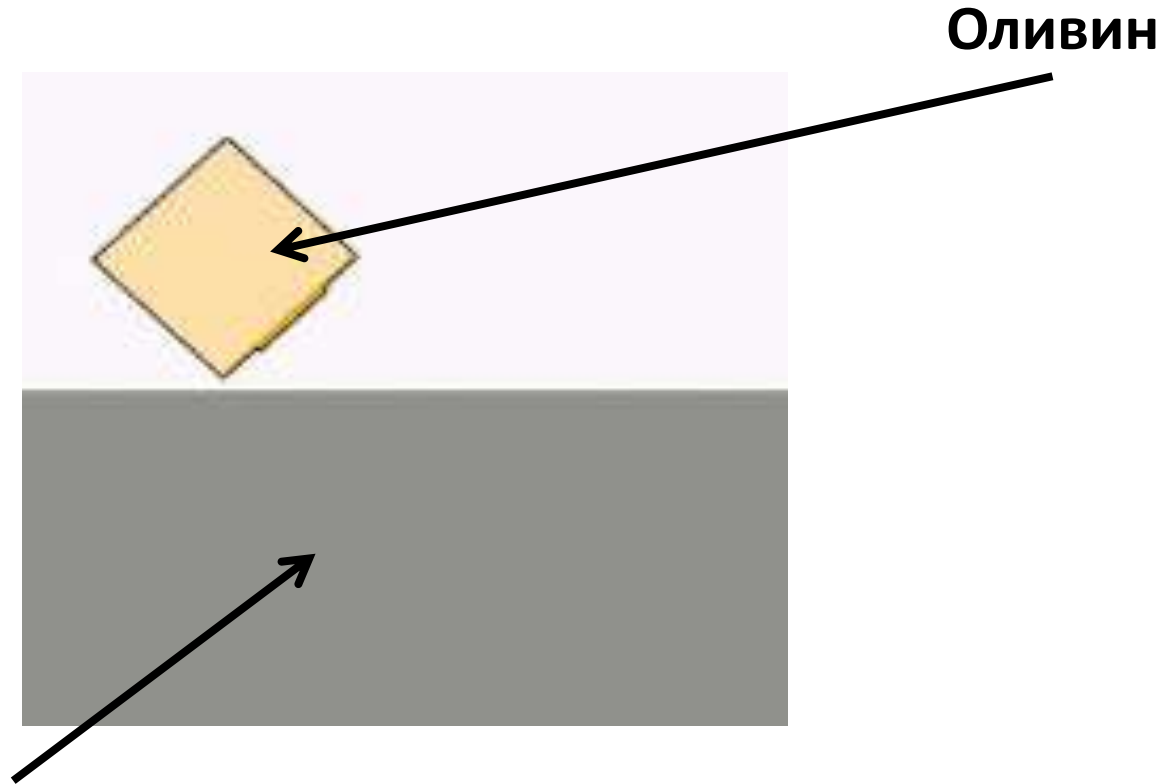
# Моделирование фазовых переходов твердое тело – жидкость – газ – кластер частиц

Гидродинамическая модель



Уруго-пластическая модель

# Моделирование взаимодействия метеоритов с поверхностью планет



**Вулканогенно-осадочный слой**

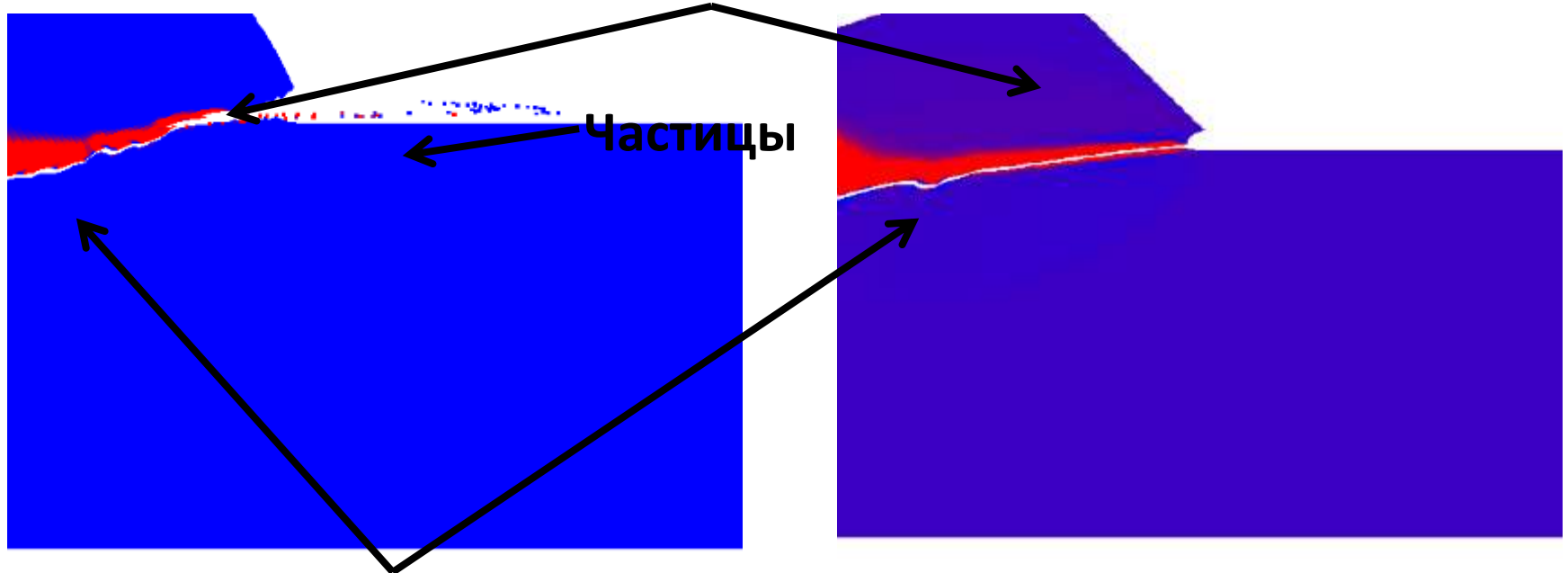
Richardson J., Jay Melosh H., Artemeiva N., Pierazzo E. Impact Cratering Theory and Modeling for the Deep Impact Mission: From Mission Planning to Data Analysis // Space Science Reviews. 2005. V. 117, I. 1. P. 241-267.

# Моделирование взаимодействия метеоритов с поверхностью планет

Дозвуковое соударение  
(при наличии атмосферы)

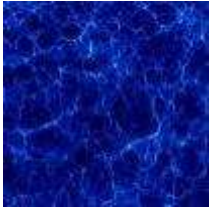
Сверхзвуковое соударение  
(при отсутствии атмосферы)

Уруго-пластическая модель



Гидродинамическая модель

# Масштабы астрофизических объектов



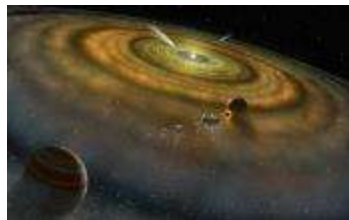
Космологические масштабы



Масштабы галактик



Молекулярные облака



Планетные системы



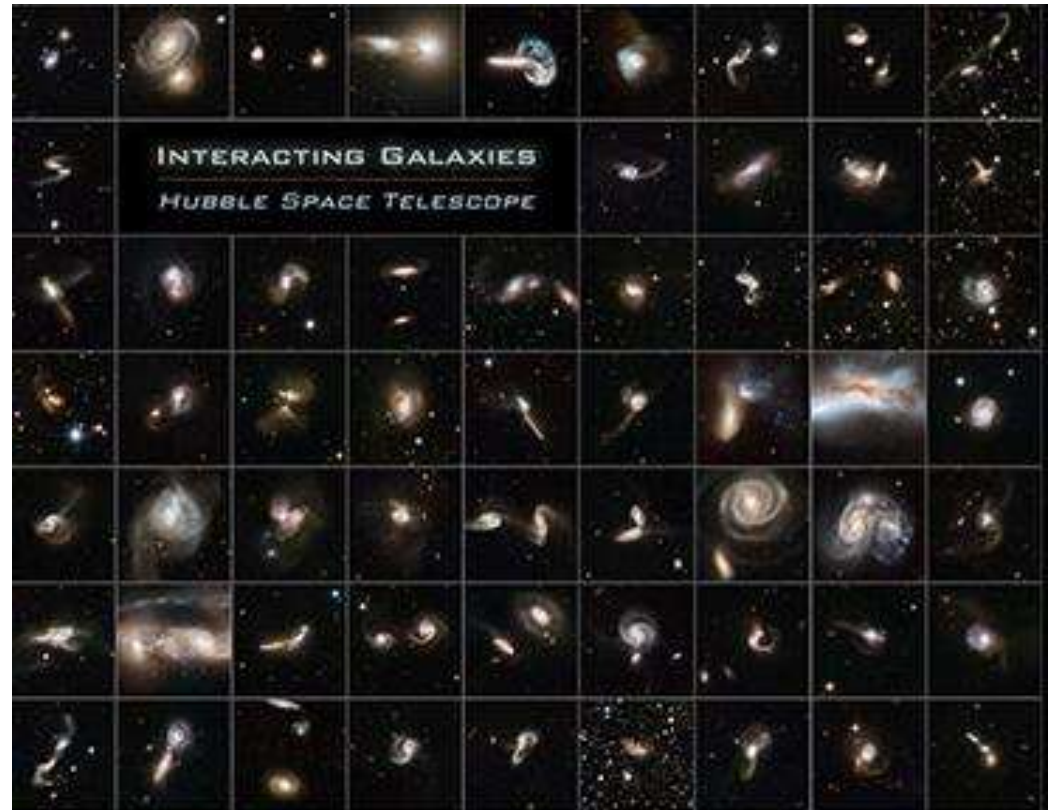
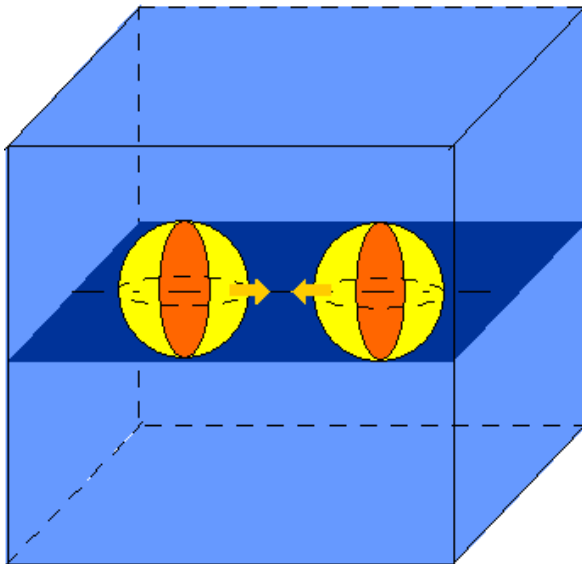
Импактные события



# Моделирование центрального столкновения галактик

«Движение галактик в  
плотных скоплениях  
превращает  
столкновения между  
ними в важный  
эволюционный фактор»

*Тутуков А.В.*



- Газ (50% массы)
- Звездный компонент (50 % массы)

# Модель гравитационной газовой динамики

$$\frac{\partial \rho}{\partial t} + \operatorname{div}(\rho \vec{v}) = 0$$

$$\frac{\partial \rho \vec{v}}{\partial t} + \operatorname{div}(\vec{v} \rho \vec{v}) = -\operatorname{grad}(p) - \rho \operatorname{grad} \Phi$$

$$\frac{\partial \rho E}{\partial t} + \operatorname{div}(\rho E \vec{v}) = -\operatorname{div}(p \vec{v}) - (\rho \operatorname{grad} \Phi, \vec{v}) - Q$$

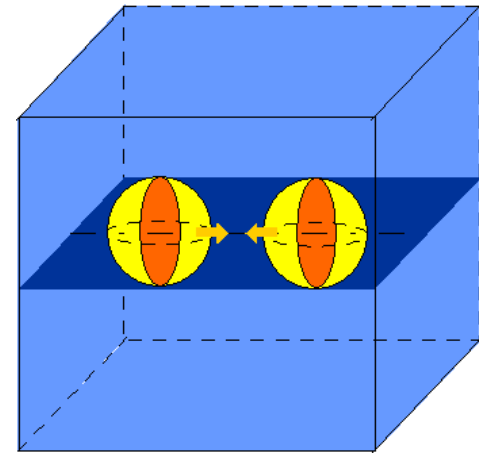
$$\frac{\partial \rho \varepsilon}{\partial t} + \operatorname{div}(\rho \varepsilon \vec{v}) = -(\gamma - 1) \rho \varepsilon \operatorname{div}(\vec{v}) - Q$$

$$p = \rho \varepsilon (\gamma - 1)$$

$$\Delta \Phi_{self} = 4\pi G \rho$$

$$\Phi = \Phi_{self} + \Phi_{\square}$$

Область решения и начальное распределение



Бесстолкновительная компонента: аналитически

Область: кубическая

Координаты: трёхмерные декартовы

Расчётная сетка: равномерная эйлеровая

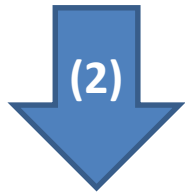
Краевые условия газодинамической системы уравнений: Однородные краевые условия 2го рода

Краевые условия для уравнения Пуассона: Фундаментальное решение уравнения Лапласа

$$\frac{|E_{grav}|}{E_{kin}} \approx 0.1$$

# Краткое описание численного метода

$$\frac{\partial Q}{\partial t} + \nabla \cdot (Q \cdot \vec{v}) = J(Q, \nabla Q) \quad \xrightarrow{(1)} \quad \frac{\partial Q}{\partial t} = J(Q, \nabla Q)$$



$$\frac{\partial Q}{\partial t} + \nabla \cdot (Q \cdot \vec{v}) = 0$$

**Задача Римана**

$$\frac{\partial u}{\partial t} + B \frac{\partial u}{\partial x} = 0 \quad B = R\Lambda L \quad LR = I$$

$$L \frac{\partial u}{\partial t} + LR\Lambda L \frac{\partial u}{\partial x} = 0 \quad w = Lu$$

$$\frac{\partial w}{\partial t} + \Lambda \frac{\partial w}{\partial x} = 0 \quad w(x, t) = w(x - \Lambda t) \quad u = Rw$$

## Кусочно-параболические функции

(\*) Kulikov, et al., LNCS, 2009; APJS, 2011, 2014; AAABS, 2013; CPC 2015; JCP 2016

(\*\*) Ustyugov, Popov, Comp. Math. & Math. Phys., 2007, 2008, Comp. Phys., 2009

# Метод Годунова для решения эйлерового этапа

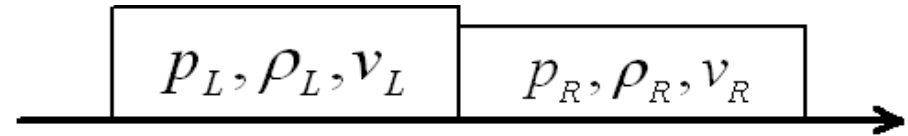
$$\frac{\partial \rho}{\partial t} + \nabla \cdot (\rho \vec{v}) = 0$$

$$\frac{\partial \rho \vec{v}}{\partial t} + \nabla \cdot (\vec{v} \rho \vec{v}) = -\nabla p$$

$$\frac{\partial \rho \varepsilon}{\partial t} + \nabla \cdot (\rho \varepsilon \vec{v}) = -(\gamma - 1) \rho \varepsilon \nabla \cdot (\vec{v})$$

$$\frac{\partial \rho E}{\partial t} + \nabla \cdot (\rho E \vec{v}) = -\nabla \cdot (p \vec{v})$$

$$p = \rho \varepsilon (\gamma - 1)$$



$$\frac{\partial}{\partial t} \begin{pmatrix} \rho \\ v \\ p \end{pmatrix} + \begin{pmatrix} v & \rho & 0 \\ 0 & v & \rho^{-1} \\ 0 & \gamma p & v \end{pmatrix} \frac{\partial}{\partial x} \begin{pmatrix} \rho \\ v \\ p \end{pmatrix} = 0$$



$$\frac{\partial}{\partial t} \begin{pmatrix} \rho \\ v \\ p \end{pmatrix} + \begin{pmatrix} 0 & \rho & 0 \\ 0 & 0 & \rho^{-1} \\ 0 & \gamma p & 0 \end{pmatrix} \frac{\partial}{\partial x} \begin{pmatrix} \rho \\ v \\ p \end{pmatrix} = 0$$

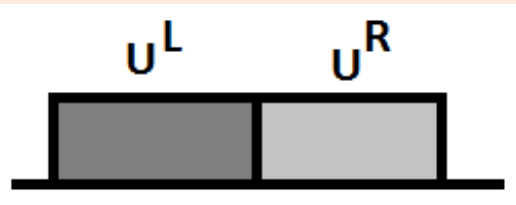


$$\frac{\partial}{\partial t} \begin{pmatrix} v \\ p \end{pmatrix} + \begin{pmatrix} 0 & \rho^{-1} \\ \gamma p & 0 \end{pmatrix} \frac{\partial}{\partial x} \begin{pmatrix} v \\ p \end{pmatrix} = 0$$

# Метод Годунова для решения эйлерового этапа

$$\frac{\partial u}{\partial t} + B \frac{\partial u}{\partial x} = 0$$

$$B = R\Lambda L$$

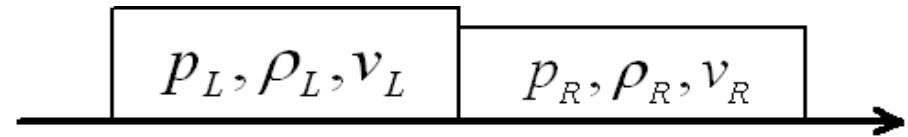


$$L \frac{\partial u}{\partial t} + LR\Lambda L \frac{\partial u}{\partial x} = 0$$

$$w = Lu \quad LR = I$$

$$\frac{\partial w}{\partial t} + \Lambda \frac{\partial w}{\partial x} = 0$$

$$u = R w$$



$$\frac{\partial}{\partial t} \begin{pmatrix} \rho \\ v \\ p \end{pmatrix} + \begin{pmatrix} v & \rho & 0 \\ 0 & v & \rho^{-1} \\ 0 & \gamma p & v \end{pmatrix} \frac{\partial}{\partial x} \begin{pmatrix} \rho \\ v \\ p \end{pmatrix} = 0$$



$$\frac{\partial}{\partial t} \begin{pmatrix} \rho \\ v \\ p \end{pmatrix} + \begin{pmatrix} 0 & \rho & 0 \\ 0 & 0 & \rho^{-1} \\ 0 & \gamma p & 0 \end{pmatrix} \frac{\partial}{\partial x} \begin{pmatrix} \rho \\ v \\ p \end{pmatrix} = 0$$

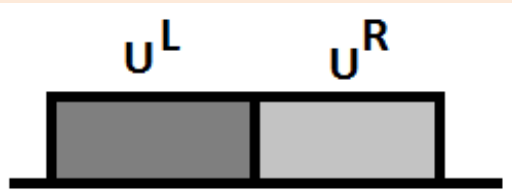


$$\frac{\partial}{\partial t} \begin{pmatrix} v \\ p \end{pmatrix} + \begin{pmatrix} 0 & \rho^{-1} \\ \gamma p & 0 \end{pmatrix} \frac{\partial}{\partial x} \begin{pmatrix} v \\ p \end{pmatrix} = 0$$

# Метод Годунова для решения эйлерового этапа

$$\frac{\partial u}{\partial t} + B \frac{\partial u}{\partial x} = 0$$

$$B = R\Lambda L$$

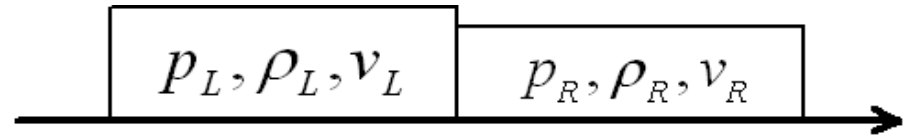


$$L \frac{\partial u}{\partial t} + LR\Lambda L \frac{\partial u}{\partial x} = 0$$

$$w = Lu \quad LR = I$$

$$\frac{\partial w}{\partial t} + \Lambda \frac{\partial w}{\partial x} = 0$$

$$u = Rw$$



$$\frac{\partial w_i}{\partial t} + \lambda_i \frac{\partial w_i}{\partial x} = 0, \quad \lambda_i \equiv \text{const}$$

$$w_i(x, 0) = w_i^0(x) = \begin{cases} w_i^L, & x < 0 \\ w_i^R, & x > 0 \end{cases}$$

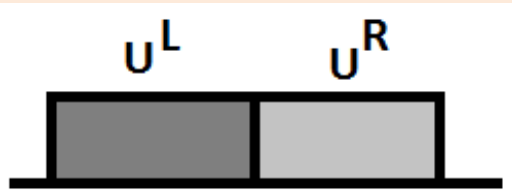
$$w_i(x, t) = w_i^0(x - \lambda_i t)$$

$$u(x, t) = Rw(x, t)$$

# Метод Годунова для решения эйлерового этапа

$$\frac{\partial u}{\partial t} + B \frac{\partial u}{\partial x} = 0$$

$$B = R\Lambda L$$

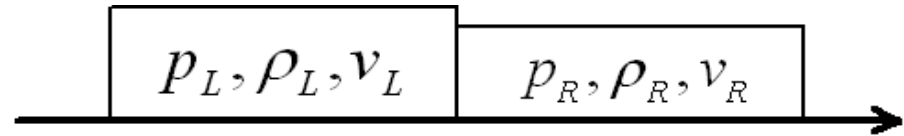


$$L \frac{\partial u}{\partial t} + LR\Lambda L \frac{\partial u}{\partial x} = 0$$

$$w = Lu \quad LR = I$$

$$\frac{\partial w}{\partial t} + \Lambda \frac{\partial w}{\partial x} = 0$$

$$u = Rw$$



$$\frac{\partial w_i}{\partial t} + \lambda_i \frac{\partial w_i}{\partial x} = 0, \quad \lambda_i \equiv \text{const}$$

~~$$w_i(x, 0) = w_i^0(x) = \begin{cases} w_i^L, & x < 0 \\ w_i^R, & x > 0 \end{cases}$$~~

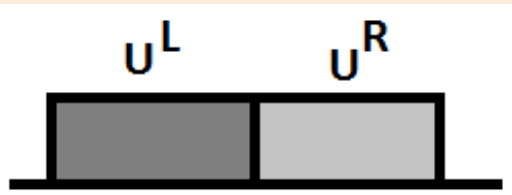
$$w_i(x, t) = w_i^0(x - \lambda_i t)$$

$$u(x, t) = Rw(x, t)$$

# Метод Годунова для решения эйлерового этапа

$$\frac{\partial u}{\partial t} + B \frac{\partial u}{\partial x} = 0$$

$$B = R\Lambda L$$

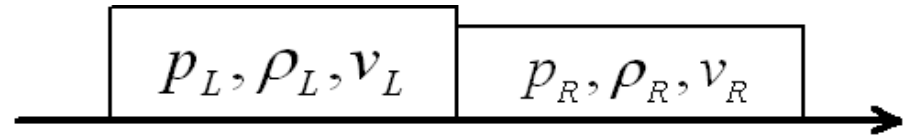


$$L \frac{\partial u}{\partial t} + LR\Lambda L \frac{\partial u}{\partial x} = 0$$

$$w = Lu \quad LR = I$$

$$\frac{\partial w}{\partial t} + \Lambda \frac{\partial w}{\partial x} = 0$$

$$u = R w$$



$$\frac{\partial w_i}{\partial t} + \lambda_i \frac{\partial w_i}{\partial x} = 0, \quad \lambda_i \equiv \text{const}$$

$$w_i(x, 0) = w_i^0(x) = \begin{cases} w_i^L(x), & x < 0 \\ w_i^R(x), & x > 0 \end{cases}$$

$$w_i(x, t) = w_i^0(x - \lambda_i t)$$

$$u(x, t) = R w(x, t)$$

**Парабола (PPML метод)**

Попов, Устюгов, 2007, 2008



# Метод Годунова для решения эйлерового этапа. Схема «первого» порядка точности

$$V = \frac{v_L + v_R}{2} + \frac{p_L - p_R}{2} \sqrt{\frac{(\sqrt{\rho_L} + \sqrt{\rho_R})^2}{(\rho_L^{3/2} + \rho_R^{3/2}) \gamma (\sqrt{\rho_L p_L} + \sqrt{\rho_R p_R})}}$$

$$P = \frac{p_L + p_R}{2} + \frac{v_L - v_R}{2} \sqrt{\frac{(\rho_L^{3/2} + \rho_R^{3/2}) \gamma (\sqrt{\rho_L p_L} + \sqrt{\rho_R p_R})}{(\sqrt{\rho_L} + \sqrt{\rho_R})^2}}$$

# Метод Годунова для решения эйлерового этапа. Схема «высокого» порядка точности

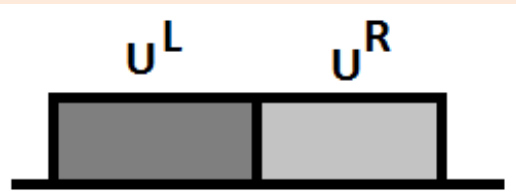
$$V = \frac{v_L(x) + v_R(x)}{2} + \frac{p_L(x) - p_R(x)}{2} \sqrt{\frac{(\sqrt{\rho_L} + \sqrt{\rho_R})^2}{(\rho_L^{3/2} + \rho_R^{3/2}) \gamma (\sqrt{\rho_L} p_L + \sqrt{\rho_R} p_R)}}$$

$$P = \frac{p_L(x) + p_R(x)}{2} + \frac{v_L(x) - v_R(x)}{2} \sqrt{\frac{(\rho_L^{3/2} + \rho_R^{3/2}) \gamma (\sqrt{\rho_L} p_L + \sqrt{\rho_R} p_R)}{(\sqrt{\rho_L} + \sqrt{\rho_R})^2}}$$

# Метод Годунова для решения эйлерового этапа

$$\frac{\partial u}{\partial t} + B \frac{\partial u}{\partial x} = 0$$

$$B = R\Lambda L$$

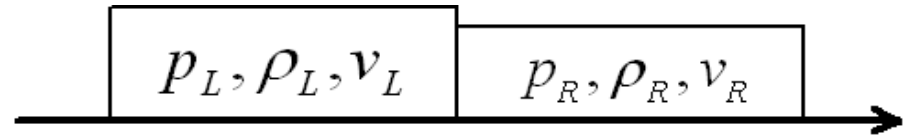


$$L \frac{\partial u}{\partial t} + LR\Lambda L \frac{\partial u}{\partial x} = 0$$

$$w = Lu \quad LR = I$$

$$\frac{\partial w}{\partial t} + \Lambda \frac{\partial w}{\partial x} = 0$$

$$u = Rw$$



## Схема Рое

$$[\rho] = \sqrt{\rho_L \rho_R}$$

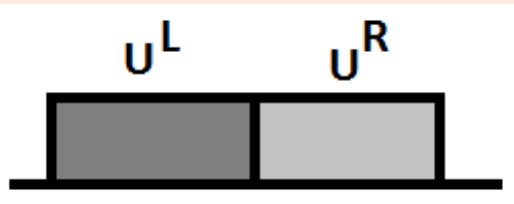
$$H = \frac{p}{\rho} + \varepsilon$$

$$[H] = \frac{\sqrt{\rho_L} H_L + \sqrt{\rho_R} H_R}{\sqrt{\rho_L} + \sqrt{\rho_R}}$$

# Метод Годунова для решения эйлерового этапа

$$\frac{\partial u}{\partial t} + B \frac{\partial u}{\partial x} = 0$$

$$B = R\Lambda L$$



$$L \frac{\partial u}{\partial t} + LR\Lambda L \frac{\partial u}{\partial x} = 0$$

$$w = Lu \quad LR = I$$

$$\frac{\partial w}{\partial t} + \Lambda \frac{\partial w}{\partial x} = 0$$

$$u = Rw$$

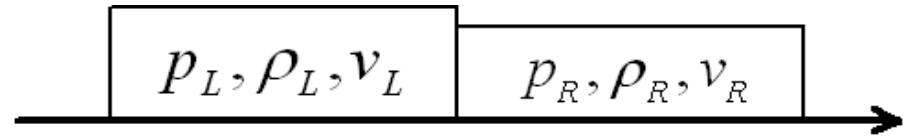


Схема Рое

$$[\rho] =$$

**Нефизичная  
скорость звука на  
границе газ-вакуум**

$$[\rho] = \frac{\sqrt{\rho_L} H_L + \sqrt{\rho_R} H_R}{\sqrt{\rho_L} + \sqrt{\rho_R}}$$

# Метод Годунова для решения эйлерового этапа

## Схема Рое

$$[\rho] = \sqrt{\rho_L \rho_R}$$

$$H = \frac{p}{\rho} + \varepsilon$$

$$[H] = \frac{\sqrt{\rho_L} H_L + \sqrt{\rho_R} H_R}{\sqrt{\rho_L} + \sqrt{\rho_R}}$$

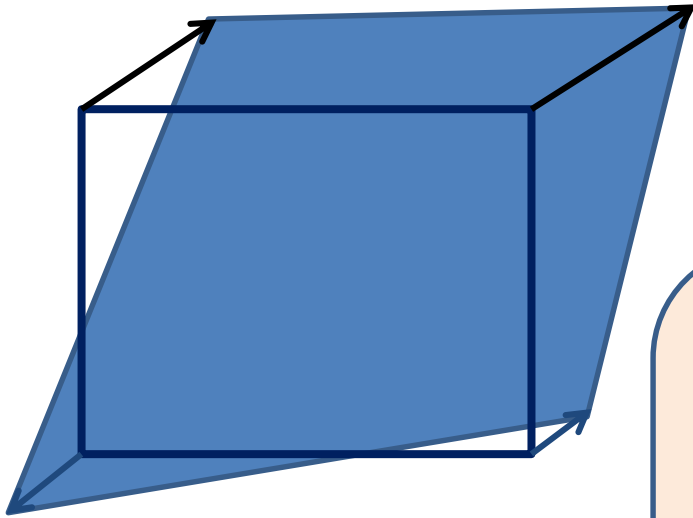
## Модификация схемы Рое

$$[\rho] = \frac{\rho_L^{3/2} + \rho_R^{3/2}}{\sqrt{\rho_L} + \sqrt{\rho_R}}$$

$$[p] = \frac{\sqrt{\rho_L} p_L + \sqrt{\rho_R} p_R}{\sqrt{\rho_L} + \sqrt{\rho_R}}$$

**Аккуратное  
воспроизведение  
границы газ-вакуум**

# Метод Годунова для решения лагранжевого этапа



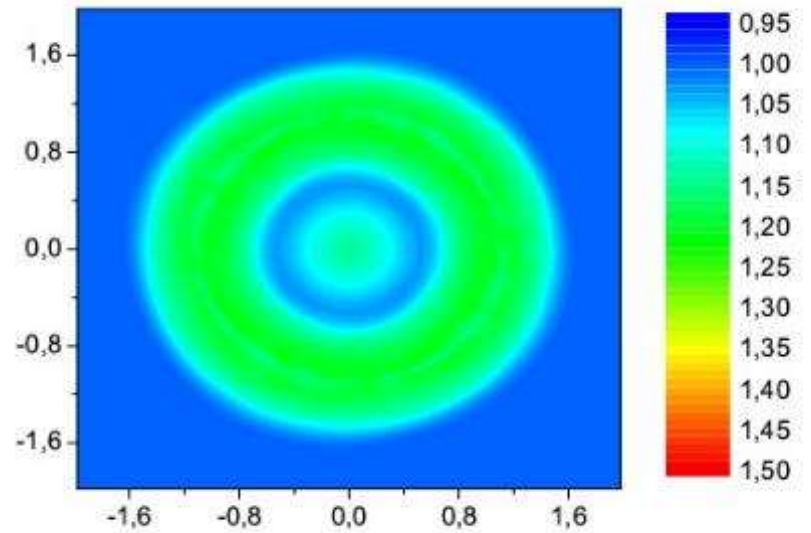
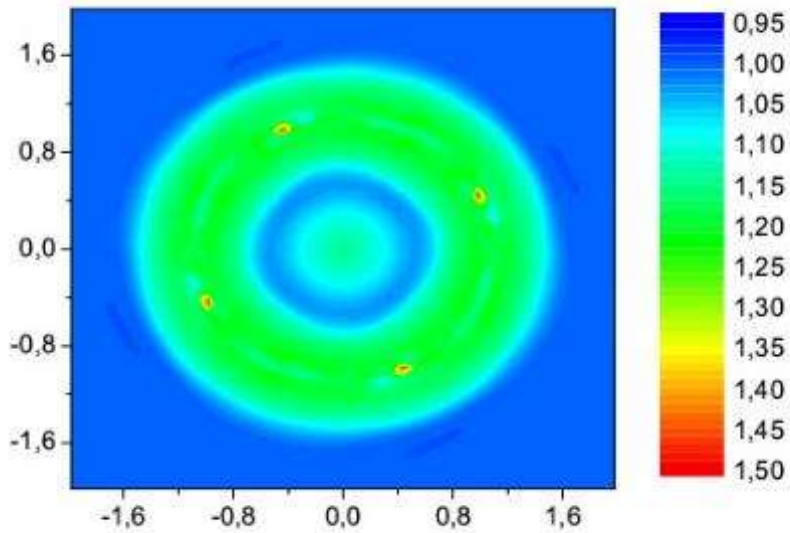
$$\frac{\partial z}{\partial t} + \operatorname{div}(z\vec{v}) = 0 \quad \Rightarrow \quad \frac{u_{ikl}^{n+1} - u_{ikl}^n}{\tau} + \frac{F_{i+1/2,kl}^{n+1/2} - F_{i-1/2,kl}^{n+1/2}}{h} = 0$$

$$F_{i+1/2,kl}^{n+1/2} = [v]_{i+1/2,k,l} \times \begin{cases} z_{ikl}, & [v]_{i+1/2,k,l} \geq 0 \\ z_{i+1,kl}, & [v]_{i+1/2,k,l} < 0 \end{cases}$$

$$[v] = \frac{\sqrt{z_L} v_L + \sqrt{z_R} v_R}{\sqrt{z_L} + \sqrt{z_R}}$$

1/16	2/16	1/16
2/16	4/16	2/16
1/16	2/16	1/16

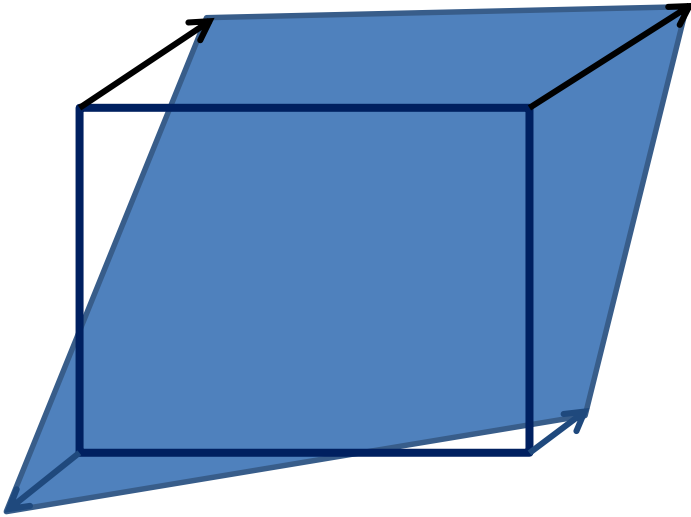
# Метод Годунова для решения лагранжевого этапа



0	0	0
0	1	0
0	0	0

$1/16$	$2/16$	$1/16$
$2/16$	$4/16$	$2/16$
$1/16$	$2/16$	$1/16$

# Метод Годунова для решения лагранжевого этапа



$$\frac{\partial z}{\partial t} + \operatorname{div}(z\vec{v}) = 0 \quad \Rightarrow \quad \frac{u_{ikl}^{n+1} - u_{ikl}^n}{\tau} + \frac{F_{i+1/2,kl}^{n+1/2} - F_{i-1/2,kl}^{n+1/2}}{h} = 0$$

$$F_{i+1/2,kl}^{n+1/2} = \frac{\sum v_{i+1/2,k\pm 1,l\pm 1} \begin{cases} \rho_{ikl}, v_{i+1/2,k\pm 1,l\pm 1} \geq 0 \\ \rho_{i+1,kl}, v_{i+1/2,k\pm 1,l\pm 1} < 0 \end{cases}}{4}$$

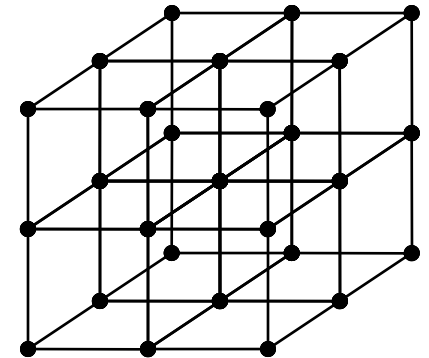
# Метод решения уравнения Пуассона

Решаем в пространстве гармоник уравнение Пуассона

$$\varphi_{jmn} = - \frac{4\pi h^2 \rho_{jmn}}{6 \left( 1 - \left( 1 - \frac{2}{3} \sin^2 \left( \frac{\pi j}{I} \right) \right) \left( 1 - \frac{2}{3} \sin^2 \left( \frac{\pi m}{K} \right) \right) \left( 1 - \frac{2}{3} \sin^2 \left( \frac{\pi n}{L} \right) \right) \right)}$$

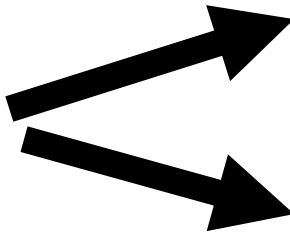
*Коэффициенты преобразования с помощью преобразования Фурье (в реализации использовано быстрое преобразование Фурье)*

**27-точечный шаблон**





# Коррекция дисбаланса энергий

$$\rho E = \frac{p}{\gamma - 1} + \frac{\rho v^2}{2}$$

$$\|V\| = \sqrt{2 \left( E - \frac{1}{\rho} \frac{p}{\gamma - 1} \right)}$$
$$|\rho \varepsilon| = \left( \rho E - \frac{\rho v^2}{2} \right)$$

1. Происходит корректировка длины вектора скорости при неизменном направлении (в случае малой плотности).
2. Происходит корректировка внутренней энергии (в остальной области)

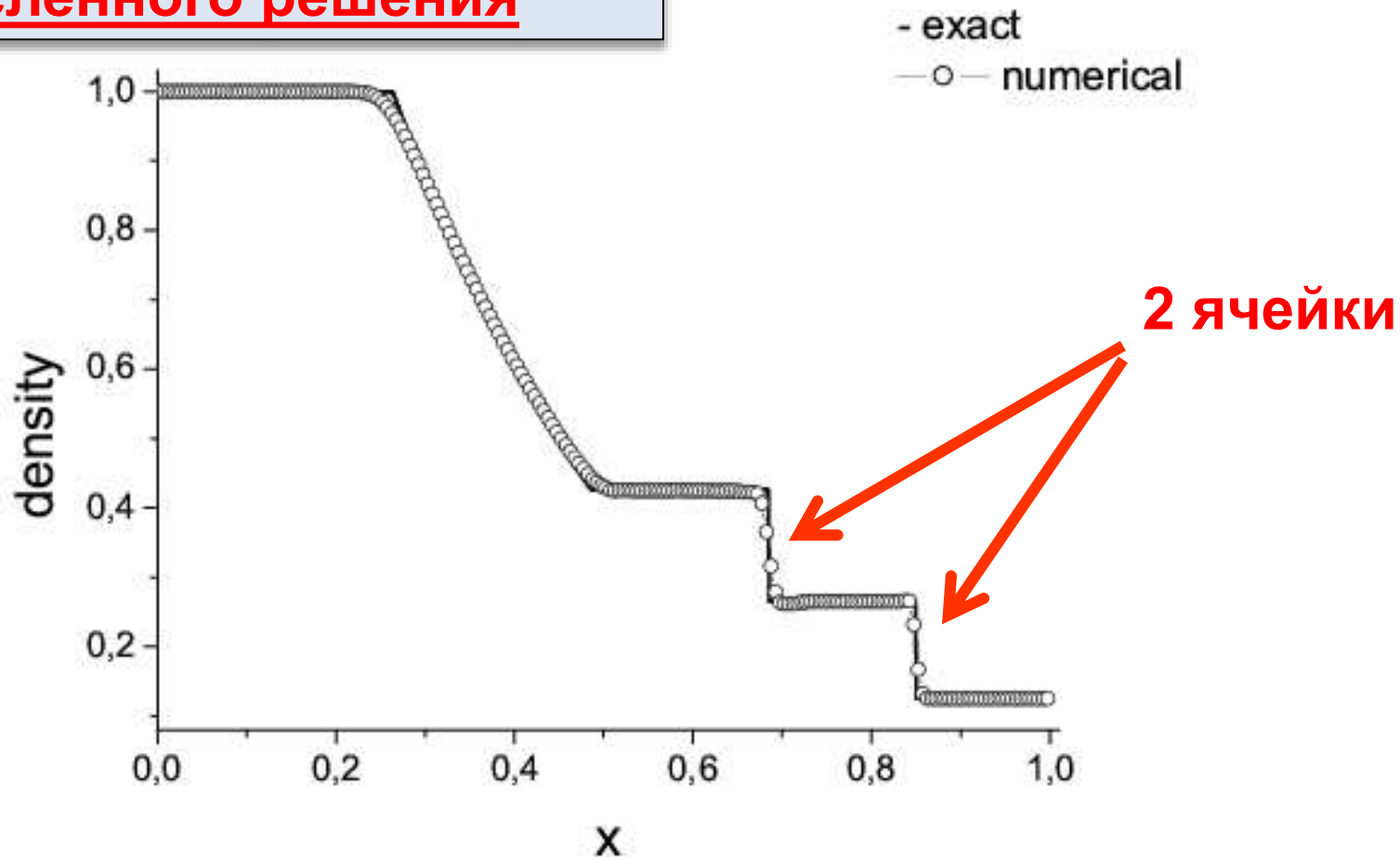
**Такая модификация метода обеспечивает справедливость  
детального баланса энергий и гарантирует неубывание энтропии**

\*) Vshivkov V., Lazareva G., Snytnikov A., Kulikov I., Tutukov A. Computational methods for ill-posed problems of gravitational gasdynamics // J. Inv. Ill-Posed Problems, 19. 2011, 151-166

\*\*) Godunov S., Kulikov I. Computation of Discontinuous Solutions of Fluid Dynamics Equations with Entropy Nondecrease Guarantee // J. Comp. Math & Math. Phys., 54, 2014, 1012-1024

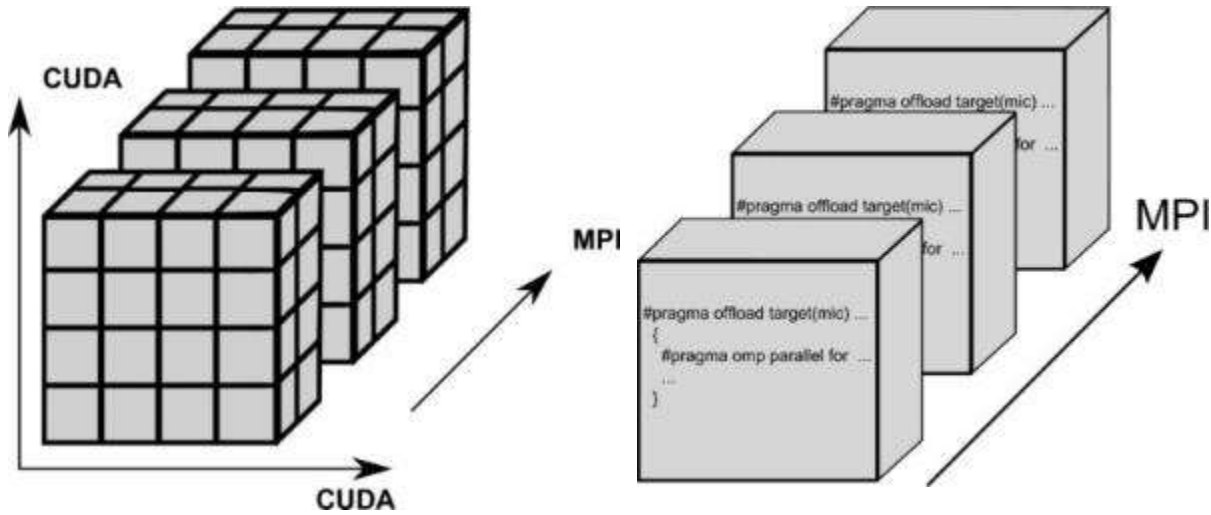
# Схема «высокого» порядка точности

Малая диссипативность  
численного решения

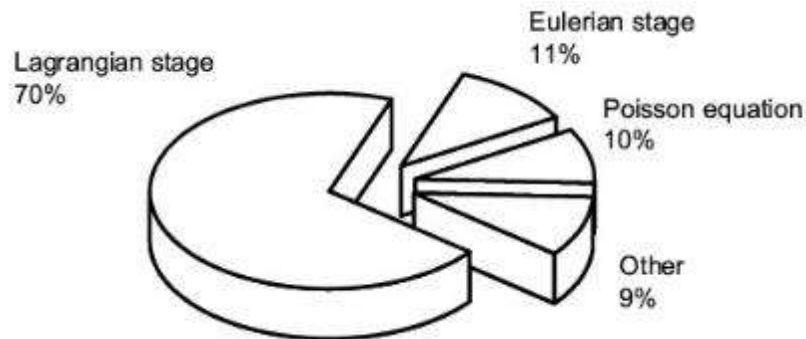
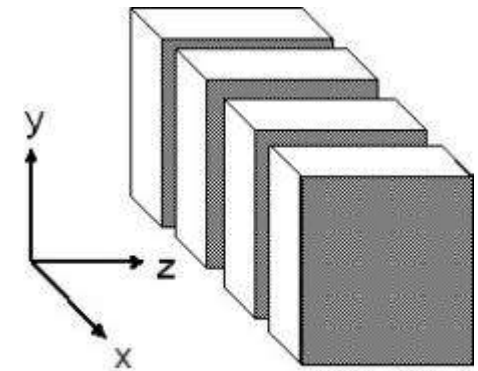


# Параллельная реализация

## Гидродинамические уравнения

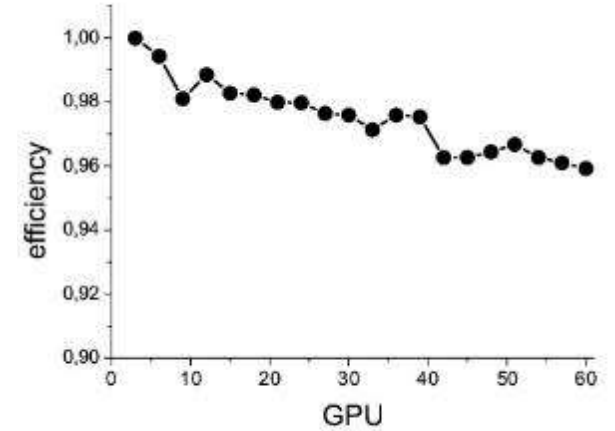
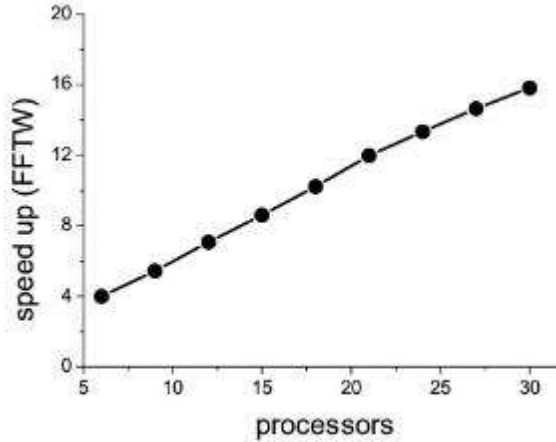
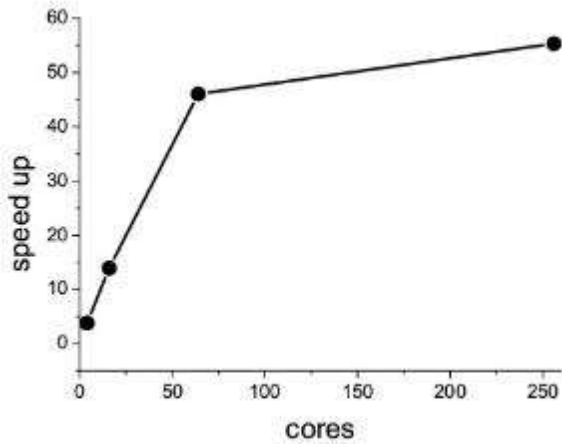


## Уравнение Пуассона (FFTW)

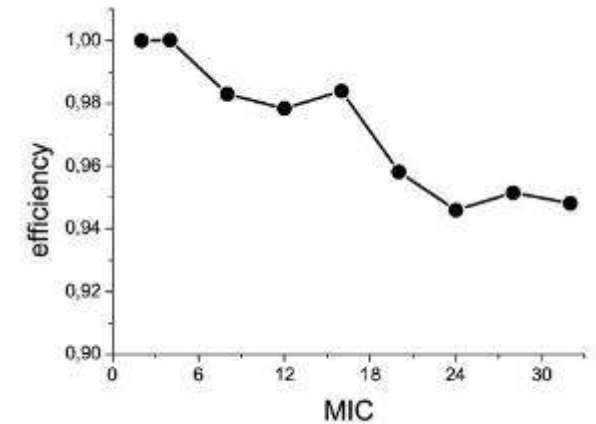
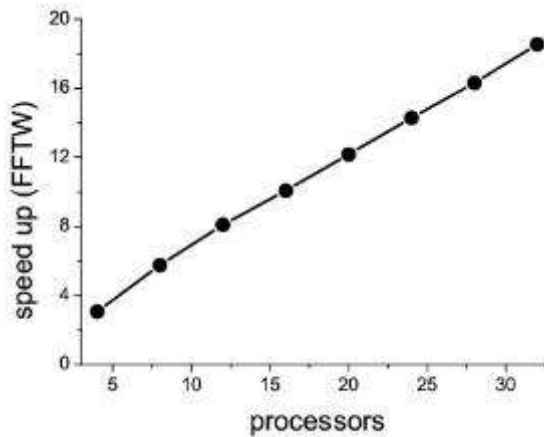
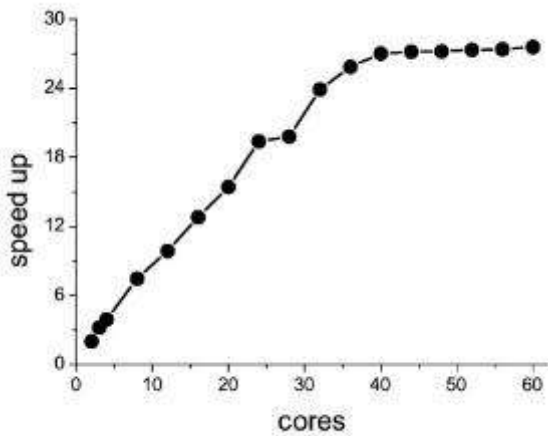


# Параллельная реализация

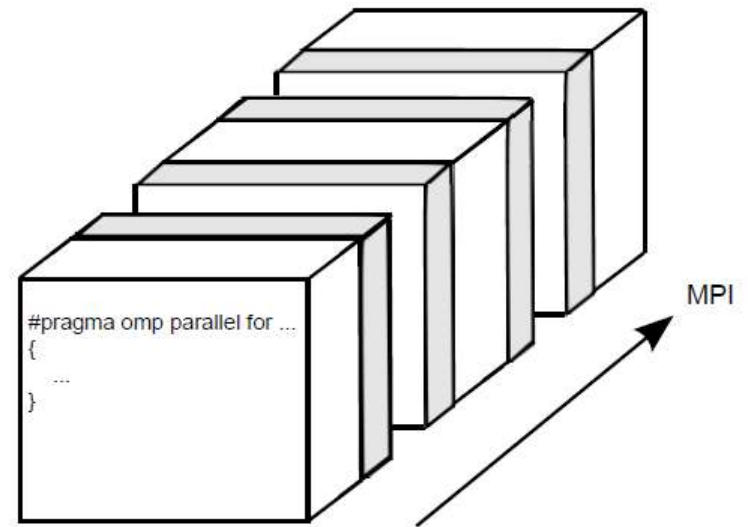
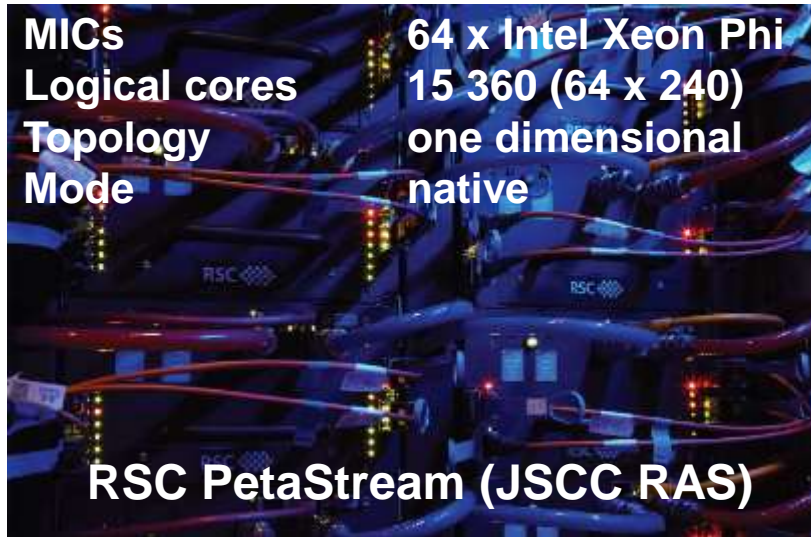
## GPUPEGAS



## AstroPhi (offload)



# Параллельная реализация



1. Ускорение в 134 раза на 240 логических ядрах
2. Эффективность 92% на 64 MICs (или на 15 360 ядрах)
3. Достигнута 40% эффективность от пиковой скалярной производительности

Моделирование поведения программной реализации на 983 040 ядрах с помощью системы AGNES\*  
80% эффективность была достигнута

\*Podkorytov et al., LNCS 2010

# Тест А.В. Аксенова

$$\frac{\partial u}{\partial t} + u \frac{\partial u}{\partial x} = -\frac{1}{\rho} \frac{\partial p}{\partial x}$$

$$\frac{\partial \rho}{\partial t} + \frac{\partial \rho u}{\partial x} = 0$$

$$\frac{p}{p_0} = \left( \frac{\rho}{\rho_0} \right)^\gamma$$

Выбрав в качестве размерных величин:

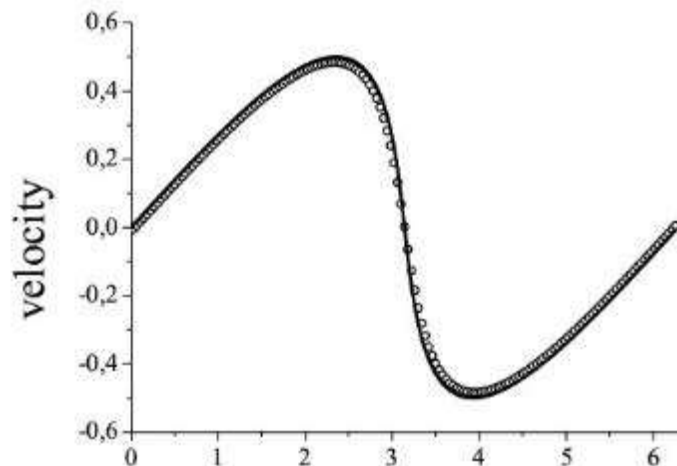
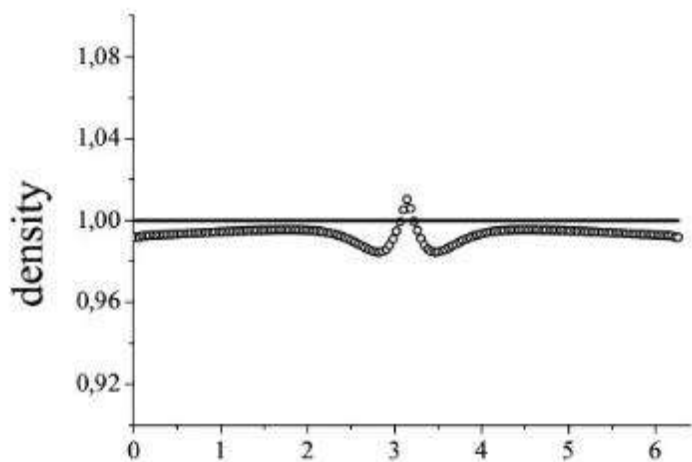
$$l = 1 \quad p_0 = 1 \quad \rho_0 = 1 \quad \gamma = 3$$

$$\lambda = 1/(\gamma - 1) \quad r = \rho^{1/2\lambda} \quad z = u / 2\lambda$$

Периодическое решение на интервале  $[0; 2\pi]$   
записывается в виде:

$$r = 1 + 0.5 \cos(x - zt) \cos(rt)$$

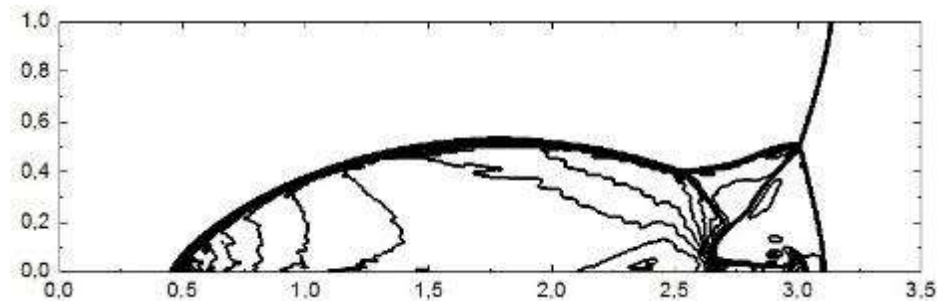
$$z = 0.5 \sin(x - zt) \sin(rt)$$



Порядок численной схемы = 1.713

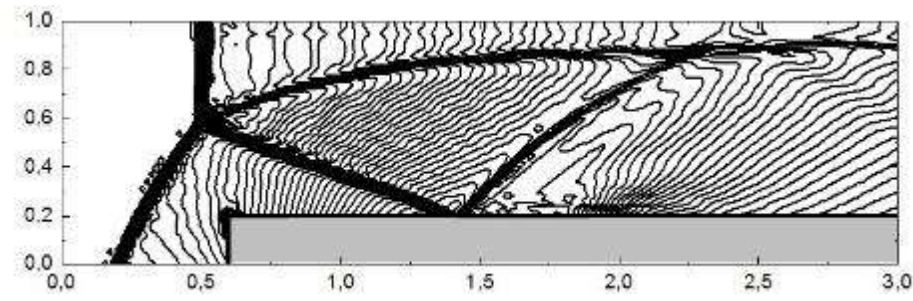
# Задача о двойном Маховском отражении

$$(\rho, p, u_x, u_y) = \begin{cases} (8, 116.5, 7.1447, -4.125), & x < \frac{1}{2} + \frac{y}{\tan(\pi/3)} \\ (1.4, 1, 0, 0), & x \geq \frac{1}{2} + \frac{y}{\tan(\pi/3)} \end{cases}$$

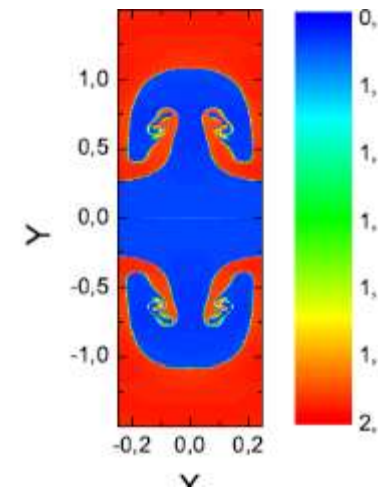
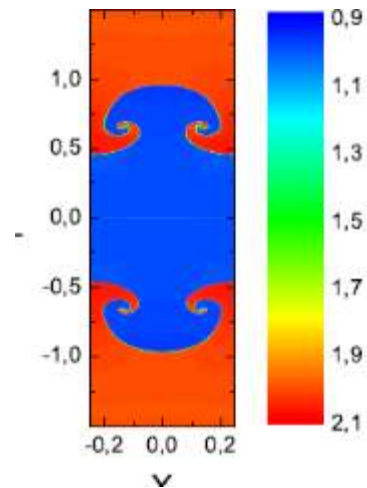
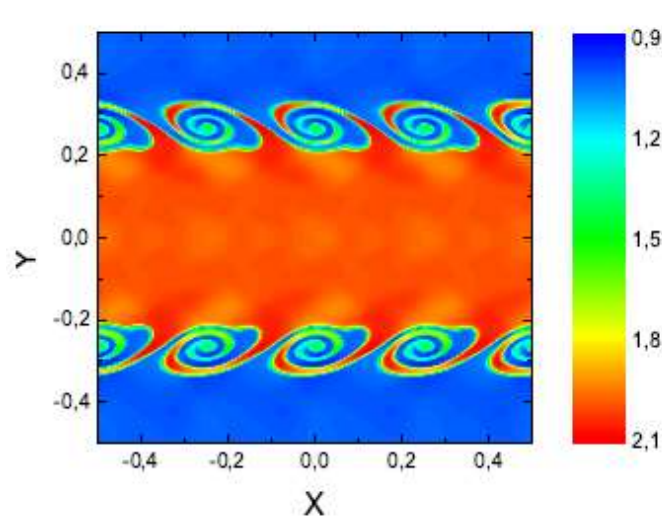


# Задача о сверхзвуковом потоке в туннеле со ступенькой

$$(\rho, p, u_x, u_y) = \begin{cases} (1.4, 1, 3, 0), & x < 0.5 \\ (1.4, 1, 0, 0), & x \geq 0.5 \end{cases}$$



# Неустойчивости Кельвина-Гельмгольца и Релея-Тейлора



# Равновесные конфигурации вращающегося самогравитирующего газа

Начальное распределение:

$$\begin{cases} \frac{dp}{dr} = -\frac{M(r)\rho}{r^2} \\ \frac{dM}{dr} = 4\pi r^2 \rho \\ p = (\gamma - 1) \rho \varepsilon \end{cases}$$

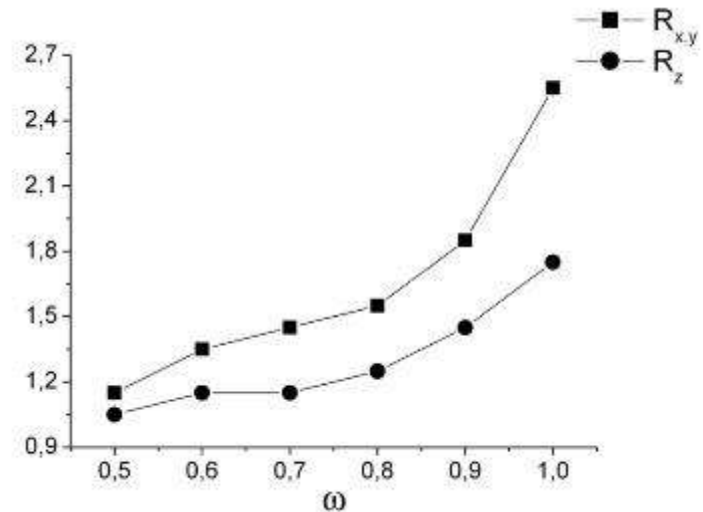
Уравнение Эмдена:

$$-\frac{d}{dr} \left( \frac{r^2}{\rho} \frac{d\rho^\gamma}{dr} \right) = 4\pi r^2 \rho$$

Автомодельное решение для скорости:

$$v_r(r, t) = \frac{r}{t - c}$$

$$0 < \frac{1}{2} \int_{\Omega} \rho \omega^2 r^2 d\Omega < 0.4 \left| \frac{1}{2} \int_{\Omega} \rho \Phi d\Omega \right|$$



Зависимость радиусов эллипса от  $w$

$$r_x(w) = 2.35 \cdot 10^{-3} \exp\left(\frac{w}{0.15736}\right) + 1.18171$$

$$r_z(w) = 2.52 \cdot 10^{-3} \exp\left(\frac{w}{0.17686}\right) + 1.03146$$



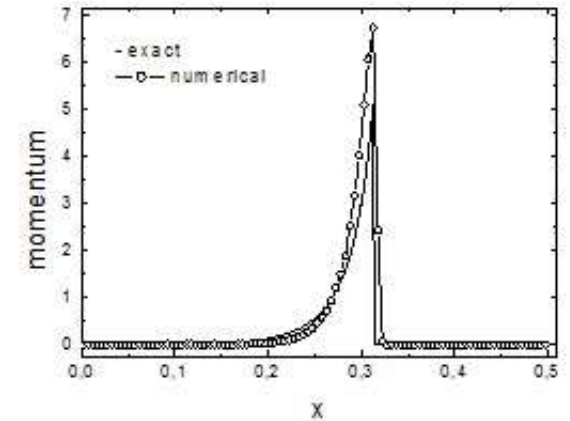
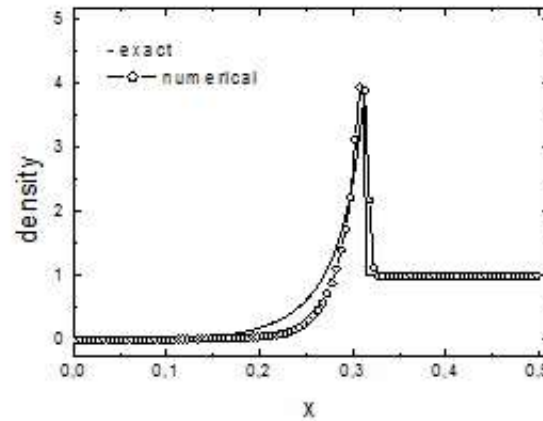
# Задача Седова о точечном взрыве

Плотность = 1

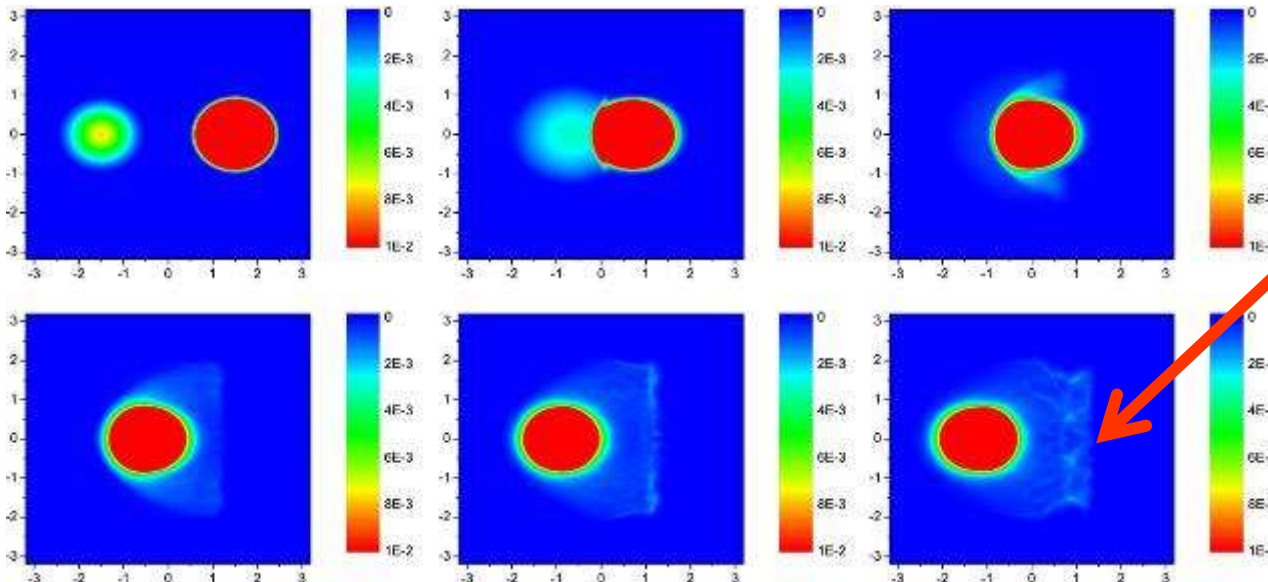
Давление = 0.00001

Энергия взрыва = 0.6

Скорость = 0



# Задача столкновения самогравитирующих газовых облаков различных масс



Происходит  
развитие ram  
pressure  
механизма

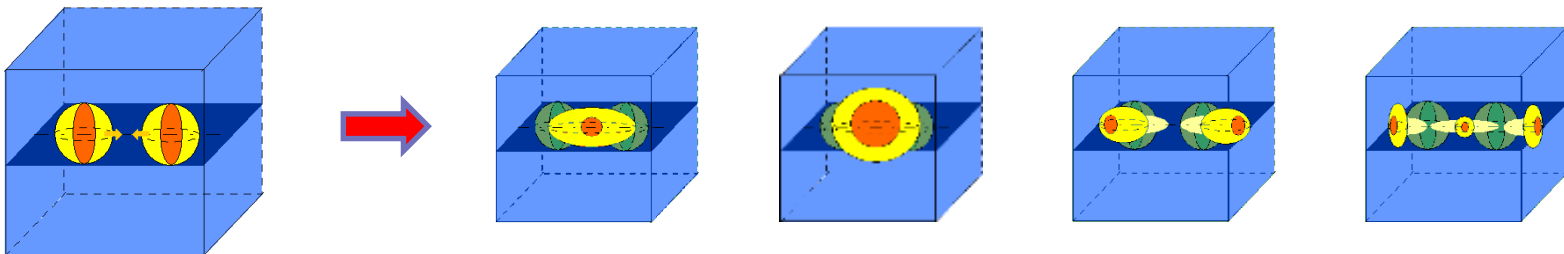
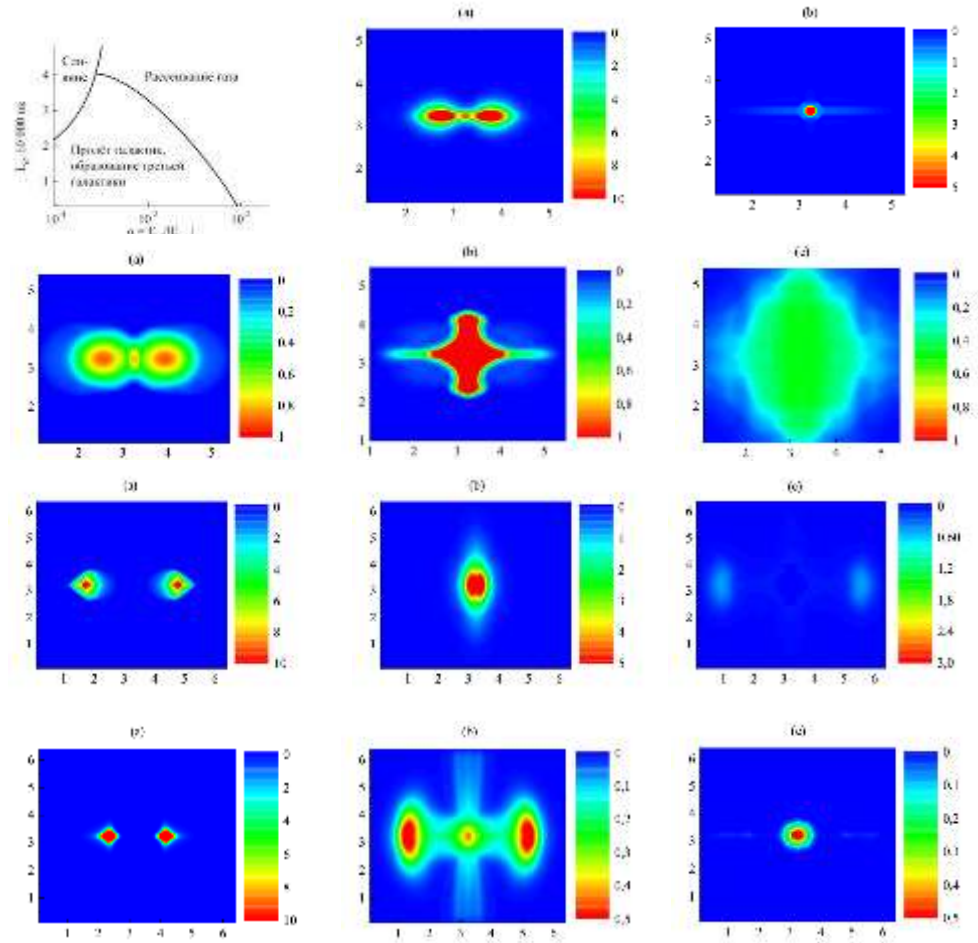
# Верификация численного метода

- ❑ Одномерные тесты ударной трубы (*разрывные решения*)
- ❑ Тест Аксенова (*непрерывное решение*)
- ❑ Неустойчивость Кельвина-Гельмгольца
- ❑ Неустойчивость Релея-Тейлора
- ❑ Задача Седова о точечном взрыве
- ❑ Задача вращения облака для контроля момента импульса
- ❑ Задача разлета газа в вакуум
- ❑ Коллапса Эвхарда
- ❑ Задача о двойном Маховском отражении
- ❑ Задача о сверхзвуковом потоке в туннеле со ступенькой
- ❑ Падение облака G2 на Sgr A\*
- ❑ ...

# Моделирование центрального столкновения галактик

Вычислительные эксперименты с помощью суперЭВМ позволили подтвердить гипотезу об образовании одной или двух галактик, полученных в результате столкновений, либо полное разрушение галактик и получить условия развития каждого из сценариев столкновения. Важнейшим же результатом моделирования стало получение условий и развитие нового сценария образования третьей галактики, лишённой звёздной компоненты. В дальнейшем тщательное теоретическое исследование механизмов центрального столкновения газовых компонент галактик подтвердили условия и сам факт сценария образования третьей галактики.

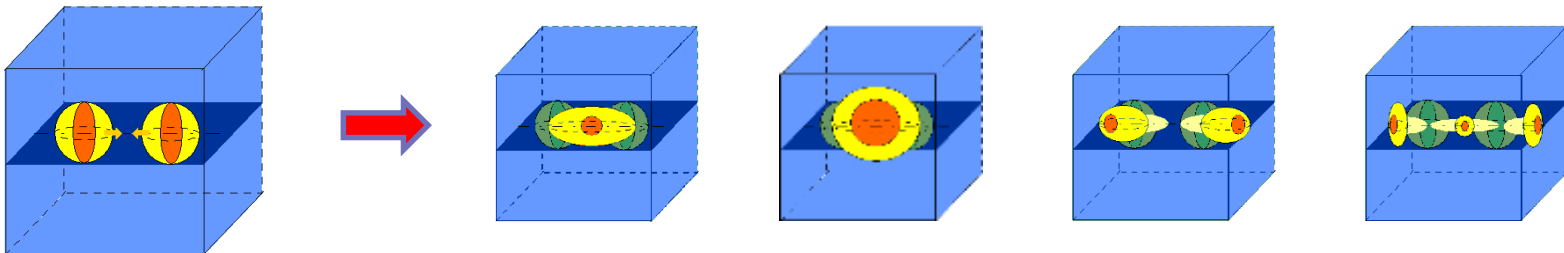
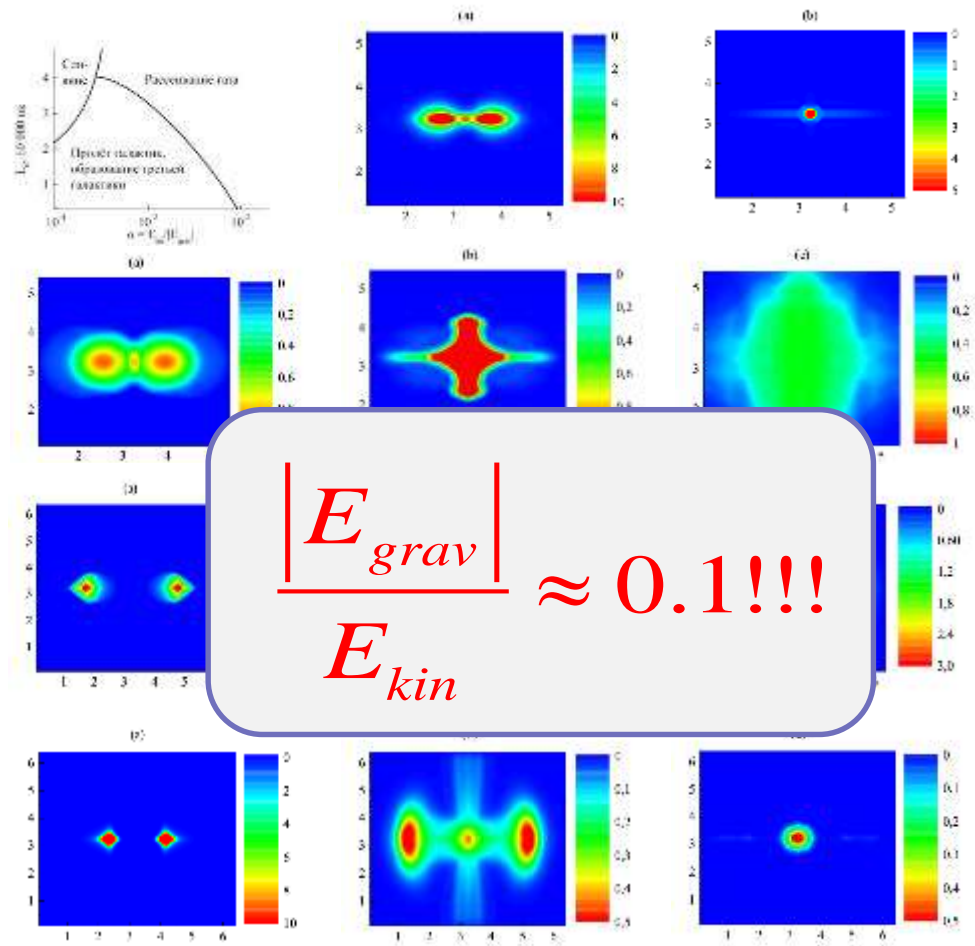
1. Vshivkov V., Lazareva G., Snytnikov A., Kulikov I., Tutukov A. ApJS, 194. 2011, 47
2. Тутуков А.В., Лазарева Г.Г., Куликов И.М. *Астрономический журнал*, том 88, № 9. 2011, с. 1-15



# Моделирование центрального столкновения галактик

Вычислительные эксперименты с помощью суперЭВМ позволили подтвердить гипотезу об образовании одной или двух галактик, полученных в результате столкновений, либо полное разрушение галактик и получить условия развития каждого из сценариев столкновения. Важнейшим же результатом моделирования стало получение условий и развитие нового сценария образования третьей галактики, лишённой звёздной компоненты. В дальнейшем тщательное теоретическое исследование механизмов центрального столкновения газовых компонент галактик подтвердили условия и сам факт сценария образования третьей галактики.

1. Vshivkov V., Lazareva G., Snytnikov A., Kulikov I., Tutukov A. ApJS, 194. 2011, 47
2. Тутуков А.В., Лазарева Г.Г., Куликов И.М. *Астрономический журнал*, том 88, № 9. 2011, с. 1-15



# Моделирование бесстолкновительной компоненты

## ■ Решение задачи N-тел

- *Прямое моделирование ограничено  $10^7$  частиц для современных суперкомпьютеров (даже при использовании специальных ускорителей GRAPE)*
- *Использование комбинации «частица-сетка-дерево» для упрощения решения задачи N-тел (проблема корректного выбора ядра, необходимость минимального количества частиц в ячейке)*
- *Необходимость балансировки загрузки при использовании суперЭВМ (неравномерная распределение частиц по области)*

# Моделирование бесстолкновительной компоненты

## ■ Гидродинамический подход

- *Pressureless* газовая динамика (Chertock, Kurganov, Rykov, 2007; Keppens, Van Marle, Meliani 2012)
- Классическая газовая динамика (Kim, Seo 2012; Price 2013; все работы, основанные на SPH методе)
- Collisionless газовая динамика (Mitchell, Vorobyov, Hensler 2012; Binney, Tremaine 1987)

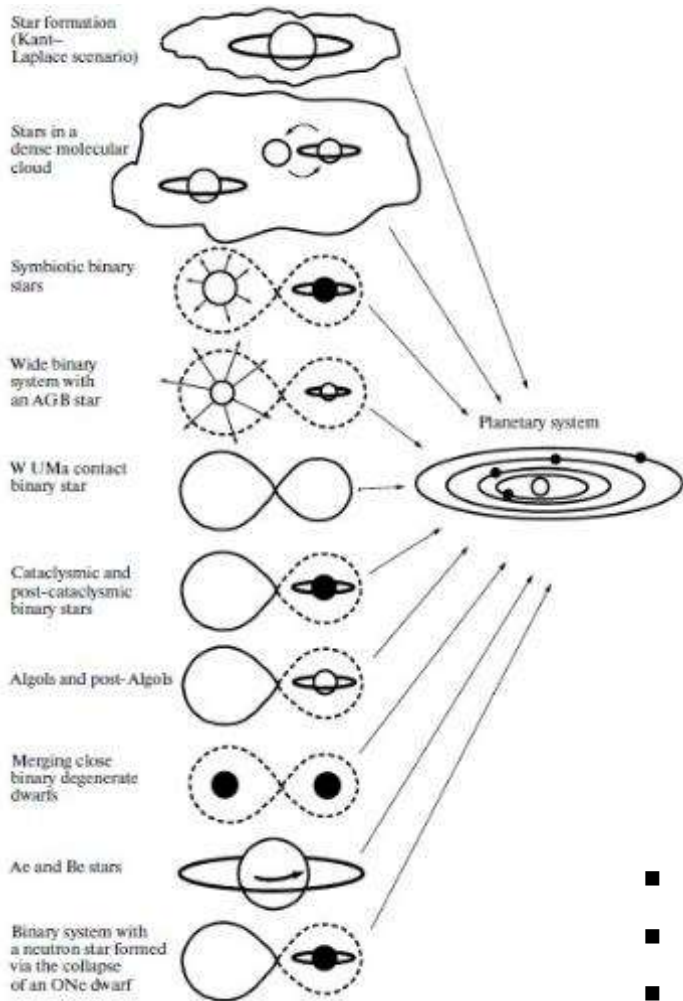
## ■ Достоинство гидродинамического подхода

- Термодинамически-согласованная модель фазовых переходов

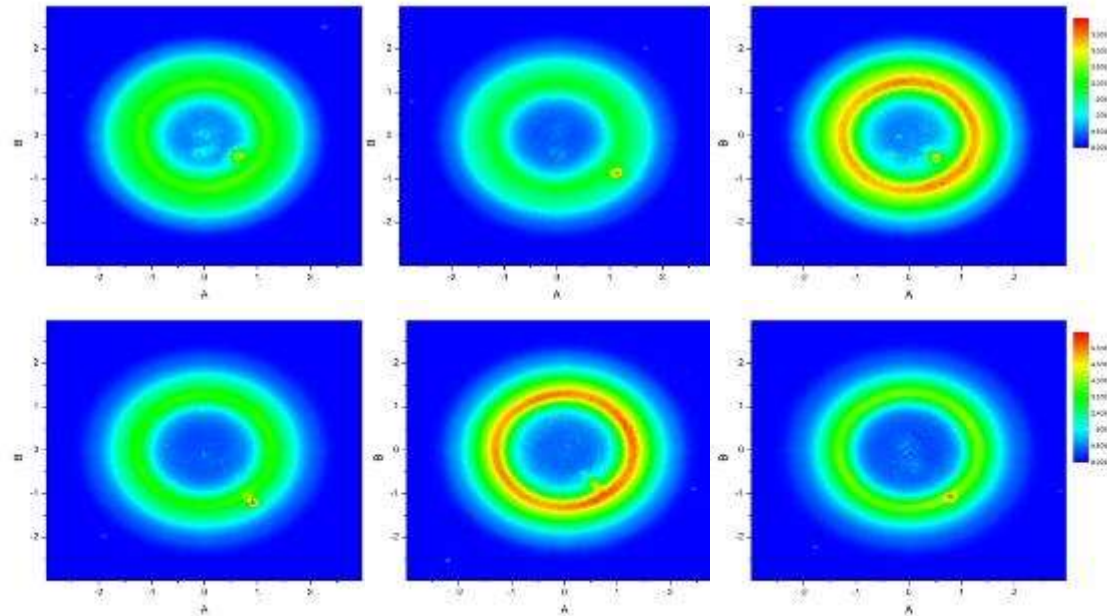
## ■ Недостаток гидродинамического подхода

- *Применимость подхода в каждой конкретной задаче*

# Моделирование планетных систем



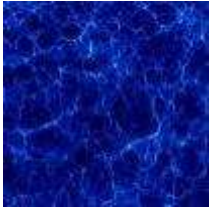
Модель газопылевого диска в 3D2V постановке (Вшивков, Снытников 2002)



- Важно движение отдельных частиц
- Малая средняя скорость движения среды
- Численная модель: частицы (PIC) + газ

(\*) Tutukov, Fedorova 2013

# Масштабы астрофизических объектов



**Космологические масштабы**



**Масштабы галактик**



**Молекулярные облака**



**Планетные системы**



**Импактные события**



# Первые моменты уравнения Больцмана

$$\frac{\partial f}{\partial t} + v_i \frac{\partial f}{\partial x_i} + a_i \frac{\partial f}{\partial v_i} = 0$$

$$d^3v = dv_x dv_y dv_z$$

$$\rho = \int m f d^3v$$

$$u = \rho^{-1} \int m f v d^3v$$

$$\sigma_{ij}^2 = \rho^{-1} \int m f (v_i - u_i)(v_j - u_j) d^3v = \sigma_{ji}^2$$

## Математические вопросы и приложения:

*Козлов В.В. 2007 (МИАН РАН)*

*Медведев С.Б. 2009 (ИВТ СО РАН)*

*Современные проблемы динамики разреженных газов 2013 (ИТП СО РАН)*

## Использование в астрофизических задачах:

*Mitchell N., Vorobyov E., Hensler G. Collisionless stellar hydrodynamics as an efficient alternative to N-body methods // MNRAS, V. 428, I. 3, 2013, pp. 2674-2687*

# Первые моменты уравнения Больцмана

$$\frac{\partial f}{\partial t} + v_i \frac{\partial f}{\partial x_i} + a_i \frac{\partial f}{\partial v_i} = 0$$

$$d^3v = dv_x dv_y dv_z$$

$$\rho = \int m f d^3v$$

$$u = \rho^{-1} \int m f v d^3v$$

$$\sigma_{ij}^2 = \rho^{-1} \int m f (v_i - u_i)(v_j - u_j) d^3v = \sigma_{ji}^2$$

- Важно движения кластера, а не отдельной частицы
- Отсутствуют теплопроводные эффекты (свойство почти всех астрофизических задач)
- Дисперсия скоростей значительно меньше квадрата скорости

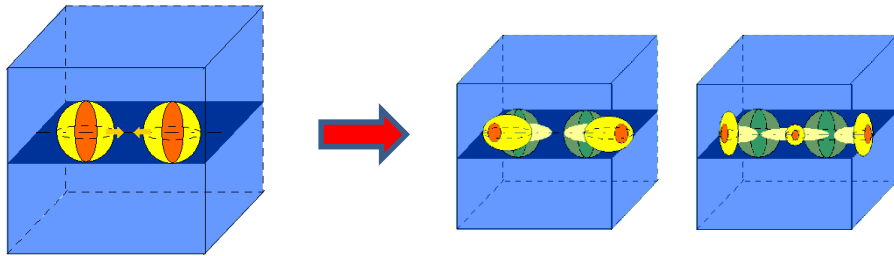
$$\frac{\partial \rho}{\partial t} + \text{div}(\rho u) = 0$$

$$\frac{\partial \rho u}{\partial t} + \text{div}(\rho u u) = -\text{grad}(\rho \sigma^2) - \rho \text{grad} \Phi$$

$$\frac{\partial \rho E_{ij}}{\partial t} + \text{div}(\rho E_{ij} u) = -\text{div}(2\rho \sigma_{ij}^2 u) - 2(\rho u, \text{grad} \Phi)$$

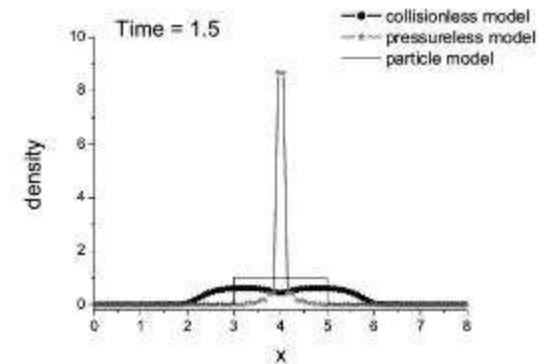
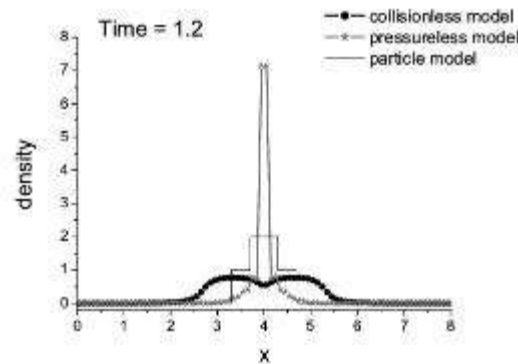
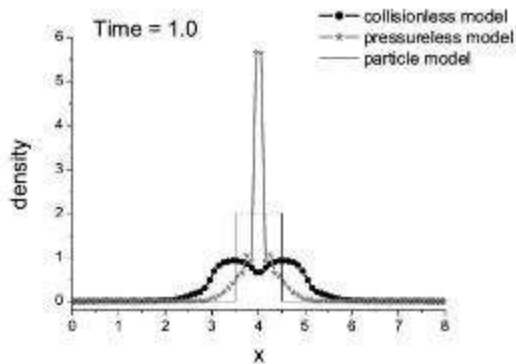
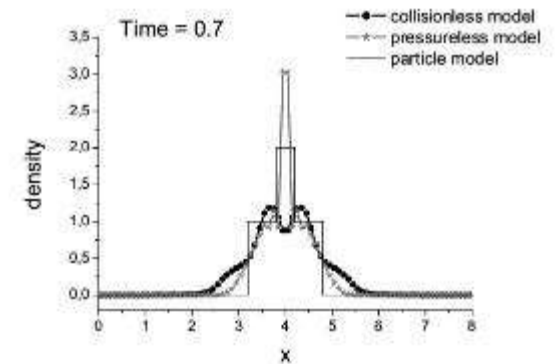
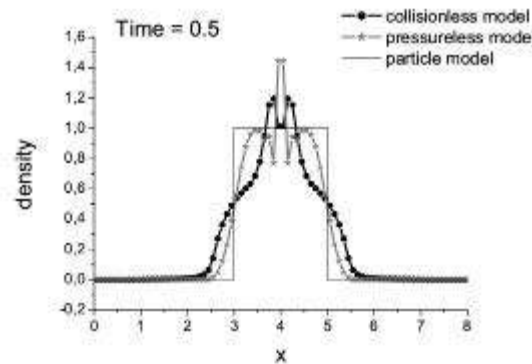
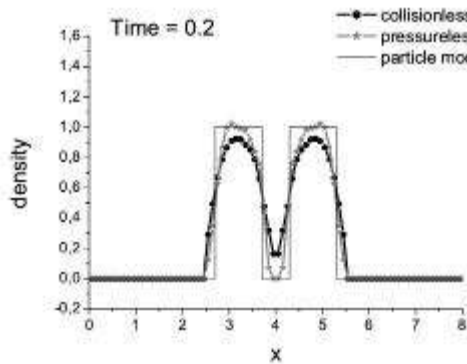
$$\rho E_{ij} = \rho \sigma_{ij}^2 + \rho u_i u_j$$

# Одномерное столкновение двух волн (задача LeVeque, 2004)

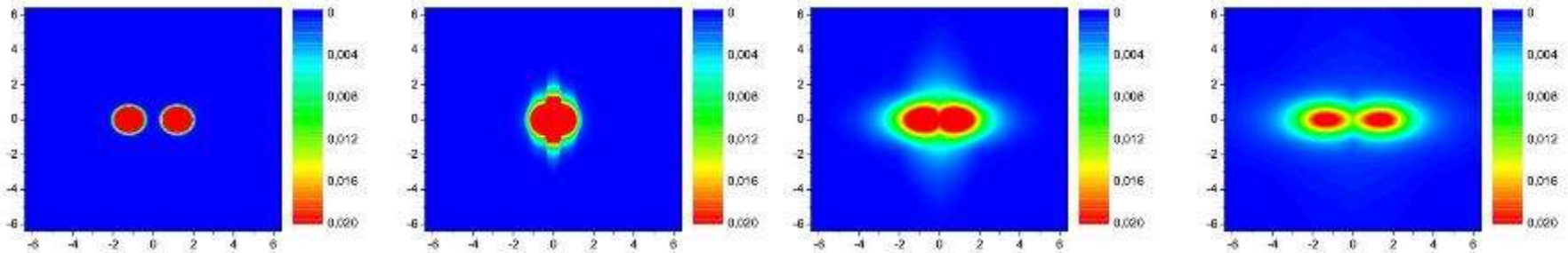


## Сравниваемые модели:

- Pressureless газ (решение LeVeque 2004)
- Collisionless газ (классическая газодинамика)
- Частицы (аналитическая модель)



# Столкновение двух галактик в многофазной модели (газ + бесстолкновительная компонента)



Модель бесстолкновительной гидродинамики позволяет получать качественные решения, допускающие разлет самогравитирующих сфер. Что позволяет использовать данный подход для описания бесстолкновительной компоненты галактик в задачах их взаимодействия (в том числе столкновения).

# Столкновение галактик в полной модели

<b>Модель:</b>	<b>двухфазная модель (газ + звезды/темная материя)</b>	
<b>Профиль диска:</b>	<b>равновесная вращающаяся конфигурация</b>	
<b>Масса галактик:</b>	<b><math>10^{13} M_{\odot}</math></b>	
<b>Подсеточная физика:</b>	<b>звездообразование</b>	<b>сверхновые</b>
	<b>образование <math>H_2</math></b>	<b>охлаждение / нагревание</b>

$$\frac{\partial \rho}{\partial t} + \nabla \cdot (\rho \vec{u}) = S - D$$

$$\frac{\partial \rho_H}{\partial t} + \nabla \cdot (\rho_H \vec{u}) = -s_{H,H_2} + S \frac{\rho_H}{\rho} - D \frac{\rho_H}{\rho}$$

$$\frac{\partial \rho_{H_2}}{\partial t} + \nabla \cdot (\rho_{H_2} \vec{u}) = s_{H,H_2} + S \frac{\rho_{H_2}}{\rho} - D \frac{\rho_{H_2}}{\rho}$$

$$\frac{\partial \rho \vec{u}}{\partial t} + \nabla \cdot (\rho \vec{u} \vec{u}) = -\nabla p - \rho \nabla(\Phi) + \vec{v} S - \vec{u} D$$

$$\frac{\partial \rho E}{\partial t} + \nabla \cdot (\rho E \vec{u}) = -\nabla \cdot (p \vec{v}) - (\rho \nabla(\Phi), \vec{u}) - \Lambda + \Gamma - \varepsilon \frac{D}{\rho}$$

$$\frac{\partial \rho \varepsilon}{\partial t} + \nabla \cdot (\rho \varepsilon \vec{u}) = -(\gamma - 1) \rho \Gamma \nabla \cdot \vec{u} - \Lambda + \Gamma - \varepsilon \frac{D}{\rho}$$

$$\rho E = \frac{1}{2} \rho \vec{u}^2 + \rho \varepsilon \quad p = (\gamma - 1) \rho \varepsilon$$

$$\frac{\partial n}{\partial t} + \nabla \cdot (n \vec{v}) = D - S$$

$$\frac{\partial n \vec{v}}{\partial t} + \nabla \cdot (n \vec{v} \vec{v}) = -\nabla \Pi - n \nabla(\Phi) + \vec{u} D - \vec{v} S$$

$$\frac{\partial \rho W}{\partial t} + \nabla \cdot (\rho W \vec{v}) = -\nabla \cdot (\Pi \vec{v}) - (n \nabla(\Phi), \vec{v}) - \Gamma + \varepsilon \frac{D}{\rho}$$

$$\frac{\partial \Pi_{\xi\xi}}{\partial t} + \nabla \cdot (\Pi_{\xi\xi} \vec{v}) = -2 \Pi \nabla \cdot \vec{u} - \Gamma + \varepsilon \frac{D}{3\rho}$$

$$\rho W = \frac{1}{2} \rho \vec{v}^2 + \frac{\Pi_{xx} + \Pi_{yy} + \Pi_{zz}}{2}$$

$$\Delta \Phi = 4\pi G(\rho + n)$$

# Столкновение галактик в полной модели

Образование  $H_2$  (*Khoperskov et al., 2013; Glover & Mac Low, 2007*)

$$\frac{dn_{H_2}}{dt} = R_{gr}(T)n_H(n_H + 2n_{H_2}) - \left( \xi_H + \xi_{diss}(N_{H_2}, A_V) \right) n_{H_2}$$

Звездообразование (*Katz et al., 1996*)

$$T < 10^4 K \quad " \cdot \vec{u} < 0 \quad \rho > 1.64 \frac{M_\odot}{pc^{-3}}$$

$$D = C\rho^{3/2} \sqrt{\frac{32G}{3\pi}}$$

Функция охлаждения  
(*Sutherland & Dopita, 1993*)

$$\Lambda \approx 10^{-22} n_H^2 cm^{-3} erg$$

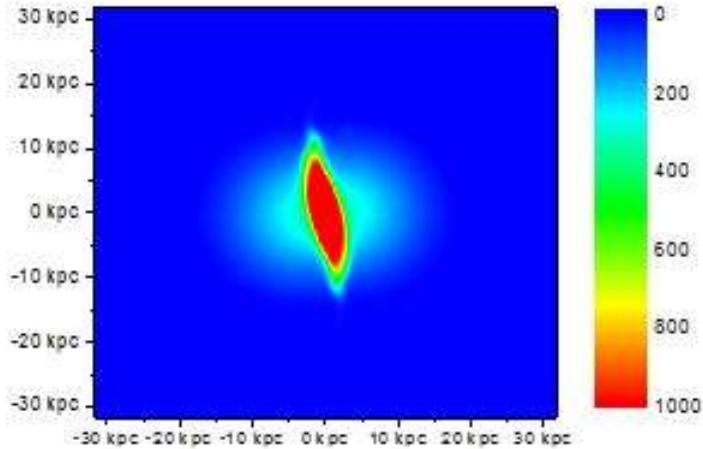
Сверхновые + нагревание  
(*Springel & Hernquist, 2003*)

$$S = \beta C n^{3/2} \sqrt{\frac{32G}{3\pi}}$$

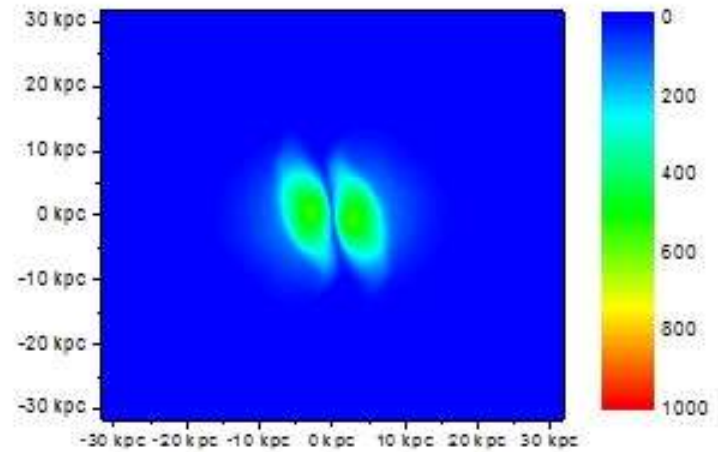
$$\Gamma = 10^{51} \frac{M^{SN}}{M_\odot} erg$$

# Столкновение галактик в полной модели

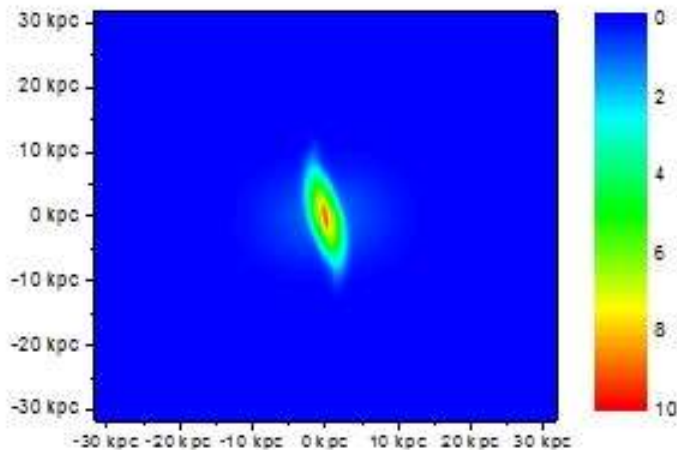
## Газ ( $H + H_2$ )



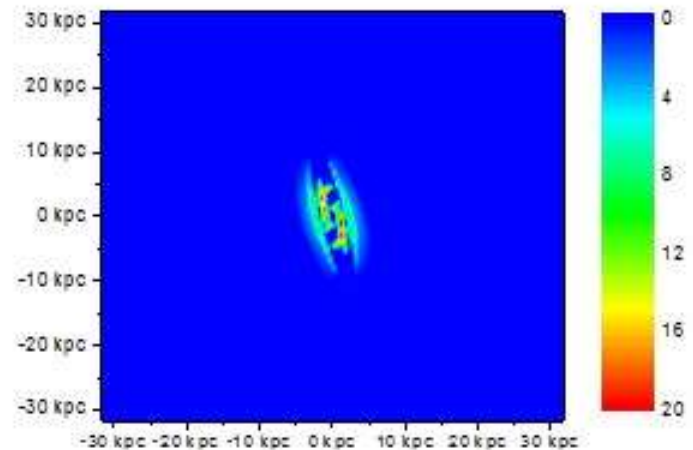
## Звезды и темная материя



## Молекулярный водород

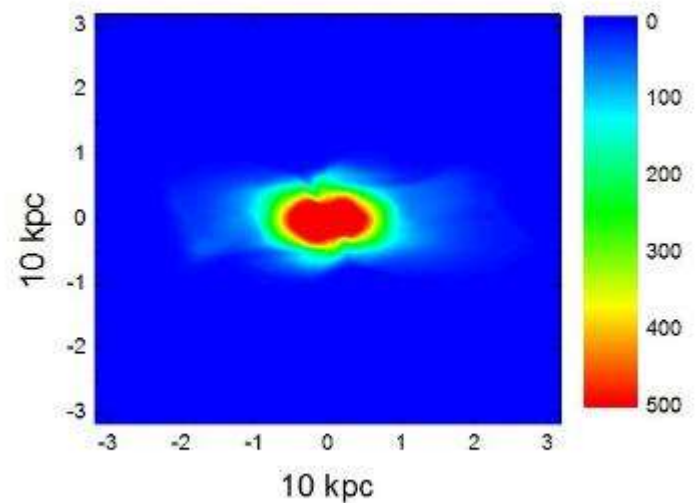
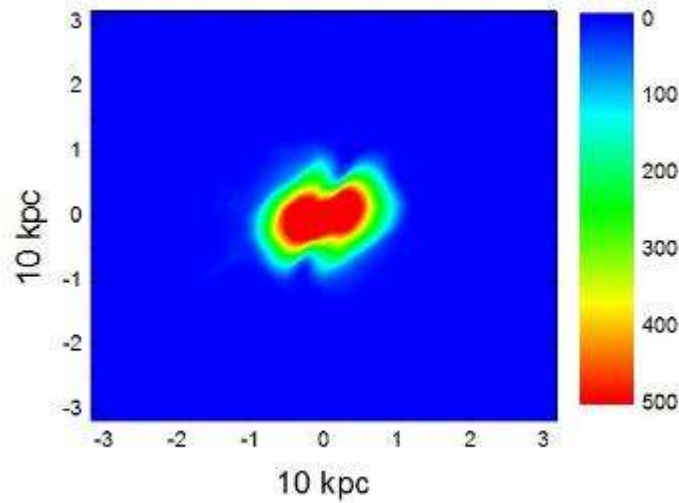
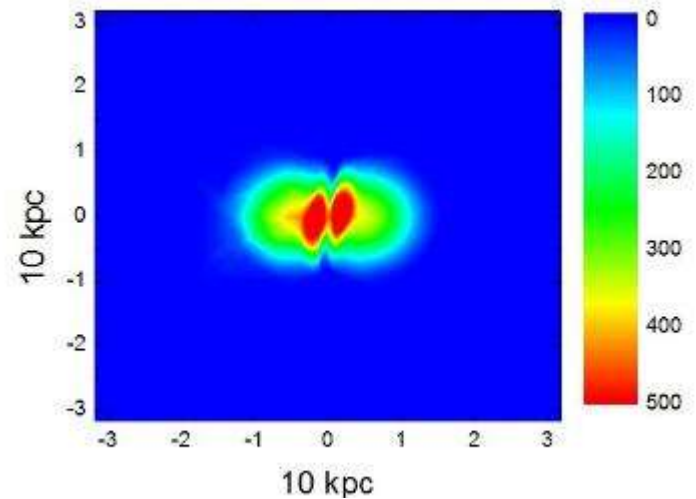
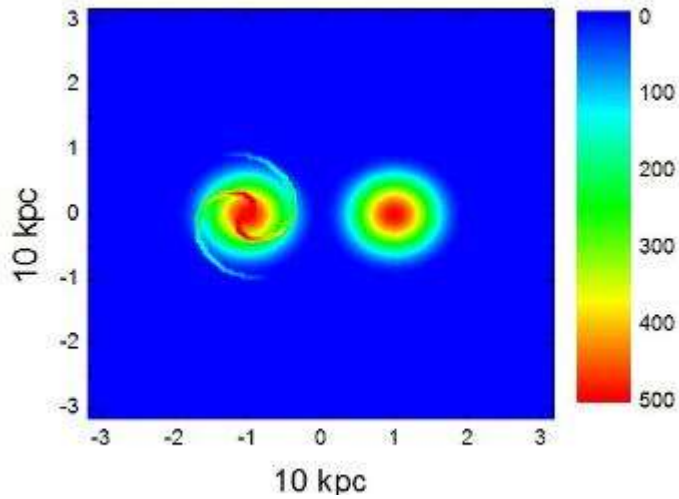


## Скорость звездообразования



# Столкновение галактик в полной модели.

## Столкновение E и S галактик

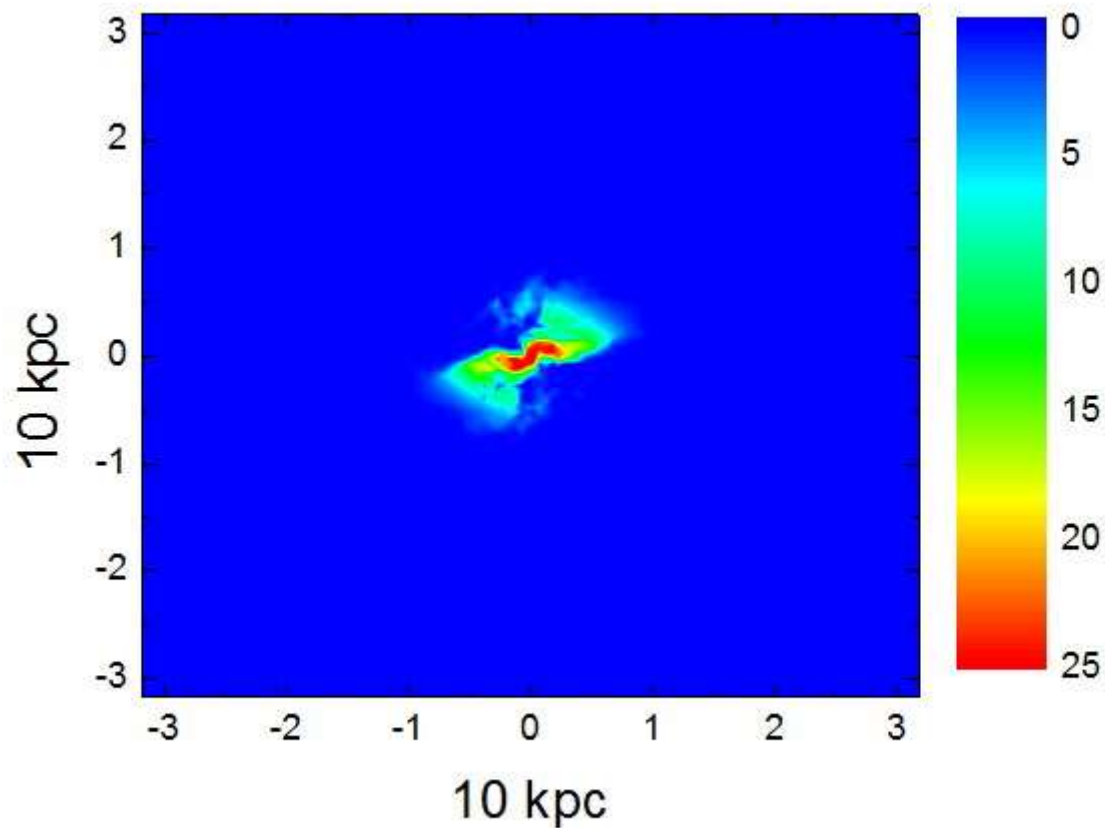




# Столкновение галактик в полной модели.

## Столкновение E и S галактик

(область активного звездообразования в форме спирали)



# Моделирование образования спиральных рукавов

Модель:

*изотермическая гравитационная газовая динамика*

Модель Гало:

*аналитический NFW-профиль*

Профиль диска:

*равновесная вращающаяся конфигурация*

Масса диска:

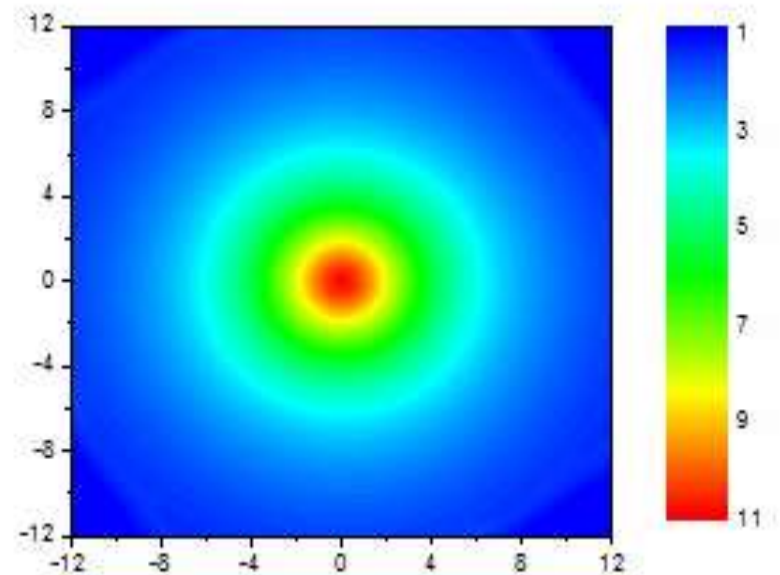
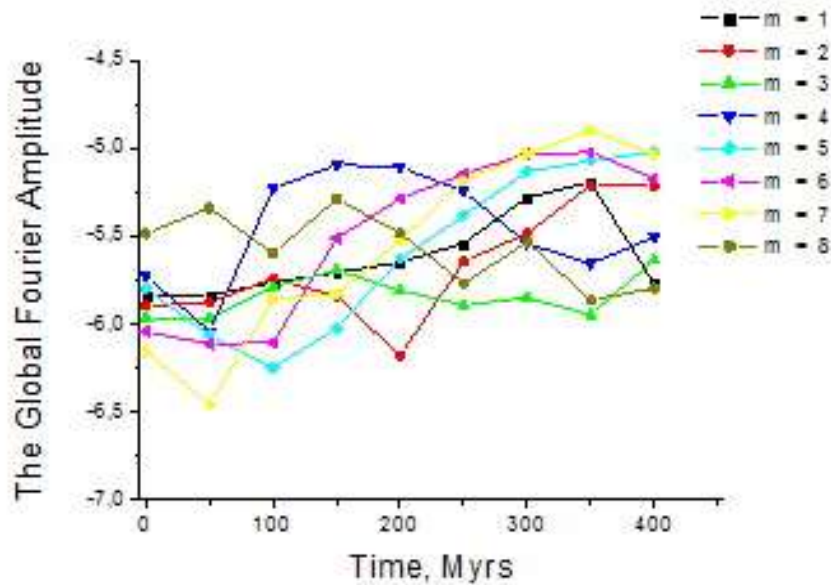
$10^9 M_{\odot}$

Сценарии:

*устойчивая конфигурация  
двурукавная конфигурация  
четырёхрукавная конфигурация  
семирукавная конфигурация*

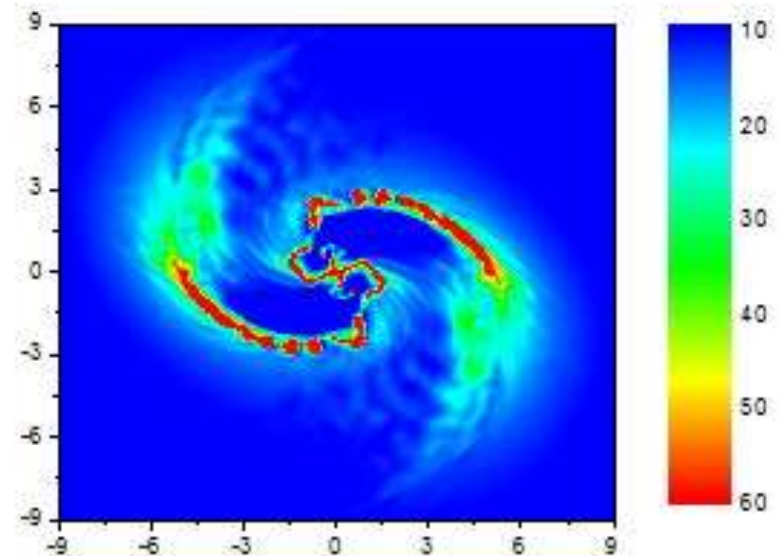
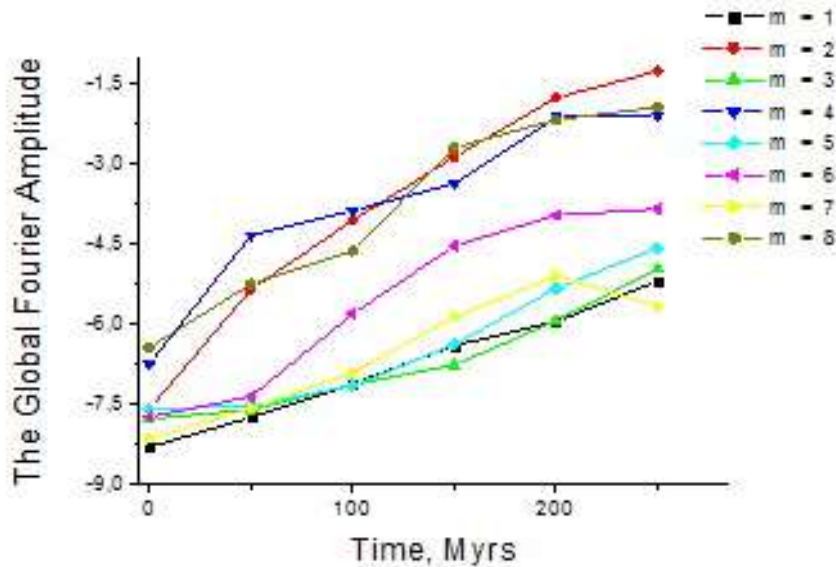
# Моделирование образования спиральных рукавов

Модель: изотермическая гравитационная газовая динамика  
Модель Гало: аналитический NFW-профиль  
Профиль диска: равновесная вращающаяся конфигурация  
Масса диска:  $10^9 M_{\odot}$   
Сценарий: устойчивая конфигурация



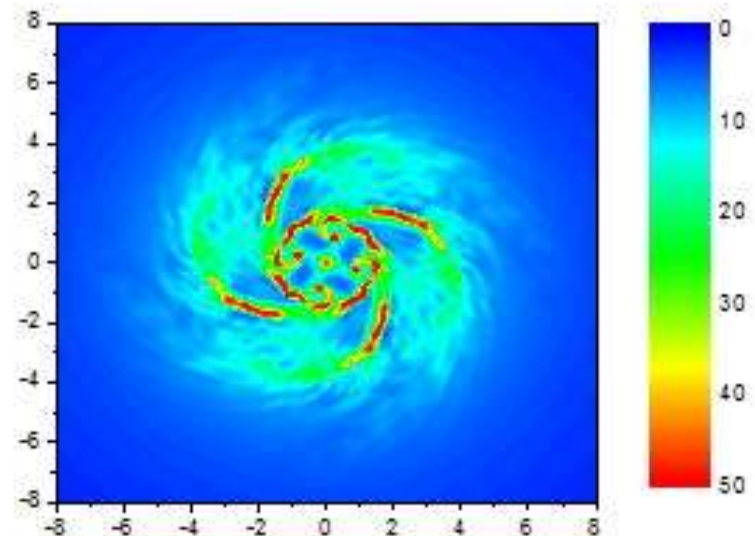
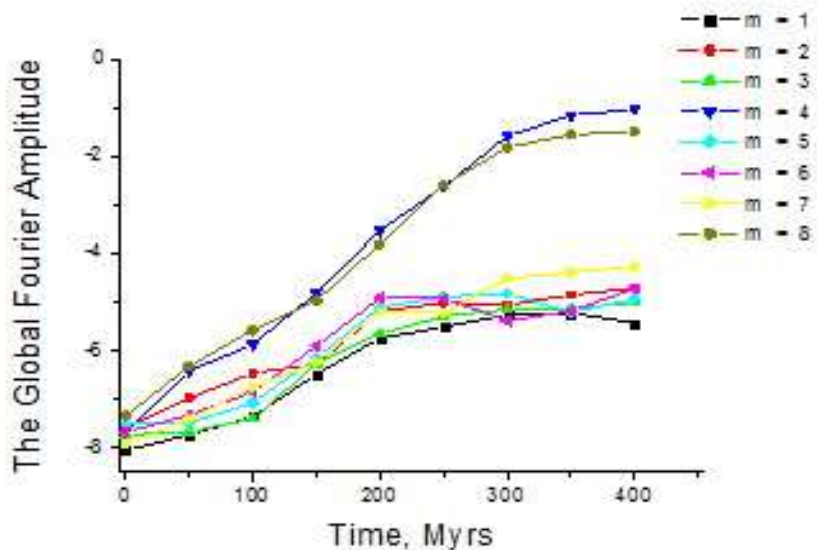
# Моделирование образования спиральных рукавов

**Модель:** изотермическая гравитационная газовая динамика  
**Модель Гало:** аналитический NFW-профиль  
**Профиль диска:** равновесная вращающаяся конфигурация  
**Масса диска:**  $10^9 M_{\odot}$   
**Сценарий:** неустойчивость, развитие двух рукавов  
(массивный диск  $\sim 17\%$  массы Гало)



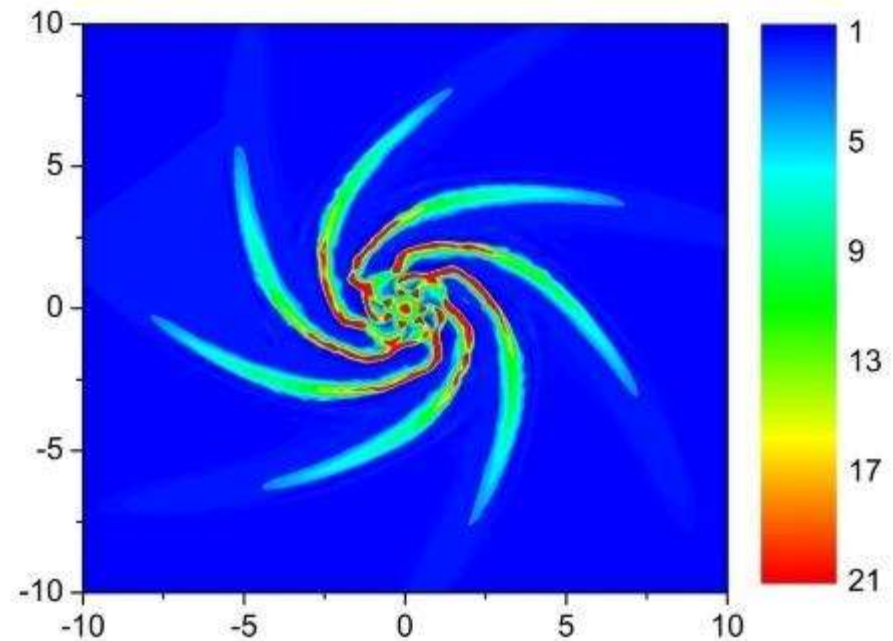
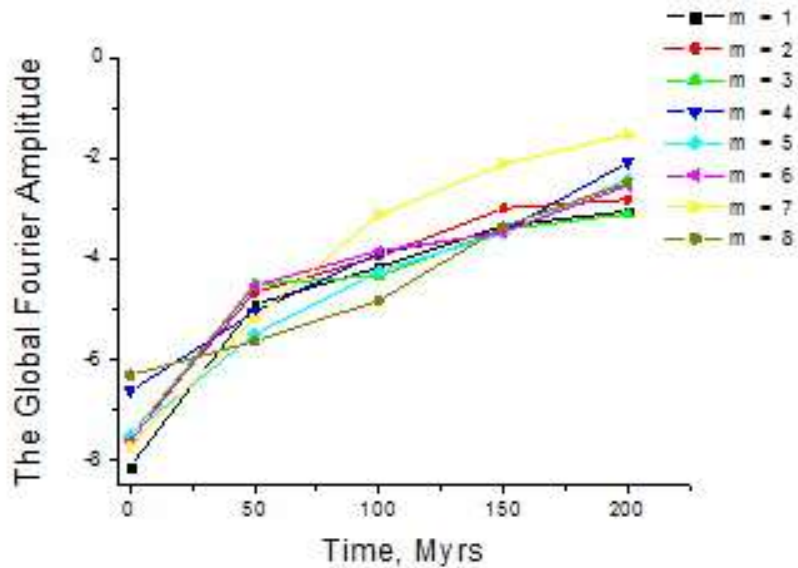
# Моделирование образования спиральных рукавов

**Модель:** изотермическая гравитационная газовая динамика  
**Модель Гало:** аналитический NFW-профиль  
**Профиль диска:** равновесная вращающаяся конфигурация  
**Масса диска:**  $10^9 M_{\odot}$   
**Сценарий:** неустойчивость, развитие четырёх рукавов  
(диск средней массы  $\sim 7\%$  массы Гало)

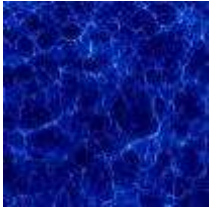


# Моделирование образования спиральных рукавов

Модель: изотермическая гравитационная газовая динамика  
Модель Гало: аналитический NFW-профиль  
Профиль диска: равновесная вращающаяся конфигурация  
Масса диска:  $10^9 M_{\odot}$   
Сценарий: неустойчивость, развитие семи рукавов (легкий диск  $\sim 2\%$  массы Гало)



# Масштабы астрофизических объектов



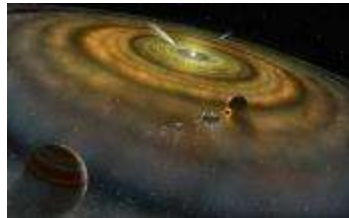
Космологические масштабы



Масштабы галактик



Молекулярные облака

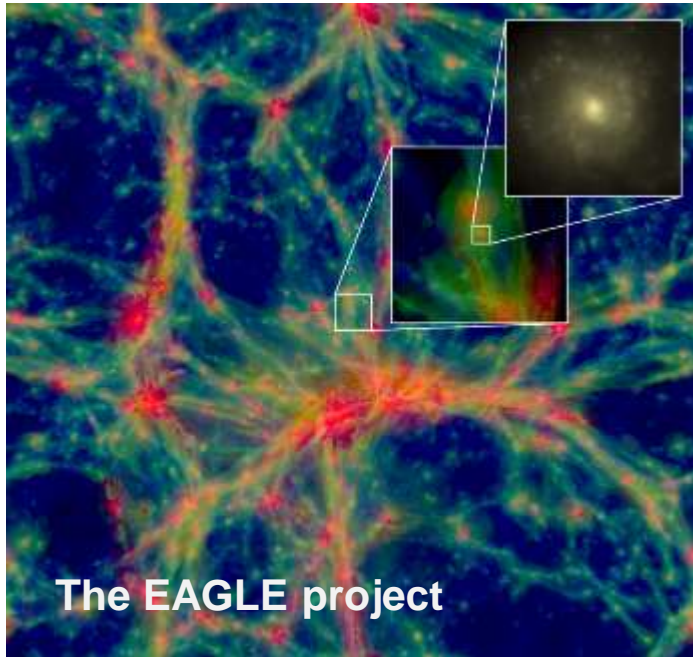


Планетные системы



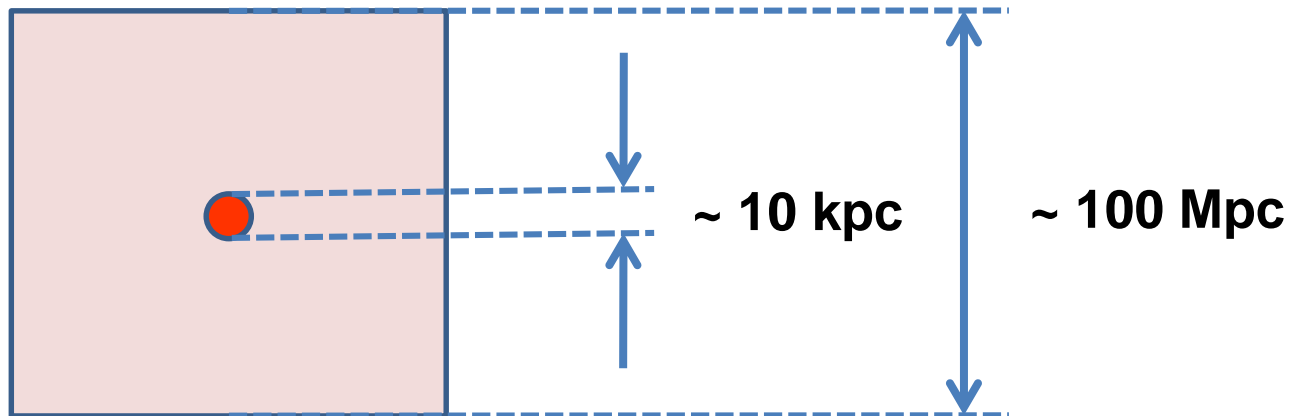
Импактные события

# Космологическое моделирование



## Процессы:

- Охлаждение/нагревание
- Звездообразование
- Эффект взрыва supernova
- Химические реакции





# Космологическое моделирование

## Гидродинамика

$$\frac{\partial \rho}{\partial t} + \frac{1}{a} \dot{\rho} \cdot (\rho \vec{u}) = 0$$

$$\frac{\partial \rho_i}{\partial t} + \frac{1}{a} \dot{\rho}_i \cdot (\rho_i \vec{u}) = s_i$$

$$\frac{\partial \rho \vec{u}}{\partial t} + \frac{1}{a} \dot{\rho} \cdot (\rho \vec{u} \vec{u}) = -\frac{1}{a} \dot{p} - \frac{a'}{a} \rho \vec{u} - \frac{\rho}{a^2} \dot{\Phi}$$

$$\frac{\partial \rho \varepsilon}{\partial t} + \frac{1}{a} \dot{\rho} \cdot (\rho \varepsilon \vec{u}) = -\frac{1}{a} (\gamma - 1) \rho \dot{\varepsilon} \cdot (\vec{u}) - 2 \frac{a'}{a} \rho \varepsilon + \Gamma - \Lambda$$

$$\frac{\partial \rho E}{\partial t} + \frac{1}{a} \dot{\rho} \cdot (\rho E \vec{u}) = -\frac{1}{a} \dot{p} \cdot (\vec{u}) - 2 \frac{a'}{a} \rho E - \frac{1}{a^2} (\rho \vec{u}, \dot{\Phi}) + \Gamma - \Lambda$$

## Расширение по закону Хаббла

$$\frac{da}{dt} = H \sqrt{\Omega_M (a^{-1} - 1) + \Omega_\Lambda (a^2 - 1) + 1}$$

# Космологическое моделирование

## Бесстолкновительная компонента (звезды и темная материя)

$$\frac{\partial n}{\partial t} + \frac{1}{a} \cdot (n\vec{v}) = 0$$

$$\frac{\partial n\vec{v}}{\partial t} + \frac{1}{a} \cdot (n\vec{v}\vec{v}) = -\frac{1}{a} \cdot (\Pi) - \frac{a'}{a} n\vec{v} - \frac{n}{a^2} \Phi$$

$$\frac{\partial \Pi_{xx}}{\partial t} + \frac{1}{a} \cdot (\Pi_{xx} \vec{v}) = -\frac{2}{a} \Pi_{xx} \frac{\partial v_x}{\partial x} - 2 \frac{a'}{a} \Pi_{xx}$$

$$\frac{\partial \Pi_{yy}}{\partial t} + \frac{1}{a} \cdot (\Pi_{yy} \vec{v}) = -\frac{2}{a} \Pi_{yy} \frac{\partial v_y}{\partial y} - 2 \frac{a'}{a} \Pi_{yy}$$

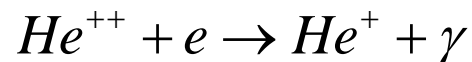
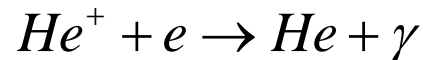
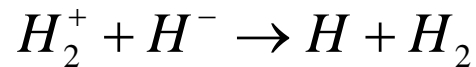
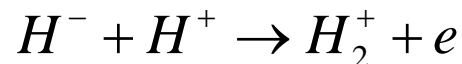
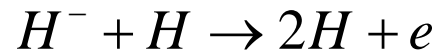
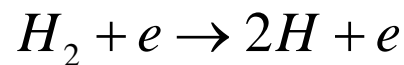
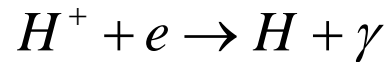
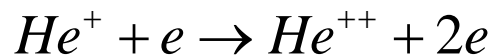
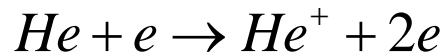
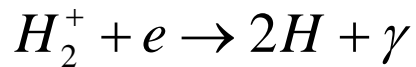
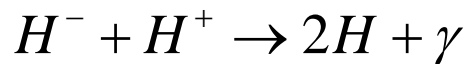
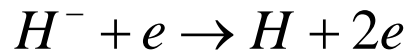
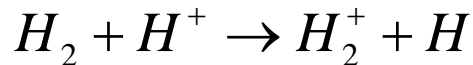
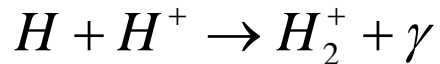
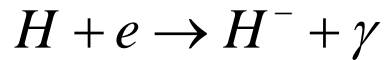
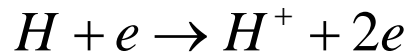
$$\frac{\partial \Pi_{zz}}{\partial t} + \frac{1}{a} \cdot (\Pi_{zz} \vec{v}) = -\frac{2}{a} \Pi_{zz} \frac{\partial v_z}{\partial z} - 2 \frac{a'}{a} \Pi_{zz}$$

$$\frac{\partial nW}{\partial t} + \frac{1}{a} \cdot (nW\vec{v}) = -\frac{1}{a} \cdot (\Pi\vec{v}) - 2 \frac{a'}{a} nW - \frac{1}{a^2} (n\vec{v}, \Phi)$$

$$\Delta\Phi = 4\pi G \left( (\rho + n) - (\rho + n)_0 \right)$$

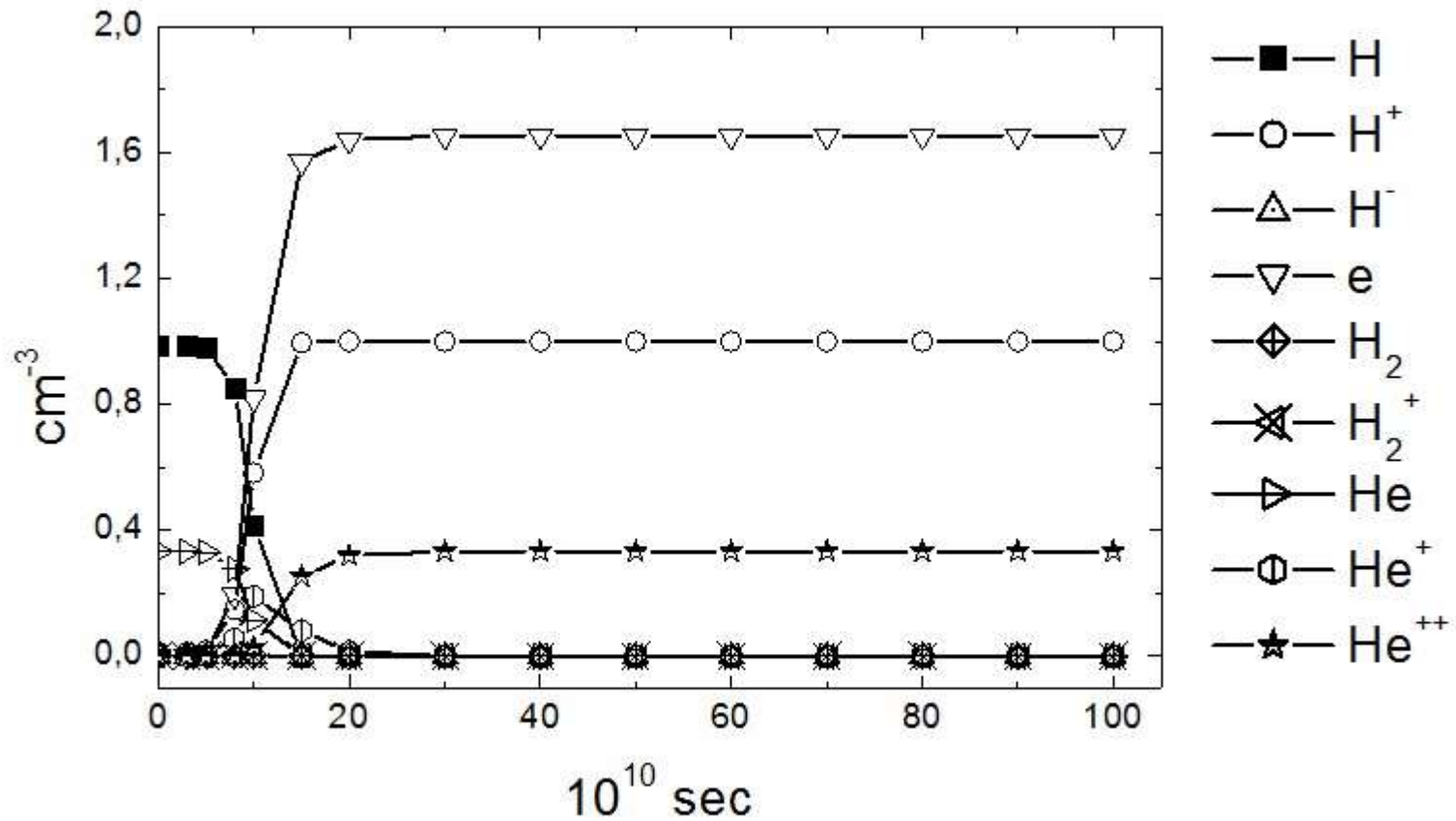
# Космологическое моделирование

## Химические реакции

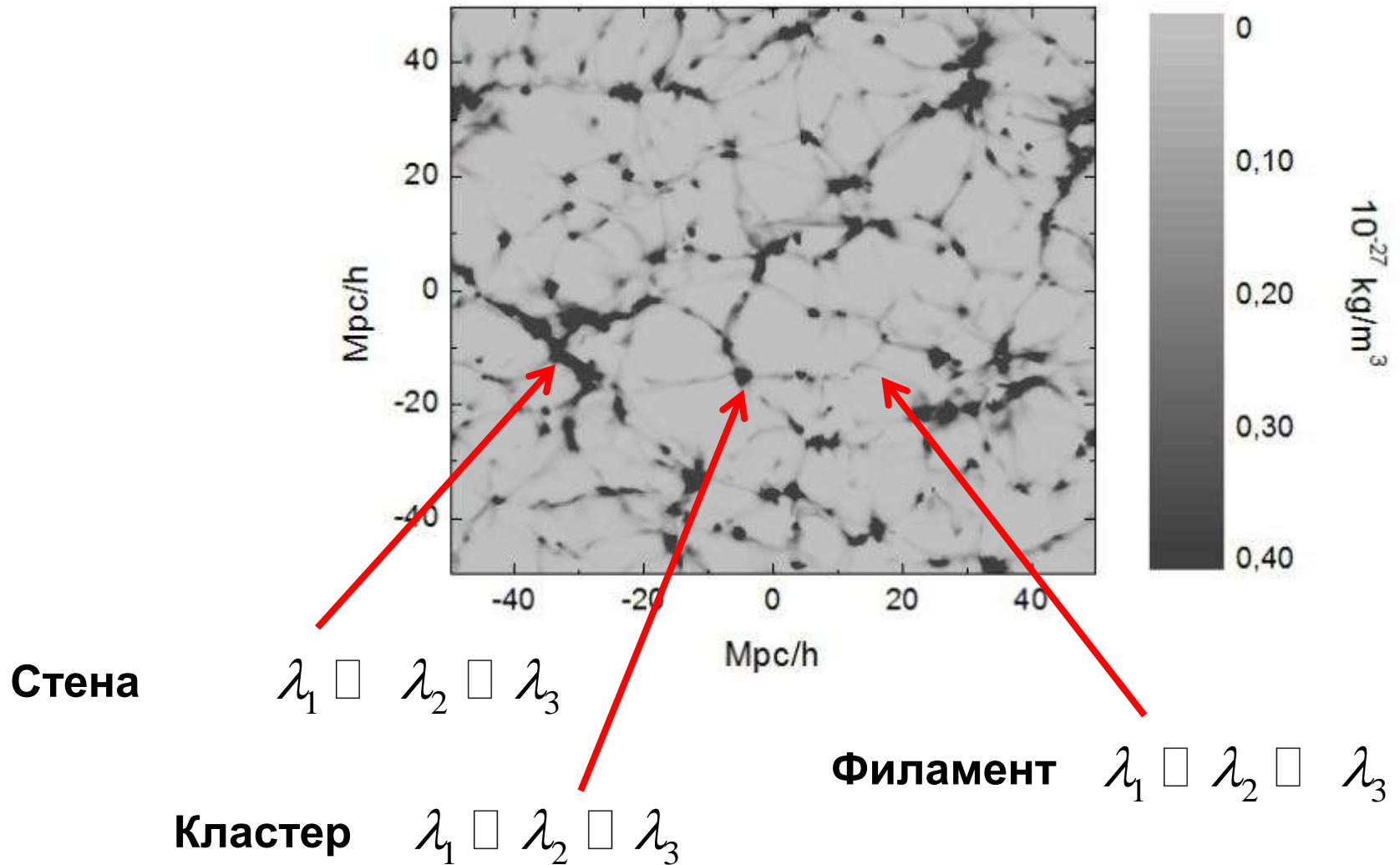


# Космологическое моделирование

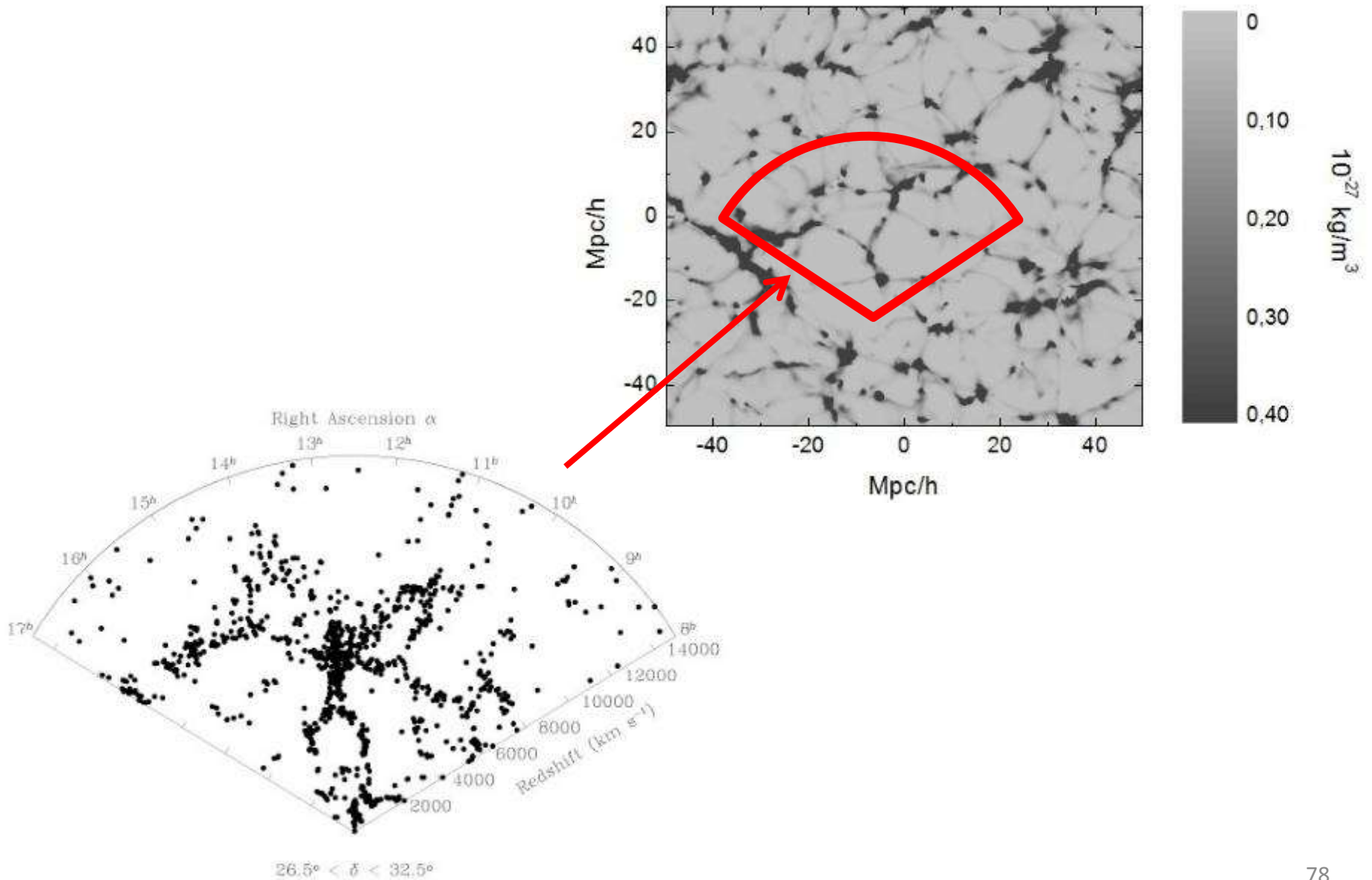
## Химические реакции



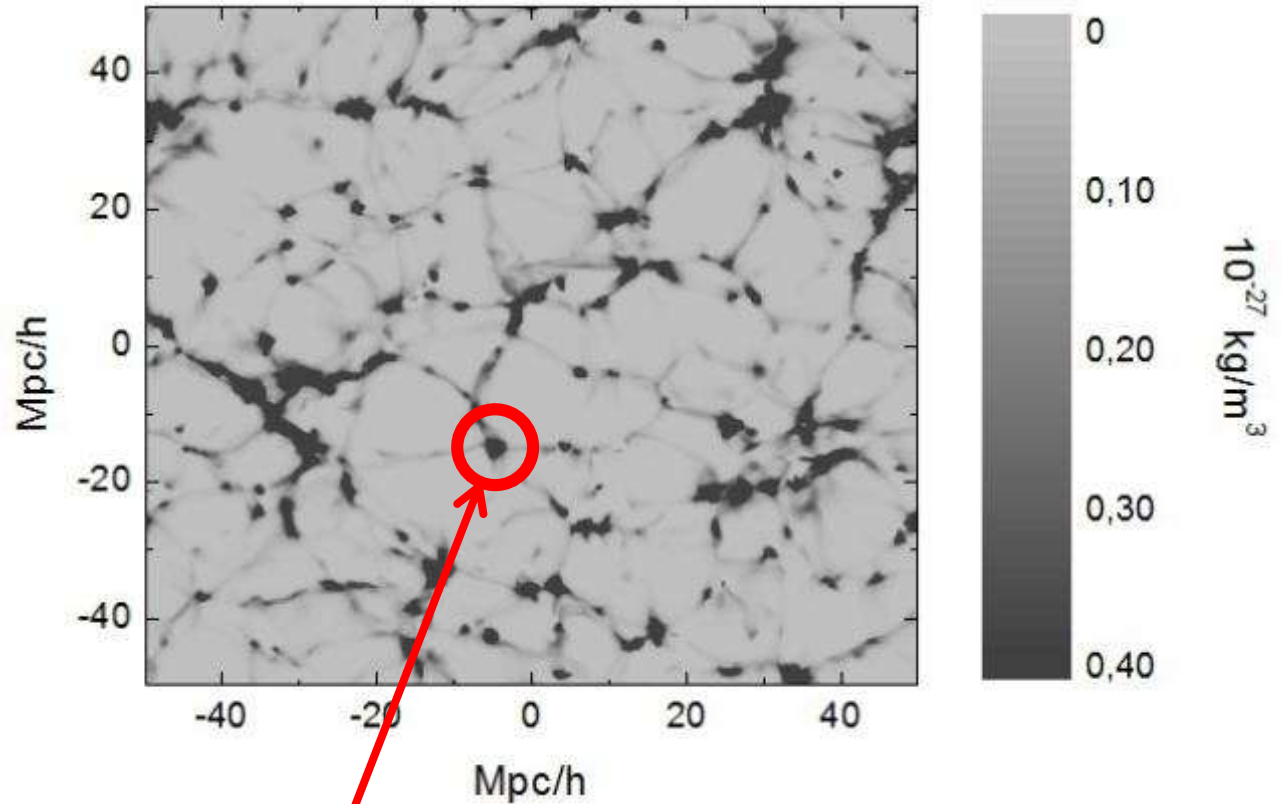
# Космологическое моделирование



# Космологическое моделирование



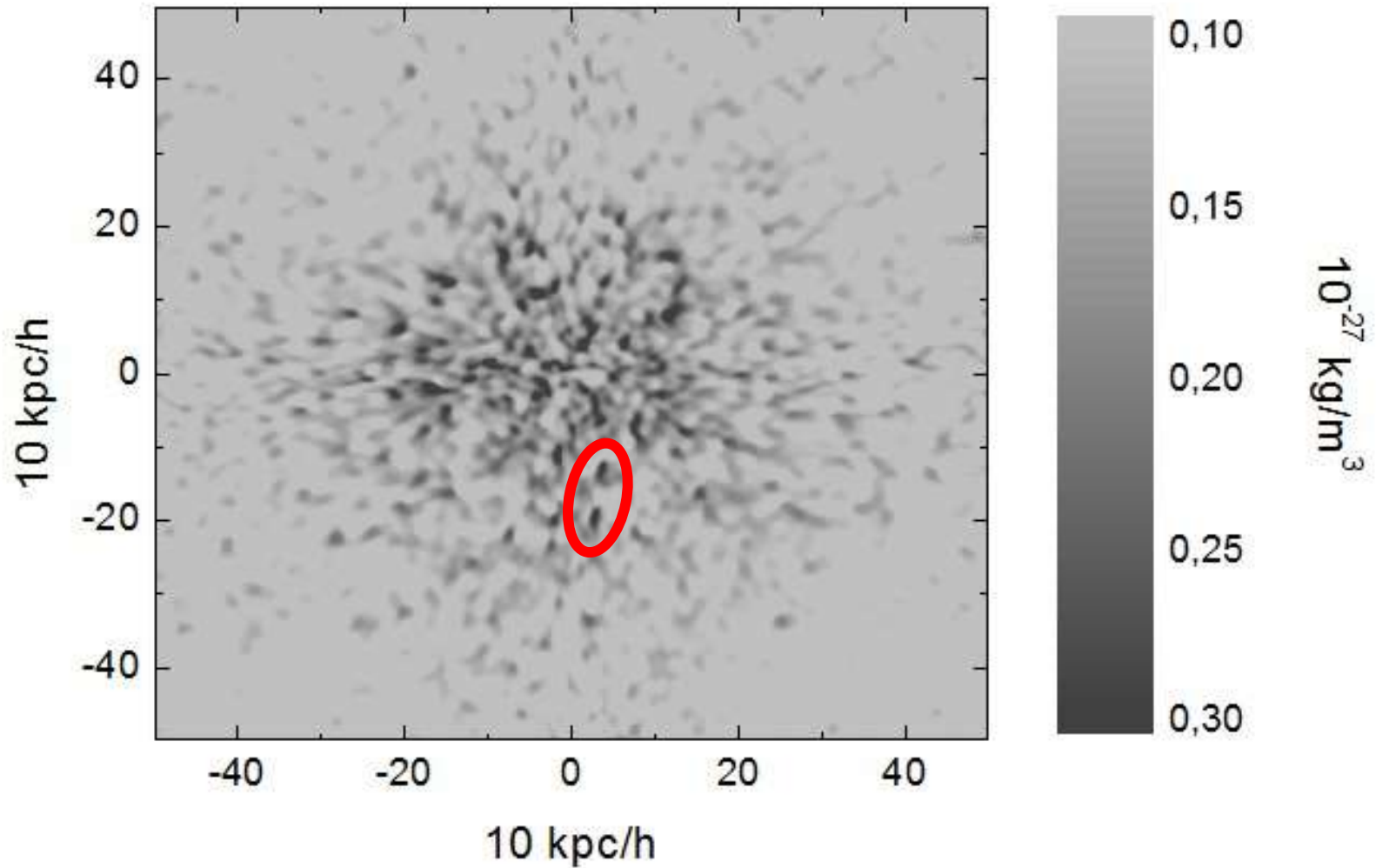
# Космологическое моделирование. Моделирование скопления галактик



Кластер

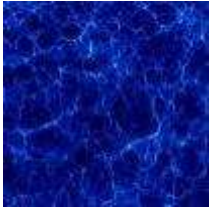
$\lambda_1$   $\lambda_2$   $\lambda_3$

# Космологическое моделирование. Моделирование скопления галактик





# Масштабы астрофизических объектов



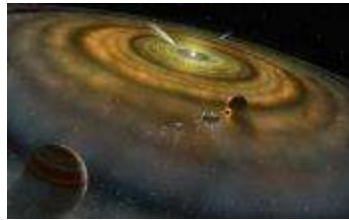
Космологические масштабы



Масштабы галактик



Молекулярные облака



Планетные системы



Импактные события

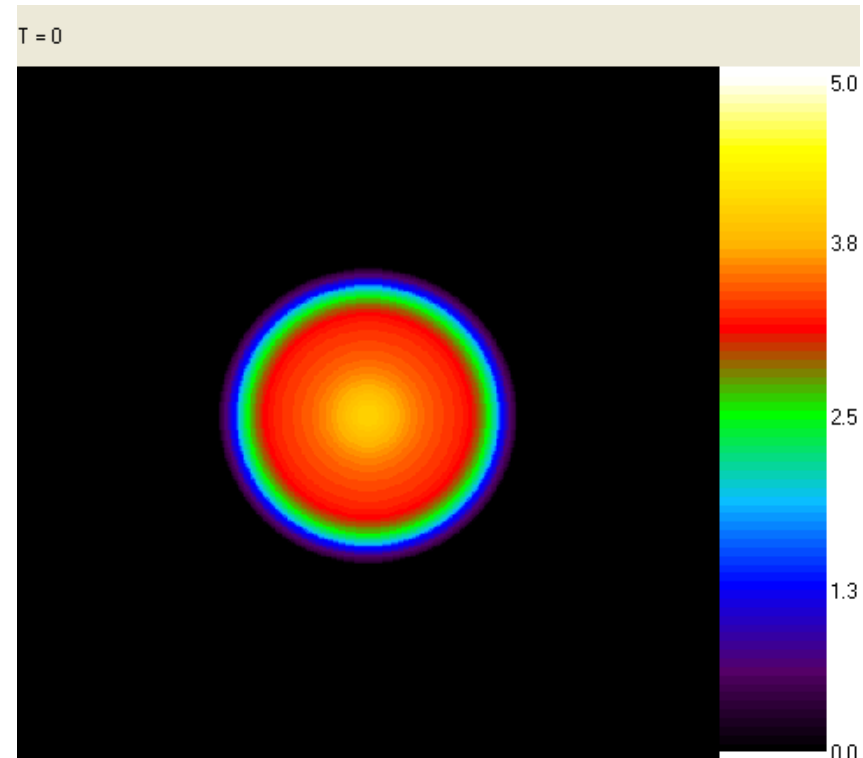
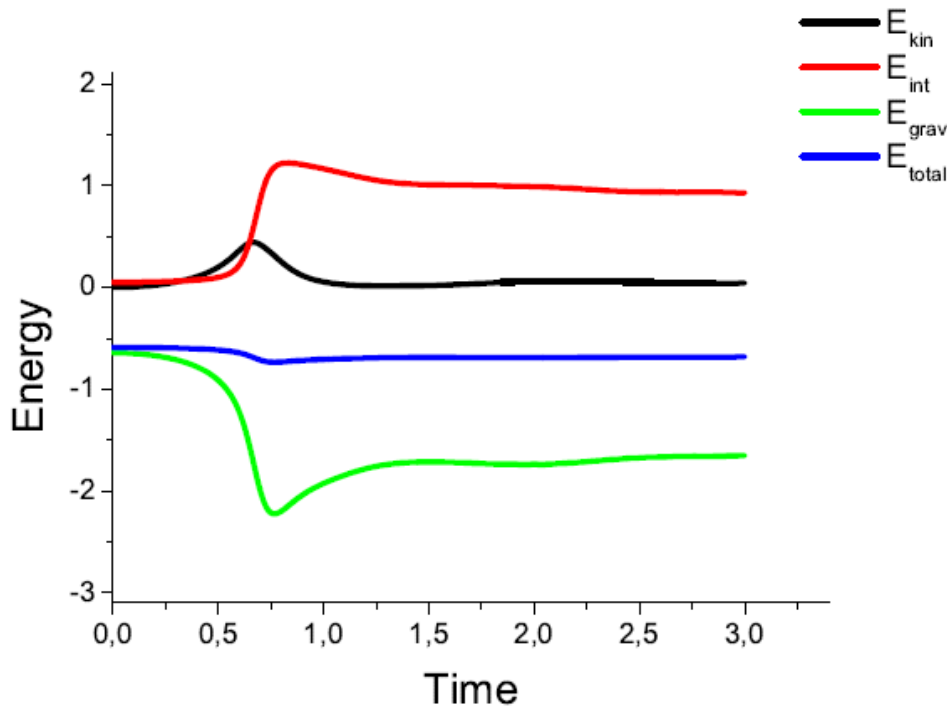
# Коллапс Эврарда

Радиус сферы = 1

Скорость = 0

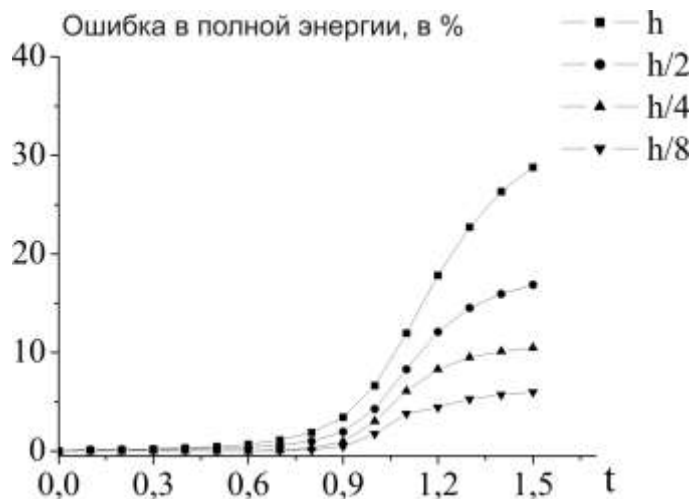
Профиль плотности  $\sim 1/r$

Профиль давления  $\sim 1/r$



# Задачи коллапса астрофизических объектов

## Сжатие не вращающегося газового облака (сравнение с SPH [1])



## Сжатие вращающегося молекулярного облака [2]

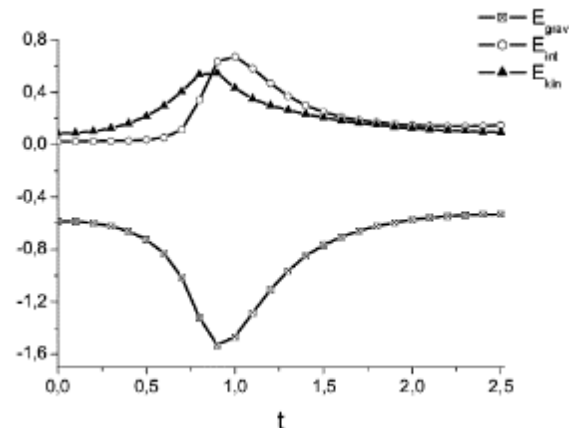
$$M = 10^7 M_{\odot}$$

$$R = 100 \text{ pc}$$

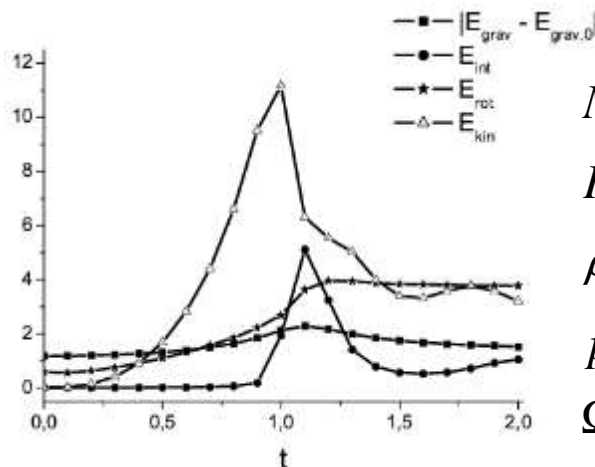
$$\rho(r) \sim 1/r$$

$$c = 3.8 \text{ km/sec}$$

$$\Omega_0 = 21 \text{ km/sec}$$



## Сжатие быстро вращающегося газового облака [3]



$$M = 3.457 \times 10^{30} \text{ kg}$$

$$R = 3.81 \times 10^{14} \text{ m}$$

$$\rho(r) \sim 1$$

$$p = 0.1548 \times 10^{-10} \text{ H/m}^2$$

$$\Omega_0 = 2.008 \text{ rad/sec}$$

[1] Vshivkov V., Lazareva G., Snytnikov A., Kulikov I. Supercomputer Simulation of an Astrophysical Object Collapse by the Fluids-in-Cell Method // LNCS. 2009. Vol. 5698. P.414--422.

[2] Kulikov I.M., Chernykh I.G., Snytnikov A.V., Glinskiy B.M., Tutukov A.V. AstroPhi: A code for complex simulation of dynamics of astrophysical objects using hybrid supercomputers // Computer Physics Communications. - 2015. - V. 186. - P. 71-80.

[3] Куликов И.М., Черных И.Г., Глинский Б.М. AstroPhi: программный комплекс для моделирования динамики астрофизических объектов на гибридных суперЭВМ, оснащенных ускорителями Intel Xeon Phi // Вестник ЮУрГУ. - 2013. - Т. 2, Вып. 4. - С. 57-79.

# Процесс звездообразования и магнитное поле

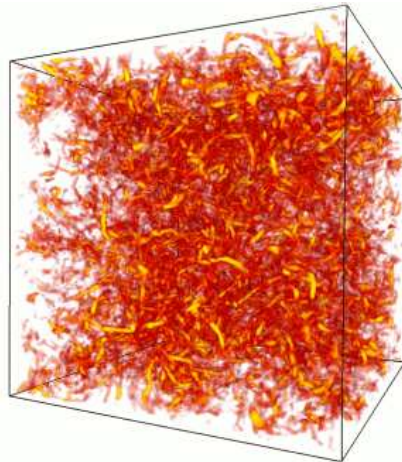
~~Stars form from Gas~~

~~Stars form from Molecular Gas~~

from Magnetically Supercritical Molecular  
tion is slow:  $\epsilon_{\text{ff}} \sim 0.01-0.05$  from  $n_{\text{H}}$  up to  
maps due to turbulence or magnetic supp  
ormation is localized in  $\sim$ -parsec-sized star  
vs about the global dynamical timescale  
n triggered by converging flows in galact  
llisions can explain these local and globa  
gle, self-similar model of a star-forming,  
explain both disk galaxies and circumnu  
requires detailed comparison of detailed

## Summary points

- We are able to take magnetic fields into account in cosmological simulations of disc galaxy formation
- Disc galaxies with magnetic fields show a slight suppression of star formation and higher gas fraction
- Magnetic field strength saturates at  $10 \mu\text{G}$  in the center, declines to a few  $\mu\text{G}$  in outer regions of the disk
- Cosmic rays seem to be an important driver of galactic winds in small galaxies
- Bridging the gap more pressing than ever – there is a direct link from small-scale physics to cosmology!
- We need to step up our efforts to make full use of existing computing technology – and those of the future



# Метод решения уравнений магнитной газовой динамики

$$\frac{\partial \rho}{\partial t} + \frac{\partial(\rho v_x)}{\partial x} = 0$$

$$\frac{\partial p}{\partial t} + \frac{\partial(pv_x)}{\partial x} = -(\gamma - 1) p \frac{\partial v_x}{\partial x}$$

$$\frac{\partial(\rho v_y)}{\partial t} + \frac{\partial(\rho v_y v_x - B_y B_x)}{\partial x} = 0$$

$$\frac{\partial B_y}{\partial t} + \frac{\partial(B_y v_x - B_x v_y)}{\partial x} = 0$$

$$\frac{\partial(\rho v_z)}{\partial t} + \frac{\partial(\rho v_z v_x - B_z B_x)}{\partial x} = 0$$

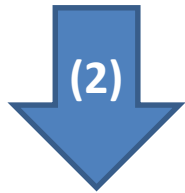
$$\frac{\partial B_z}{\partial t} + \frac{\partial(B_z v_x - B_x v_z)}{\partial x} = 0$$

$$\frac{\partial(\rho v_x)}{\partial t} + \frac{\partial(\rho v_x^2 - B_x^2)}{\partial x} = -\frac{\partial}{\partial x} \left( p + \frac{B_x^2 + B_y^2 + B_z^2}{2} \right)$$

$$\frac{\partial(\rho E)}{\partial t} + \frac{\partial \left( \left( \rho E + p + \frac{B_x^2 + B_y^2 + B_z^2}{2} \right) v_x - B_x (\vec{v}, \vec{B}) \right)}{\partial x} = 0$$

# Краткое описание численного метода

$$\frac{\partial Q}{\partial t} + \nabla \cdot (Q \cdot \vec{v}) = J(Q, \nabla Q) \quad \xrightarrow{(1)} \quad \frac{\partial Q}{\partial t} = J(Q, \nabla Q)$$



$$\frac{\partial Q}{\partial t} + \nabla \cdot (Q \cdot \vec{v}) = 0$$

**Задача Римана**

$$\frac{\partial u}{\partial t} + B \frac{\partial u}{\partial x} = 0 \quad B = R\Lambda L \quad LR = I$$

$$L \frac{\partial u}{\partial t} + LR\Lambda L \frac{\partial u}{\partial x} = 0 \quad w = Lu$$

$$\frac{\partial w}{\partial t} + \Lambda \frac{\partial w}{\partial x} = 0 \quad w(x, t) = w(x - \Lambda t) \quad u = Rw$$

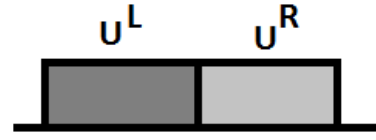
## Кусочно-параболические функции

(\*) Kulikov, et al., LNCS, 2009; APJS, 2011, 2014; AAABS, 2013; CPC 2015; JCP 2016

(\*\*) Ustyugov, Popov, Comp. Math. & Math. Phys., 2007, 2008, Comp. Phys., 2009

# Решение задачи Римана для МГД уравнений на эйлеровом этапе метода

$$\frac{\partial}{\partial t} \begin{pmatrix} v_x \\ v_y \\ v_z \\ B_y \\ B_z \\ p \end{pmatrix} + \begin{pmatrix} 0 & 0 & 0 & \frac{B_y}{\rho} & \frac{B_z}{\rho} & \frac{1}{\rho} \\ 0 & 0 & 0 & -\frac{B_x}{\rho} & 0 & 0 \\ 0 & 0 & 0 & 0 & -\frac{B_x}{\rho} & 0 \\ B_y & -B_x & 0 & 0 & 0 & 0 \\ B_z & 0 & -B_x & 0 & 0 & 0 \\ \gamma p & 0 & 0 & 0 & 0 & 0 \end{pmatrix} \frac{\partial}{\partial x} \begin{pmatrix} v_x \\ v_y \\ v_z \\ B_y \\ B_z \\ p \end{pmatrix} = 0$$



$$\rho = \frac{\rho^L \sqrt{\rho^L} + \rho^R \sqrt{\rho^R}}{\sqrt{\rho^L} + \sqrt{\rho^R}}$$

$$p = \frac{p^L \sqrt{\rho^L} + p^R \sqrt{\rho^R}}{\sqrt{\rho^L} + \sqrt{\rho^R}}$$

$$c = \sqrt{\frac{\gamma p}{\rho}}$$

$$B_{[x,y,z]} = \frac{B_{[x,y,z]}^R \sqrt{\rho^L} + B_{[x,y,z]}^L \sqrt{\rho^R}}{\sqrt{\rho^L} + \sqrt{\rho^R}}$$

$$c_a = |b_x| = \left| \frac{B_x}{\sqrt{\rho}} \right|$$

$$v_{[x,y,z]} = \frac{v_{[x,y,z]}^L \sqrt{\rho^L} + v_{[x,y,z]}^R \sqrt{\rho^R}}{\sqrt{\rho^L} + \sqrt{\rho^R}}$$

$$c_{f,s} = \sqrt{\frac{(c^2 + b^2) \pm \sqrt{(c^2 + b^2)^2 - 4c^2 c_a^2}}{2}}$$

$$(\beta_y, \beta_z) = \begin{cases} \left( \frac{B_y, B_z}{\sqrt{B_y^2 + B_z^2}} \right), & B_y^2 + B_z^2 \neq 0 \\ \left( \frac{1}{\sqrt{2}}, \frac{1}{\sqrt{2}} \right), & B_y^2 + B_z^2 = 0 \end{cases}$$

$$(\alpha_f, \alpha_s) = \begin{cases} \left( \frac{(\sqrt{c^2 - c_s^2}, \sqrt{c_f^2 - c^2})}{\sqrt{c_f^2 - c_s^2}} \right), & B_y^2 + B_z^2 \neq 0 \text{ or } \gamma p \neq B_x^2 \\ \left( \frac{1}{\sqrt{2}}, \frac{1}{\sqrt{2}} \right), & B_y^2 + B_z^2 = 0 \text{ and } \gamma p = B_x^2 \end{cases}$$

# Процедура построения параболы в случае МГД уравнений

Приведем подробную процедуру построения параболы и параметров  $q_i^R$ ,  $q_i^L$ ,  $\Delta q_i$ ,  $q_i^{(6)}$ . Для определенности будем конструировать кусочно-параболическую функцию произвольного параметра  $q(x)$  на регулярной сетке с шагом  $h$ , на интервале  $[x_{i-1/2}, x_{i+1/2}]$ . В общем виде парабола может быть записана как:

$$q(x) = q_i^L + \xi \left( \Delta q_i + q_i^{(6)}(1 - \xi) \right)$$

где  $q_i$  – значение в центре ячейки,  $\xi = (x - x_{i-1/2})h^{-1}$ ,  $\Delta q_i = q_i^L - q_i^R$  и  $q_i^{(6)} = 6(q_i - 1/2(q_i^L + q_i^R))$  при условии сохранения консервативности, то есть:

$$q_i = h^{-1} \int_{x_{i-1/2}}^{x_{i+1/2}} q(x) dx$$

Для конструирования значений  $q_i^R = q_{i+1}^L = q_{i+1/2}$  будем использовать интерполяционную функцию четвертого порядка точности:

$$q_{i+1/2} = 1/2(q_i + q_{i+1}) - 1/6(\delta q_{i+1} - \delta q_i)$$

где  $\delta q_i = 1/2(q_{i+1} - q_{i-1})$ . Далее опишем алгоритм получения локальной параболы. На вход алгоритма подаются значения в точках ячеек  $q_i$ . На выходе алгоритма определяются все параметры кусочно-параболических функций на всех интервалах  $[x_{i-1/2}, x_{i+1/2}]$ .



# Процедура построения параболы в случае МГД уравнений

**Шаг 1.** На первом шаге мы конструируем значения  $\delta q_i = 1/2(q_{i+1} - q_{i-1})$ . Для этого нам необходимо знание только соседних ячеек  $q_{i+1}, q_{i-1}$ . Для избежания экстремумов функций используем модификацию последней формулы для  $\delta q_i$  в виде:

$$\delta_m q_i = \begin{cases} \min(|\delta q_i|, 2|q_{i+1} - q_i|, 2|q_i - q_{i-1}|) \text{sign}(\delta q_i), \\ \quad (q_{i+1} - q_i)(q_i - q_{i-1}) > 0 \\ 0, (q_{i+1} - q_i)(q_i - q_{i-1}) \leq 0 \end{cases}$$

В случае параллельной реализации на архитектурах с распределенной памятью мы должны сделать обмены одного слоя перекрытия расчетной области средствами MPI. После чего пересчитываем значения на границе с помощью интерполянта четвертого порядка точности:

$$q_i^R = q_{i+1}^L = q_{i+1/2} = 1/2(q_i + q_{i+1}) - 1/6(\delta_m q_{i+1} - \delta_m q_i)$$

# Процедура построения параболы в случае МГД уравнений

**Шаг 2.** На втором шаге алгоритма мы начинаем конструировать самую локальную параболу с помощью формулы:

$$\Delta q_i = q_i^L - q_i^R$$

$$q_i^{(6)} = 6(q_i - 1/2(q_i^L + q_i^R))$$

В случае немонотонности локальной параболы (такое имеет место на разрывах) мы перестраиваем значения на границах  $q_i^L, q_i^R$  по формулам:

$$q_i^L = q_i, q_i^R = q_i, (q_i^L - q_i)(q_i - q_i^R) \leq 0$$

$$q_i^L = 3q_i - 2q_i^R, \Delta q_i q_i^{(6)} > (\Delta q_i)^2$$

$$q_i^R = 3q_i - 2q_i^L, \Delta q_i q_i^{(6)} < -(\Delta q_i)^2$$

Таким образом, граничные значения удовлетворяют условиям монотонности.

# Процедура построения параболы в случае МГД уравнений

**Шаг 3.** На третьем шаге перестроим параметры параболы с учетом новых значений на границах ячеек:

$$\Delta q_i = q_i^L - q_i^R$$
$$q_i^{(6)} = 6(q_i - 1/2(q_i^L + q_i^R))$$

В результате локальная парабола в каждой ячейке  $[x_{i-1/2}, x_{i+1/2}]$  получена. Стоит отметить, что параболы могут иметь разрыв на границах ячеек, что в случае использования классического кусочно-параболического метода (PPM) приводит к необходимости решения задачи Римана для парабол. В нашем случае локальные параболы используются как составная часть задачи Римана.

# Процедура построения параболы в случае МГД уравнений

**Шаг 4.** На четвертом шаге происходит дополнительная монотонизация параболы. Если мы находимся в области разрыва рассматриваемой функции, тогда введется дополнительный подправки в параболу:

$$q_i^{L,+} = q_i - \frac{1}{4}\delta_m q_i \quad q_i^{R,+} = q_i + \frac{1}{4}\delta_m q_i$$

Вводим дополнительный критерий

$$\eta = -h^2 \frac{\delta_m^2 q_{i+1} - \delta_m^2 q_{i-1}}{q_{i+1} - q_{i-1}}$$

В случае если выполнено одно из следующих условий:

$$q_{i+1}q_{i-1} > 0 \quad |q_{i+1} - q_{i-1}| - \frac{1}{100} \min(|q_{i+1}|, |q_{i-1}|, |q_{i+1}| + |q_{i-1}|) \leq 0$$

значений критерия  $\eta$  обнуляется. Вес, с которым будет браться в расчетную схему значения  $q_i^{L,+}$  и  $q_i^{R,+}$  определяется по формуле:

$$\hbar = \max(\min(20(\eta - 0.05), 1), 0)$$

Итоговые значения потоков на границе вычисляются по формулам:

$$q_i^{L,FINAL} = (1 - \hbar)q_i^{L,+} + \hbar q_i^L \quad q_i^{R,FINAL} = (1 - \hbar)q_i^{R,+} + \hbar q_i^R$$

# Использование схемы Рунге-Кутты для интегрирования по времени

$$\frac{\partial Q}{\partial t} + \nabla \cdot (Q \cdot \vec{v}) = J(Q, \nabla Q)$$

$$\frac{\partial Q}{\partial t} + \nabla \cdot (Q \cdot \vec{v}) = 0$$

$$\frac{\partial Q}{\partial t} = J(Q, \nabla Q)$$

$$\frac{dQ}{dt} = R$$

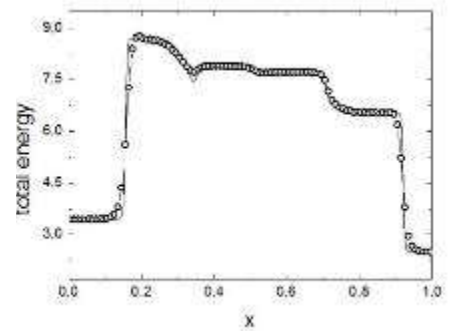
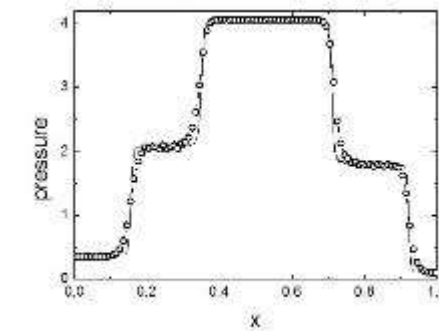
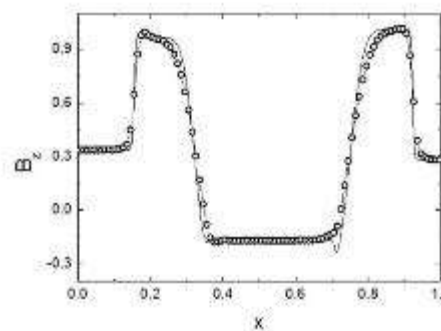
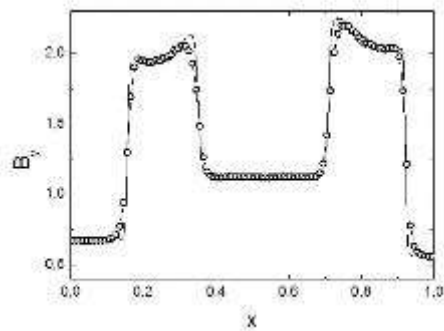
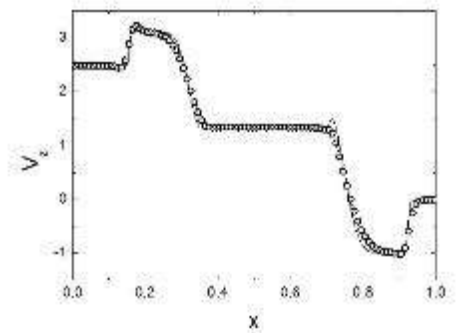
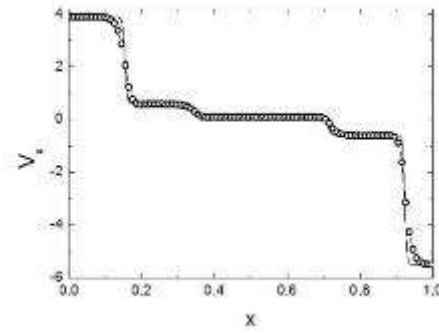
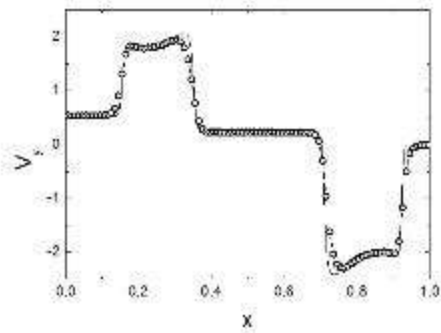
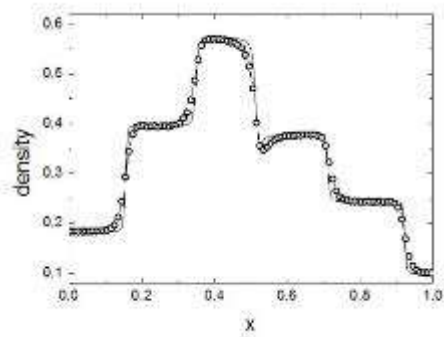
$$Q^{(n+1/3)} = Q^{(n)} + \tau R^{(n)}$$

$$Q^{(n+2/3)} = \frac{3}{4} Q^{(n)} + \frac{1}{4} Q^{(n+1/3)} + \frac{\tau}{4} R^{(n+1/3)}$$

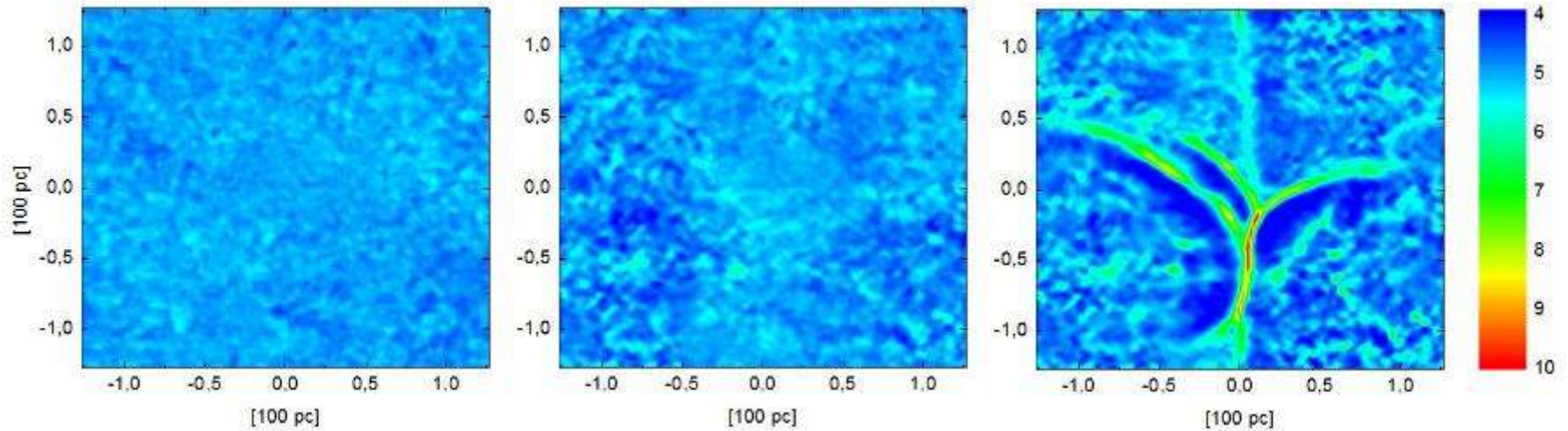
$$Q^{(n+1)} = \frac{1}{3} Q^{(n)} + \frac{2}{3} Q^{(n+2/3)} + \frac{2\tau}{3} R^{(n+2/3)}$$

# МГД ударная труба (Куликовский, Погорелов, Семенов, 2001)

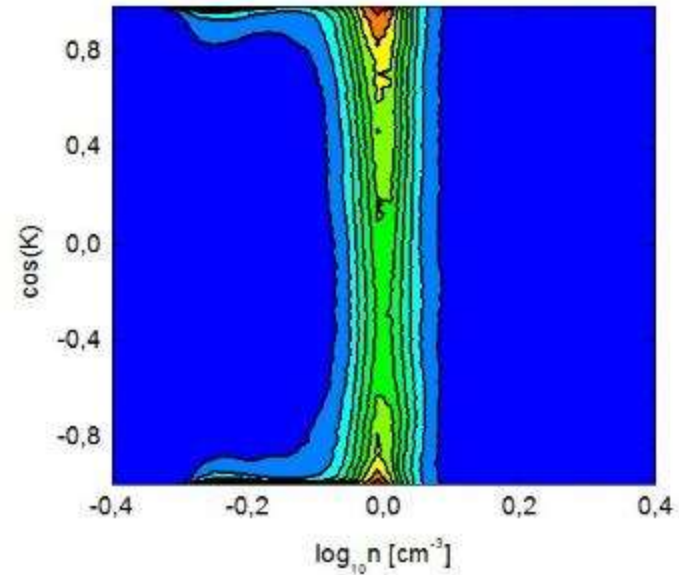
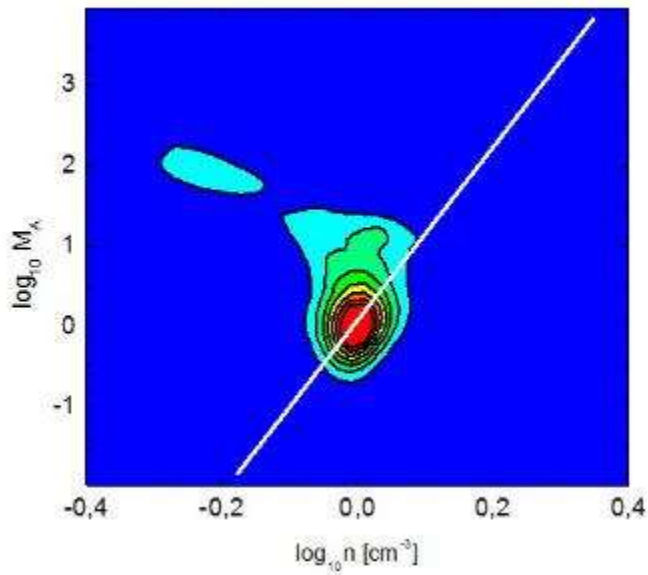
$$\left[ \rho, p, v_x, v_y, v_z, \sqrt{4\pi B_y}, \sqrt{4\pi B_z} \right] = \begin{cases} [0.18405, 0.3541, 3.8964, 0.5361, 2.4866, 2.394, 1.197], & x < 0.5 \\ [0.1, 0.1, -5.5, 0, 0, 2, 1], & \sqrt{4\pi B_x} \equiv 4 \quad t = 0.15 \quad x \geq 0.5 \end{cases}$$



# Развитие МГД турбулентности в межзвездной среде

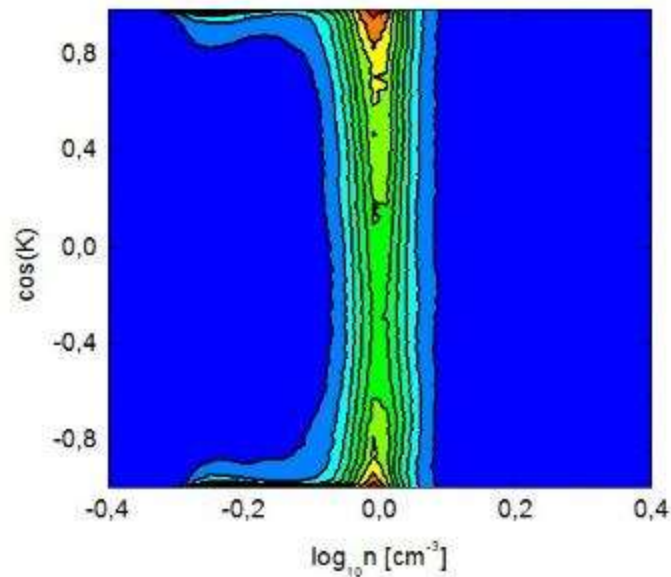
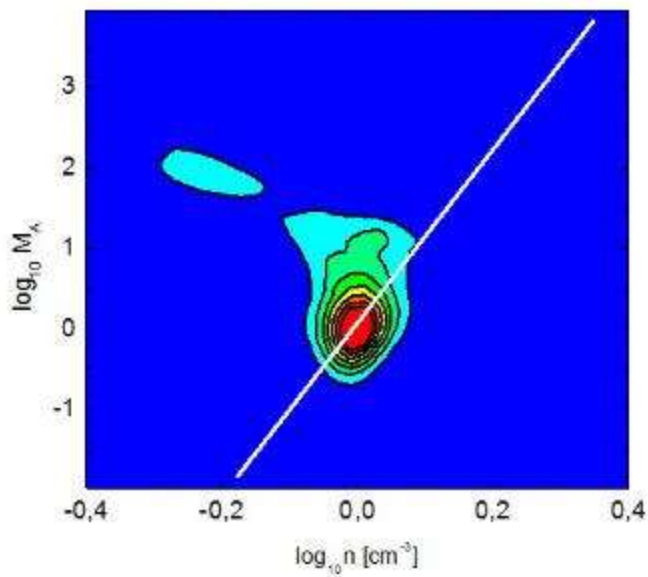


Плотность межзвездной среды в см<sup>-3</sup>



# Развитие МГД турбулентности в межзвездной среде

Для альфвеновского числа Маха прослеживается корреляция  $M \sim n^2$ , показанная белой линией и большая часть облака  $n > 10 \text{ см}^{-3}$  попадают в сверхальфвеновскую область. Причина возникновения такого режима связано с самоорганизацией в замагниченной турбулентной межзвездной среде в трансальфвеновском режиме  $M \sim 1$  при  $n \sim 1$ . При таких плотностях контуры косинуса угла коллинеарности между векторами скорости и магнитного поля образуют седловидную структуру, что говорит о том, что сжатие происходит вдоль силовых линий магнитного поля. Затем за счёт влияния самогравитации происходит дальнейшее увеличение массы и плотности облаков. В свою очередь в полученных плотных облаках турбулентность является только сверхальфвеновской с числом Маха  $M > 100$ .



Зависимость альфвеновской скорости от плотности газа изображен на рисунке слева, косинуса угла коллинеарности между векторами скорости и магнитного поля от плотности газа изображен справа



# Задачи коллапса молекулярных облаков

$$M = 10^7 M_{\square}$$

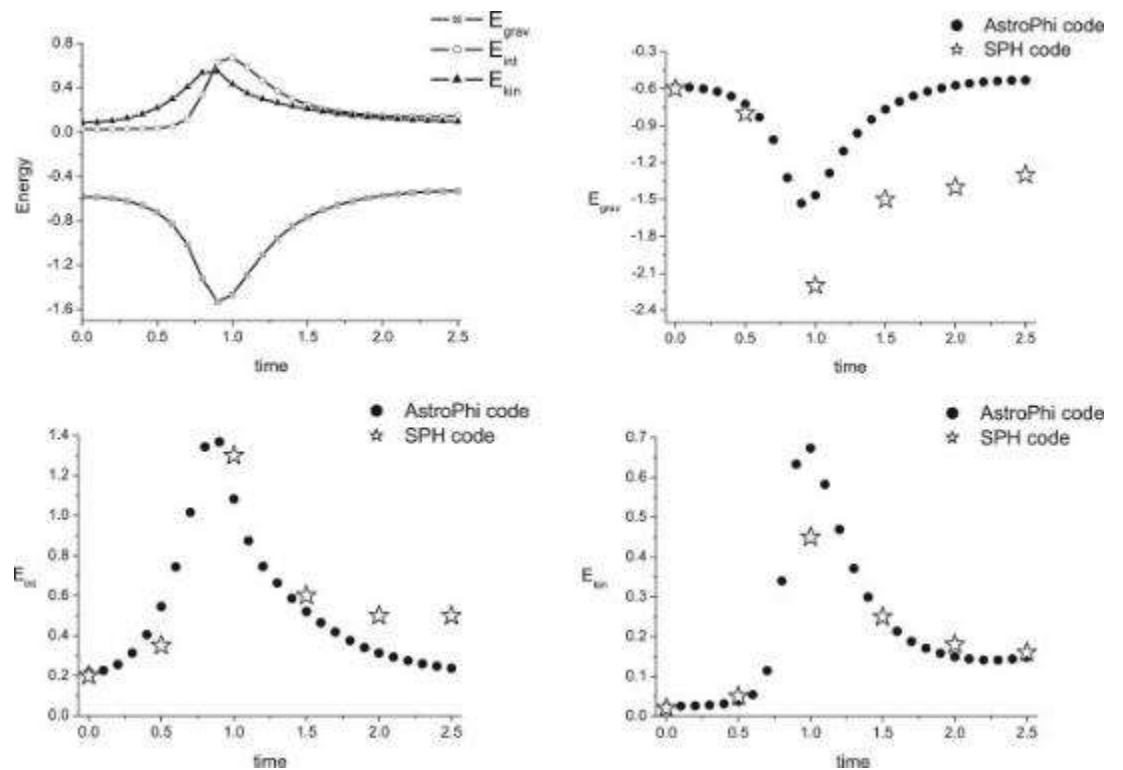
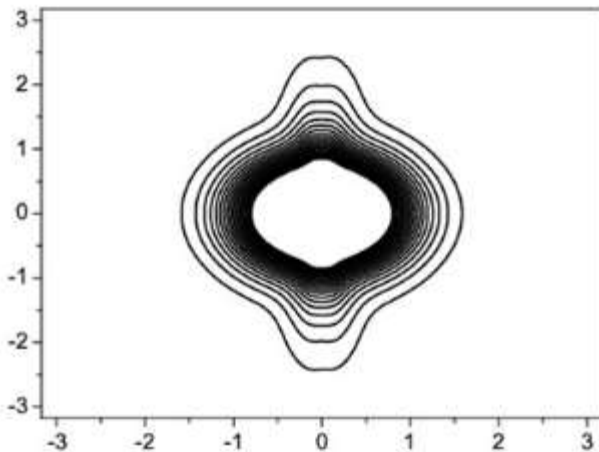
$$R = 100 \text{ pc}$$

$$\rho(r) \sim 1/r$$

$$c = 3.8 \text{ km/sec}$$

$$\Omega_0 = 21 \text{ km/sec}$$

Time = 0.5



Поведение различных типов энергий, сравнение с SPH

$$\leftarrow E_{mag} \square E_{kin} + |E_{grav}| + E_{int}$$

При наличии сильного вертикального магнитного поля происходит образование полярных течений

# Заключение

В диссертации сформулированы и решены постановки новых задач математического моделирования гидродинамических процессов в самосогласованном гравитационном поле на суперЭВМ:

❑ Построена новая модель упруго-пластических деформаций с учетом фазовых переходов. На задаче о косом соударении пластин объяснен механизм волнообразования и процесс фазовых переходов при формировании кумулятивной струи.

❑ Построена новая термодинамически согласованная гидродинамическая модель астрофизических объектов, основанная на совместном решении уравнений (магнитной) газовой динамики и уравнений для первых моментов бесстолкновительного уравнения Больцмана для описания бесстолкновительной компоненты.

❑ Разработан новый эффективный численный метод высокого порядка точности на гладких решениях и с малой диссипацией решения в области разрывов для решения гидродинамических уравнений. Было достигнуто 55-кратное ускорение на GPU и 134-кратное ускорение на Intel Xeon Phi с высокой степенью масштабируемости.

# Заключение

- ❑ С помощью вычислительных экспериментов:
  - ❑ впервые в рамках полной гидродинамической модели исследована задача столкновения галактик, определены диапазоны гидродинамических параметров для развития каждого сценария столкновения;
  - ❑ определены области звездообразования, возникающие при столкновении галактик, и области образования сложных химических соединений;
  - ❑ впервые исследована задача образования различного числа рукавов галактики, определены гидродинамические параметры для образования двух-, четырех- и семирукавных галактик;
  - ❑ впервые на задаче самоорганизации молекулярных облаков показано преимущество разработанного численного метода над лагранжевым методом сглаженных частиц при воспроизведении высоких градиентов решения.

# Научная и практическая ценность

- ❑ Объяснены процессы фазового перехода при волнообразовании и динамике кумулятивной струи, возникающей при косом соударении двух металлических пластин.
- ❑ Исследована задача столкновения галактик в полной термодинамически согласованной гидродинамической модели.
- ❑ Исследована в газодинамической и магнитно-газодинамической постановках задача коллапса молекулярных облаков в ходе эволюции межзвездной среды.

# Положения, выносимые на защиту

1) Разработка, обоснование и тестирование эффективных вычислительных методов с применением современных компьютерных технологий:

□ Разработка, обоснование и тестирование математической модели упруго-пластических деформаций с учетом фазовых переходов.

□ Разработка, обоснование и тестирование численной гидродинамической модели для описания астрофизических объектов.

□ Разработка, обоснование и тестирование эффективного численного метода высокого порядка точности на гладких решениях и малой диссипации численного решения в области разрывов для математического моделирования гидродинамических течений на суперЭВМ.

# Положения, выносимые на защиту

2) Реализация эффективных численных методов и алгоритмов в виде комплексов проблемно-ориентированных программ для проведения вычислительного эксперимента:

□ Реализация эффективных численных методов и алгоритмов в виде комплекса программ для проведения вычислительных экспериментов для исследования динамики кумулятивной струи и процесса волнообразования при «сварке взрывом» двух металлических пластин

□ Реализация эффективных численных методов и алгоритмов в виде комплекса программ для проведения вычислительных экспериментов для исследования эволюции и взаимодействия галактик

□ Реализация эффективных численных методов и алгоритмов в виде комплекса программ для проведения вычислительных экспериментов для исследования эволюции межзвездной среды и коллапса молекулярных облаков

# Положения, выносимые на защиту

3) Комплексные исследования научных и технических проблем с применением современной технологии математического моделирования и вычислительного эксперимента:

□ Объяснен процесс волнообразования и процесс фазового перехода при эволюции кумулятивной струи, возникающей при косом соударении двух металлических пластин.

□ Объяснен процесс развития центрального столкновения галактик. Определены области активного звездообразования и образования молекулярного водорода. Определены гидродинамические параметры для образования 2-4-7-рукавных галактик.

□ Объяснен процесс и образование полярных течений в молекулярных облаках при самоорганизации межзвездной среды. Доказано преимущество разработанного в диссертации численного метода над лагранжевым методом сглаженных частиц при воспроизведении высоких градиентов решения.

# Список основных публикаций

1. Годунов С.К., Киселев С.П., Куликов И.М., Мали В.И. Моделирование ударно-волновых процессов в упругопластических материалах на различных (атомный, мезо и термодинамический) структурных уровнях. – Изд-во: Ижевский институт компьютерных исследований. – 2014. – 296 С.
2. Kulikov I. GPUPEGAS: A New GPU-accelerated Hydrodynamic Code for Numerical Simulations of Interacting Galaxies // The Astrophysical Journal Supplements Series. – 2014. – V. 214, 12.
3. Kulikov I.M., Chernykh I.G., Snytnikov A.V., Glinskiy B.M., Tutukov A.V. AstroPhi: A code for complex simulation of dynamics of astrophysical objects using hybrid supercomputers // Computer Physics Communications. – 2015. – V. 186. – P. 71-80.
4. Kulikov I., Chernykh I., Snytnikov A., Protasov V., Tutukov A., Glinsky B. Numerical Modelling of Astrophysical Flow on Hybrid Architecture Supercomputers // In Parallel Programming: Practical Aspects, Models and Current Limitations (ed. M. Tarkov). – 2014. – P. 71-116.
5. Kulikov I. PEGAS: Hydrodynamical code for numerical simulation of the gas components of interacting galaxies // Book Series of the Argentine Astronomical Society. – 2013. – V. 4. – P. 91-95.
6. Vshivkov V., Lazareva G., Snytnikov A., Kulikov I., Tutukov A. Hydrodynamical code for numerical simulation of the gas components of colliding galaxies // The Astrophysical Journal Supplement Series. – 2011. – V. 194, 47.
7. Vshivkov V., Lazareva G., Snytnikov A., Kulikov I., Tutukov A. Computational methods for ill-posed problems of gravitational gasdynamics // Journal of Inverse and Ill-posed Problems. – 2011. – V. 19. – P. 151-166.
8. Тутуков А.В., Лазарева Г.Г., Куликов И.М. Газодинамика центрального столкновения двух галактик: слияние, разрушение, пролет, образование новой галактики // Астрономический журнал.– 2011. – Т. 88, Вып. 9. – С. 837-851.
9. Godunov S., Kulikov I. Computation of Discontinuous Solutions of Fluid Dynamics Equations with Entropy Nondecrease Guarantee // Computational Mathematics and Mathematical Physics. – 2014. – V. 54, I. 6. – P. 1012-1024.



# Список основных публикаций

10. Годунов С.К., Киселев С.П., Куликов И.М., Мали В.И. Численное и экспериментальное моделирование образования волн при сварке взрывом // Труды Математического Института им. В.А. Стеклова. – 2013. – Т. 281. – С. 16 - 31.
11. Kulikov I., Lazareva G., Snytnikov A., Vshivkov V. Supercomputer Simulation of an Astrophysical Object Collapse by the Fluids-in-Cell Method // Lecture Notes in Computer Science. – 2009. – V. 5698. – P. 414-422.
12. Вшивков В.А., Лазарева Г.Г., Куликов И.М. Модификация метода крупных частиц для задач гравитационной газовой динамики. // Автометрия. – 2007. – Т. 43, Вып. 6. – С. 56-65.
13. Вшивков В.А., Лазарева Г.Г., Киреев С.Е., Куликов И.М. Параллельная реализация модели газовой компоненты самогравитирующего протопланетного диска на суперЭВМ // Вычислительные технологии. – 2007. – Т. 12, Вып. 3. – С. 38-52.
14. Вшивков В.А., Лазарева Г.Г., Куликов И.М. Операторный подход для численного моделирования гравитационных задач газовой динамики // Вычислительные технологии. – 2006. – Т. 11, Вып. 3. – С. 27-35.
15. Kulikov I., Chernykh I., Glinskiy B., Weins D., Shmelev A. Astrophysics simulation on RSC massively parallel architecture // Proceedings - 2015 IEEE/ACM 15th International Symposium on Cluster, Cloud, and Grid Computing, CCGrid 2015. – 2015. – P. 1131-1134.
16. Protasov V., Serenko A., Nenashev V., Kulikov I., Chernykh I. High-Performance Computing in Astrophysical Simulations // Journal of Physics: Conference Series. – 2016. – V. 681, 012022.
17. Kulikov I., Chernykh I., Nenashev V., Katysheva E. Numerical modeling of interacting galaxies on Intel Xeon Phi supercomputers // CEUR Workshop Proceedings. – 2015. – V. 1482. – P. 226-237.
18. Glinskiy B., Kulikov I., Snytnikov A., Chernykh I., Weins D. A multilevel approach to algorithm and software design for exaflops supercomputers // CEUR Workshop Proceedings. – 2015. – V. 1482. – P. 4-16.

# Список основных публикаций

19. Куликов И.М., Черных И.Г., Глинский Б.М. AstroPhi: программный комплекс для моделирования динамики астрофизических объектов на гибридных суперЭВМ, оснащенных ускорителями Intel Xeon Phi // Вестник Южно-Уральского Государственного Университета. Серия: Вычислительная математика и информатика. – 2013. – Т. 2, Вып. 4. – С. 57-79.
20. Протасов В.А., Куликов И.М. PADME – новый код для моделирования процесса формирования георесурсов планет на гетерогенных вычислительных системах // Известия Томского политехнического университета. Инжиниринг георесурсов. – 2015. – Т. 326, Вып. 8. – С. 61-70.
21. Вшивков В.А., Лазарева Г.Г., Киреев С.Е., Куликов И.М. Численное решение трехмерных задач динамики самогравитирующих многофазных систем // Научный вестник НГТУ. – 2011. – Вып. 3 (44). – С. 69-80.
22. Лазарева Г.Г., Куликов И.М., Вшивков В.А., Кошкарлова Е.А., Берендеев Е.А., Горр М.Б., Антонова М.С. Параллельная реализация численной модели столкновения галактик // Вестник Новосибирского государственного университета. Серия: Информационные технологии. – 2011. – Т. 9., Вып. 4. – С. 71-78.
23. Kulikov I., Vorobyov E. Using the PPML approach for constructing a low-dissipation, operator-splitting scheme for numerical simulations of hydrodynamic flows // Journal of Computational Physics. – 2016. – V. 317. – P. 318-346.

## Результаты интеллектуальной деятельности

1. Программа для моделирования динамики трехмерных астрофизических газовых объектов, свидетельство 2013611678 от 19 апреля 2013 г.
2. Программа для решения нестационарных задач акустики в трехмерной постановке на гибридных суперЭВМ, свидетельство 2012618663 от 21 сентября 2012 г.
3. Программный пакет для решения задач гравитационной газовой динамики PEGAS, свидетельство 2012617347 от 15 июня 2012 г.

**Спасибо**  
**за**  
**ВНИМАНИЕ**